



جمهورية العراق
وزارة التعليم العالي والبحث العلمي
جامعة كربلاء
كلية التربية للعلوم الصرفة
قسم علوم الحياة

دراسة تأثير التعرض لأشعة الهاتف المحمول على بعض المعايير الوراثية الخلوية والفسيولوجية في ذكور الجرذ الأبيض

رسالة تقدمت بها
الطالبة
وسن تكليف جاسم الغانمي

بكالوريوس علوم الحياة / جامعة كربلاء 2012

إلى
مجلس كلية التربية للعلوم الصرفة - جامعة كربلاء وهي
جزء من متطلبات نيل شهادة الماجستير في علوم الحياة / علم
الحيوان

بإشراف
أ.م. د. ياسمين خضرير خلف

م 2019

هـ 1440

بِسْمِ اللَّهِ الرَّحْمَنِ الرَّحِيمِ

وَإِذَا أَخَذَ رَبُّكَ مِنْ بَنِي آدَمَ مِنْ ظُهُورِهِمْ ذُرِّيَّتُهُمْ
وَأَشْهَدَهُمْ عَلَىٰ أَنفُسِهِمْ أَنَّسْتُ بِرَبِّكُمْ قَالُوا بَلَىٰ
شَهِدْنَا أَنَّ تَقُولُوا يَوْمَ الْقِيَامَةِ إِنَّا كُنَّا عَنْ هَذَا
غَافِلِينَ (172)

صدق الله العلي العظيم

الاعراف الآية 172

اهداء

الى من شجعني ورفدني ومنحني الكثير الى من تسهر عيناه لاجلنا

ابي الحبيب

الى من عاشت معي لحظات البحث كلها وشاركتني انفاسي واهاتي

امي الحبيبة

اخوتي

..... الى اللذين اشد بهم ازري

زوجي

الى رفيق عمري واملی الباسم

دعا

..... الى اختي وصديقتی الوفية

كذلك اولئك الذين دعوا لي بصدق ومحبة وايثار اهديهم عملي

وسن

الشّكّر والتقدّير

الحمد لله ذي المن والفضل والإحسان ، حمداً يليق بجلاله وعظمته .
وصَلَّ اللهم على خاتم الرسل و معلم البشرية وهادي الإنسانية ، وعلى آله
الطيبين الطاهرين ومن تبعهم بإحسان الى يوم الدين صلاةً تقضى لنا بها
الحاجات ، وترفعنا بها أعلى الدرجات ، و تبلغنا بها أقصى الغايات من
جميع الخيرات

أتقدم بالفضل والعرفان مع فائق الاحترام والتقدير الى مشرفي^{*}
الاستاذ المساعد الدكتور ياسمين خضر خلف الغانمي لما كان لها
الفضل في اختيار موضوع البحث و اشرافها على متابعته وإنجازه
وإخراجه و تسهيل الصعاب و رسم الخطوات لاتمام متطلبات البحث سائلة
المولى القدير أن يجزيها عنى خير الجزاء ويثبّتها الأجر إن شاء الله

وبكل إخلاص وتقدير وعرفان بالجميل أتقدم بالشكر الى عمادة كلية
التربية للعلوم الصرفة ورئيسة قسم علوم الحياة لاتاحتهم لي فرصة اكمال
الدراسة وتسهيل متطلبات البحث .

كما أتقدم بالشكر والتقدير للأستاذ الدكتور حازم إسماعيل عبد الباري
جامعة النهرین /مركز بحوث التقنيات الاحيائية والأستاذ الدكتور ماجد
خليف كمر جامعة كربلاء /كلية التربية للعلوم الصرفة

والدكتور علاء حسين الصافي جامعة كربلاء/كلية التربية للعلوم الصرفة .

كما أتقدم بالشكر والتقدير الى زملائي طلبة الدراسات العليا الدكتوراه
والماجستير.

وسن

الخلاصة :

أجريت الدراسة الحالية لمعرفة تأثير التعرض الطويل لأشعة الهاتف المحمول على مضادات الاكسدة ومستوى تكسر الحامض النووي ومعدل ظهور التشوهدات الكروموسومية لذكور الجرذ الابيض *Albino rats* أجريت هذه الدراسة في مختبرات جامعه كربلاء كلية الصيدلة للفترة من شهر تشرين الثاني 2017 الى شهر نيسان 2018. شملت الدراسة ستون جرذا من الذكور تتراوح اوزانهم ما بين (190-240) غم أما اعمارها فكانت بين (10-12) أسبوع ، قسمت عشوائيا الى اربع مجاميع احتوت كل مجموعة على (15) جرذ عرضت ثلاثة مجاميع منها لأشعة الهاتف المحمول بتردد (900MH) ولمدة (شهرين وثلاث وستة اشهر) على التوالي وهي المجموعة الأولى (T1) عرضت لأشعة الهاتف المحمول لمدة ساعتين ولثلاث فترات (2-3-6) اشهر المجموعة الثانية (T2) عرضت لأشعة الهاتف المحمول لمدة اربعة ساعات ولثلاث فترات (2-3-6) اشهر والمجموعة الثالثة (T3) عرضت لأشعة الهاتف المحمول لمدة ثمانية ساعات ولثلاث فترات زمنية (2-3-6) اشهراما المجموعة الرابعة هي مجموعة السيطرة لثلاث فترات (2-3-6) اشهر لم تعرّض لأشعة الهاتف المحمول، جمعت عينات الدم من المجاميع الأربع بعد انتهاء المدة المحددة للتجربة ودرست كلا من المعايير الفسلجية مثل: قياس مستوى تركيز المالوندالديهيد (MDA)Malondialdehyde (MDA) ومستوى اوكسيد النتريك Glutathione Nitric oxide (NO) وتركيز الكلوتاينون المختزل (GSH)reductase (CAT) وأضافه الى قياس تركيز الكاتاليز Catalase (CAT) والسوبر اوكسايد ديسميوتيز (SOD) في مصل الدم والمعايير الوراثية كقياس مستوى تكسر الحامض (DNA) النووي ومعدل تشوہ الكروموسومات لخلايا نقي العظم وكانت نتائج الدراسة الحالية كالاتي :

1-وجود ارتفاع معنوي ($P \leq 0.05$) في تركيز المالوندالديهيد (MDA) ومستوى اوكسيد النتريك (NO). وانخفاض معنوي ($P \leq 0.05$) في تركيز كل من الكلوتاينون GSH والكاتاليز CAT والسوبر اوكسايد SOD في مصل الدم للمجاميع الثلاث T1,T2,T3 المعرضة لأشعة الهاتف المحمول للمعدلات الثلاثة (2-3-6) اشهر. ساعة على التوالي بالمقارنة مع مجموعة السيطرة لكل مجموعة .

2-كما تم تقييم الضرر الحاصل في DNA باستخدام تقنية Score Comet Assay حيث كانت معايير DNA المعتمدة لمعرفة نسبة الضرر هي Tail % و Tail length و Tail moment وقد بينت النتائج وجود زيادة معنوية ($P \leq 0.05$) في نسبة الضرر للمعايير المذكورة للمجموعة الأخيرة T3 مقارنة مع مجموعة السيطرة .

Summary

- 3- تقدير معامل الانقسام Mitotic index للمجاميع الثلاث المعرضة لأشعة الهاتف المحمول إذ أظهرت النتائج ارتفاعاً معنوياً ($P \leq 0.05$) للمجموعات T2, T3 مقارنة مع مجموعة السيطرة اما المجموعة T1 فلم تشير النتائج الى وجود فروق معنوية ($P > 0.05$) مقارنة مع مجموعة السيطرة.
- 4- بينت نتائج الدراسة حصول تشوهات كروموسومية في خلايا نقي العظم تمثلت في كرومومسومات حلقة وكرومومسومات مخدوفة ومتكسرة وكرومومسومات ثنائية المركز ولا مركزية للمجاميع الثلاث المعرضة لأشعة الهاتف حيث اظهرت حدوث ارتفاعاً معنوياً ($P \leq 0.05$) للكرومومسومات المذكورة اعلاه . يستنتج من الدراسة الحالية ان التعرض الطويل لأشعة الهاتف المحمول يسبب تغيرات فسلجية وتغيرات وراثية خلوية في ذكور الجرذ الابيض .

المحتويات

رقم صفحة	موضوع	ت
I	الخلاصة	
II	قائمة المحتويات	
III	قائمة الجداول	
IV	قائمة الاشكال والصور	
V	قائمة المختصرات	
	الفصل الاول	
1	المقدمة	1
	الفصل الثاني	
3	استعراض المراجع	2
3	Electromagnetic Radiation	1-2
4	Electromagnetic Radiation effect	2-2
4	Type of Electromagnetic Radiation	3-2
4	الشعاعات المؤينة (IR)	1-3-2
5	Non-ionizing Radiation	2-3-2
5	Source of Electromagnetic Radiation	4-2
5-6	Mobile Phone	1-4-2
7	Oxidative Stress	5-2
7	Free Radicals	6-2
8	Lipid Peroxidation	7-2
9	مضادات الاصندة	8-2
9-10	Antioxidant and Oxidant	9-2
10-11	تأثير اشعة الهاتف المحمول على الحامض النووي DNA	10-2
12- 13	تأثير اشعة الهاتف المحمول على الكروموسومات	11-2
	الفصل الثالث	
15	المواد وطرائق العمل	3
15	المواد والادوات والاجهزة المستخدمة	1-3
15	الاجهزة المستخدمة	1-1-3
15	المواد الكيميائية	2-1-3
16	Experimental Animals	2-3
16	Experimental Design	3-3

18	Irradiation Animals	4-3
18	جمع عينات الدم Collection Of Blood Samples	5-3
18	الفحوصات الكيموحيوية	6-3
18-19	تقدير مستوى المالوندالديهيد (MDA) في مصل الدم	1-6-3
19-20	تقدير مستوى إنزيم الكاتاليز في مصل الدم Determination of Catalase Level	2-6-3
20-21	تقدير مستوى الكلوتاثيون في مصل الدم Determination Of Glutathione Level in Serum	3-6-3
22-23	تقدير فعالية إنزيم السوبراوكسайд ديسميوتيز في مصل الدم determination Of Superoxide Dismutase(SOD)Activity	4-6-3
23-24	تقدير مستوى اوكسيد النتریک في مصل الدم Determination Of Nitric Oxide	5-6-3
25	الدراسة الوراثية والجزئية	7-3
25-26	اخبار المذنب Comet Assay	1-7-3
26-27	اخبار تحلل المذنب Comet Assay	2-7-3
27-29	اخبار التشوہات الكروموسومية Cromosomal Abberation studies	3-7-3
29	التحليل الاحصائي Statistical Analysis	8-3
الفصل الرابع		
30	النتائج	4
30	تأثير اشعة الهاتف محمول على مستوى المالوندالديهيد (MDA) في مصل الدم	1-4
31	تأثير اشعة الهاتف محمول على مستوى اوكسيد النتریک (NO) في مصل الدم	2-4
32	تأثير اشعة الهاتف محمول على مستوى الكلوتاثيون (GSH) في مصل الدم	3-4
33	تأثير اشعة الهاتف محمول على مستوى إنزيم الكاتاليز (CAI) في مصل الدم	4-4
34	تأثير اشعة الهاتف محمول على مستوى السوبراوكسید ديسميوتيز (SOD) في مصل الدم	5-4
35	تأثير اشعة الهاتف محمول على تحطم DNA	6-4
36	تأثير اشعة الهاتف محمول على طول ذيل المذنب في DNA	7-4
37	تأثير اشعة الهاتف محمول على (DNA) Tail mean moment	8-4
42	تأثير اشعة الهاتف محمول على معامل الانقسام لخلايا نقي العظم	9-4
43	تأثير اشعة الهاتف محمول على تشوہات الكروموسومية	10-4
الفصل الخامس		
50	المناقشة	5
50	تأثير اشعة الهاتف محمول على مستوى المالوندالديهيد (MDA) في ذكور الجرذ الأبيض	1-5
50-51	تأثير اشعة الهاتف محمول على مستوى اوكسيد النتریک (NO) في ذكور الجرذ الأبيض	2-5
51-52	تأثير اشعة الهاتف محمول على مستوى الكلوتاثيون (GSH) في ذكور الجرذ الأبيض	3-5
52-53	تأثير اشعة الهاتف محمول على مستوى إنزيم سوبراوكسайд ديسميوتيز (SOD) في ذكور الجرذ الأبيض	4-5
53	تأثير اشعة الهاتف محمول على مستوى الكاتاليز (CAT) في ذكور الجرذ الأبيض	5-5

53-55	تأثير اشعة الهاتف المحمول على تحطم الحمض النووي DNA في ذكور الجرذ الأبيض	6-5
55-56	تأثير اشعة الهاتف المحمول على حدوث التشوّهات الكروموسومية في خلايا نقي العظم في ذكور الجرذ الأبيض	7-5
الاستنتاجات والتوصيات		6
57	الاستنتاجات	
58	التوصيات	
المصادر		7
59	المصادر العربية	
77-60	المصادر الأجنبية	
A-B	الخلاصة باللغة الانكليزية	
	العنوان الإنكليزي	

قائمة الجداول

رقم الصفحة	الموضوع	ت
15	الاجهزه المستخدمة مع اسم الشركة والمنشأ	1-3
15	المواد الكيميائية مع الشركات المصنعة لها	2-3
17	مخطط التجربة	3-3
30	تأثير اشعة الهاتف المحمول على مستوى المالونديايد في مصل الدم	1-4
31	تأثير اشعة الهاتف المحمول على مستوى اوكسيد الترتريك في مصل الدم	2-4
32	تأثير اشعة الهاتف المحمول على مستوى الكلوتاثيون في مصل الدم	3-4
33	تأثير اشعة الهاتف المحمول على مستوى انزيم الكاتليز في مصل الدم	4-4
34	تأثير اشعة الهاتف المحمول على مستوى سوبر اووكسيد دسميوتيز في مصل الدم	5-4
35	تأثير اشعة الهاتف المحمول على تحطم DNA في الجرذان	6-4
36	تأثير اشعة الهاتف المحمول على طول المذنب لل DNA في ذكور الجرذ الأبيض	7-4
37	تأثير اشعة الهاتف المحمول على Tail mean moment لذكور الجرذ الأبيض	8-4
38	DNA طبيعي غير متحطط	9-4
39	تحطم قليل في DNA	10-4
40	تحطم متوسط في DNA	11-4
41	تحطم عالي في DNA	12-4
42	تأثير اشعة الهاتف المحمول على معامل الانقسام لخلايا نقى العظم لذكور الجرذ الأبيض	13-4
44	نسبة ظهور الكروموسوم الحلقي في الطور الاستوائي لخلايا نقى العظم لذكور الجرذ الأبيض	14-4
45	نسبة ظهور الحذف الكروموسومي في الطور الاستوائي لنقى العظم لذكور الجرذ الأبيض	15-4
46	نسبة ظهور الكروموسومات المتكسرة في الطور الاستوائي لخلايا نقى العظم لذكور الجرذ الأبيض	16-4
47	نسبة ظهور الكروموسومات الثانية المركز في الطور الاستوائي لخلايا نقى العظم لذكور الجرذ الأبيض	17-4
48	نسبة ظهور الكروموسومات اللامركزية في الطور الاستوائي لخلايا نقى العظم لذكور الجرذ الأبيض	18-4
49	نسبة ظهور التشوهات الكروموسومات الكلية لخلايا نقى العظم في ذكور الجرذ الأبيض	19-4

قائمة الاشكال والصور

رقم الصفحة	الموضوع	ت
38	صورة تبين DNA طبيعي غير متحطم	1-4
39	صورة تبين تحطم قليل في DNA	2-4
40	صورة تبين تحطم متوسط في DNA	3-4
41	صورة تبين تحطم عالي في DNA	4-4
44	كروموسوم حلقي في الطور الاستوائي لخلايا نقي العظم للجرذان (قوة التكبير X100 ، صبغة كمرا)	5-4
45	حذف كروموسومات متكسرة في الطور الاستوائي لخلايا نقي العظم للجرذان (قوة التكبير X100 ، صبغة كمرا)	6-4
46	كروموسومات مخدوفة في الطور الاستوائي لنقي العظم في الجرذان (قوة التكبير X100 ، صبغة كمرا)	7-4
47	كروموسومات لامركزية في الطور الاستوائي لخلايا نقي العظم للجرذان (قوة التكبير X100 ، صبغة كمرا)	8-4
48	كروموسومات ثنائية المركزي في الطور الاستوائي لخلايا نقي العظم للجرذان (قوة التكبير X100 ، صبغة كمرا)	9-4

قائمة المختصرات

المصطلحات	المختصر
Deoxy Ribonucleic Acid	DNA
Glutathione reductase	GSH
Hydrogen peroxide	H2O2
Malondialdehyde	MDA
Nitric oxide	NO
Reactive Oxygen Species	ROS
Super Oxide Dismutase	SOD
Ethylenediaminetetraacetic acid	EDTA
Electromagnetic radation	EMR
chromosom aberrations	CA
Thiobarbituric acid	TBA
Trichloro acetic acid	TCA
Radio Frequencies	RF
Catalase	CAT
Mitotic Index	MI
nicotinamide adenine dinucleotide phosphate-oxidase	NADPH
Radiation Absorbed Dose	RAD
Alanine Transaminase	ALT
Ultra High Frequency	UHF
Radiation Absorbed Dose	RAD
Ionizing Radiation	IR
Mobil Phone	MP

المقدمة Introduction

أدى التطور السريع للتكنولوجيا في الطب والصناعة باستخدام المجالات المغناطيسية الثابتة إلى زيادة تعرض الإنسان لهذه الحقول وتناولت عدد من الأبحاث العلمية دراسة آثارها الصحية المحتملة (ICRP, 1991). يؤدي التطور التكنولوجي إلى زيادة عدد الأجهزة التي تبعث منها موجات كهرومغناطيسية الثلاجات ، المجمدات ، التلفزيون ، الراديو ، الميكروويف ، آلات التصوير ، شاشات الكمبيوتر ، مصابيح الالوهجين ، الطابعات (Baharara et al., 2004). ورادار التصوير بالرنين المغناطيسي ، محطات الفاുدة اللاسلكية والهواتف المحمولة ذات الإشعاع الكهرومغناطيسي عالي التردد (UHF EMR) ، إذ توجد في المطارات والمنازل والمدارس والمستشفيات (Furtado - Filho et al., 2013). تم اكتشاف الظاهرة الكهرومغناطيسية (EM) من قبل هنريك هيرتز في أواخر 1880. الذي أوضح كيفية انتقال الطاقة عبر وسط معين. كالهواء والماء والألياف البصرية ويكون الإشعاع الكهرومغناطيسي بشكل موجات من الطاقة الكهربائية والمغناطيسية يمتلك هذا الإشعاع نطاقاً واسعاً من الترددات بما في ذلك ترددات منخفضة للغاية ، وترددات لاسلكية (موجات راديوية) ، وموجلات رادار ، وأفران ميكروويف ، وأشعة تحت الحمراء ، وأشعة فوق البنفسجية ، وأشعة سينية ، وأشعة كاما (Baharara et al., 2004). وتزداد المخاوف بشأن الآثار المحتملة للأخطار الناجمة عن الترددات الراديوية الموجات الكهرومغناطيسية المنبعثة من هذه الأجهزة على صحة الإنسان (Agarwal et al., 2008). ان آثار الإشعاع الكهرومغناطيسية على الكائنات الحية يعتمد على تردد الموجة وشدة إذ تسبب هذه الإشارة زيادة في درجة حرارة الجسم (Wdowiak et al., 2007). وارتفاع ضغط الدم ، وتغيرات في عدد خلايا الدم البيضاء والحمراء، وضعف الجهاز المناعي، الإجهاد المزمن، وزيادة الأيض، والتعب المزمن والصداع (Havas, 2008). أن استخدام الهواتف الخلوية يؤدي إلى صعوبة في التركيز والتعب والصداع وتغيرات في التخطيط الكهربائي للدماغ واضطراب النوم (Oftedal et al., 2000). وأشارت دراسة إلى الاضرار الصحية على الحمض النووي والانحرافات الكروموسومات التي تؤدي إلى إعادة ترتيب تسلسل الشفرة الوراثية التي يحملها الكروموسوم فضلاً إلى الطفرات التي تؤدي إلى حدوث أمراض معينة مثل السرطان والاضطرابات في وظائف الدماغ و الجهاز المناعي (Zhou et al., 2006). وأشارت دراسة إلى ان الإشارة الكهرومغناطيسية يحفز موت الخلايا المبرمج للخلايا الكبيه (Stronati et al., 2004).

Aim of the study

تهدف الدراسة الحالية الى معرفة تأثير التعرض للاشعة المنبعثة من الهاتف المحمول بتردد ثابت (900MH) على ذكور الجرذ الابيض لمدة (2-4-8) ساعات يومياً وفترات زمنية مختلفة (2-3-6) أشهر على الفعاليات الوراثية و الفسلجية لجسم الكائن الحي .

2- استعراض المراجع

1-2 الاشعة الكهرومغناطيسية Electromagnetic radation

تم اكتشاف ظاهرة الكهرومغناطيسية من قبل هاينريش هيرتز (Heinrich Hertz) في أواخر 1880 (Megha et al. , 2012)، الذي بين كيفية انتقال الطاقة من خلال الوسائط . ان إشارات الراديو تنتقل بسرعة الضوء من خلال الهواء بمعدل - 186، 282 ميل في الثانية الواحدة (Belyaev , 2005). وبعد النظام العالمي للاتصالات المتنقلة (850-900 ميجاهرتز و 1850-1990 ميجاهرتز) حالياً أكثر أنظمة الاتصالات واسعة الانتشار في جميع أنحاء العالم (Valberg et al. , 2007) . إذ يعمل الهاتف المحمول بتردد 2200 ميجاهرتز ، وأجهزة الكمبيوتر محمولة بتردد 1000 ميجاهرتز - 3600 ميجاهرتز والشبكات اللاسلكية المستخدمة اليوم مع إشعاع الميكروويف عالي التردد بتردد 2.45 جيجاهرتز (Nishiyama and Kato , 2014). تؤدي الاشعة الكهرومغناطيسية دوراً مهماً في الحياة اليومية إذ يتعرض ما يقارب 3 مليار شخص يومياً في جميع أنحاء العالم إلى تأثير الاشعة الكهرومغناطيسية (Fragopoulou et al. , 2010) . وتؤدي الاشعة إلى حدوث تغييرات جذرية وتأثيرات ضارة في الأنظمة البيولوجية ، ويمكن تصنيف آثار الاشعة الكهرومغناطيسية على أنها حرارية وغير حرارية وترتبط التأثيرات الحرارية بالحرارة الناتجة عن الاشعة في منطقة معينة تحدث هذه الآلية عن طريق تغيير درجة الحرارة المستمد من مجال الترددات الراديوية Radio frequencies (RF) ومن المحتمل أن كل تفاعل بين حقول التردد الراديوي والأنسجة الحية يسبب انتقال الطاقة مما يؤدي إلى ارتفاع في درجة الحرارة (Megha et al. , 2012) . أن التعرض لإشعاع الترددات الراديوية يتغير وفقاً لعدة معلمات منها نوع الإشعاع (المؤمن أو غير المؤمن) ، كمية الجرعة الممتصة معدل امتصاص الجرعة ، استقطاب الموجة ، المسافة من المصدر ، وان حساسية النسيج إذ أن النسيج الذي يحتوي على خلايا سريعة الانقسام يكون أكثر عرضة للاشعاع (الهيتي, 2007) . إن كمية جرعة الاشعاع التي يمتلكها الجسم البشري هي عامل مهم ويتم قياسها بوحدات تسمى الراديوactive radiation (RAD) Radiation Absorbed Dose الممتصة من قيل غرام واحد من الأنسجة الحية تمثل رادا واحداً (خليل ، 1990).

2-2: تأثير الأشعة الكهرومغناطيسية Electromagnetic radation effect

هناك العديد من الدراسات ، التي اشارت إلى تأثير الإشعاع الكهرومغناطيسي وأثاره الضارة على الأعضاء المختلفة ووظائف الأنسجة (Duan et al., 2015; Baldi et al., 2011). أن الأشعة الكهرومغناطيسية هي شكل من أشكال التلوث البيئي الأكثر نمواً وانتشاراً وهناك علاقة بين الإشعاعات الكهرومغناطيسية والتآثيرات البيولوجية على الجسم البشري ، إذ أشار Neha and Girish (2009) أن نسبة الإصابة بسرطان الدماغ للأطفال والمرأهقين تكون ما يقارب خمس مرات عند استخدامهم الهواتف المحمولة ، فضلاً إلى وجود علاقة بين التعرض المهني للأشعة الكهرومغناطيسية ومرض الزهايمير. أن التعرض المزمن للأشعة الكهرومغناطيسية يزيد من مستوى إفراز هرمونات التوتر الإجهاد (الكورتيزول والأدرينالين والنورادرينالين) (Vangelova et al., 2007) . تؤثر الموجات ذات الترددات المنخفضة المنبعثة من الهواتف المحمولة على هرمونات الغدة الدرقية للفرنان (Koyu et al., 2005) . وبؤدي التعرض للأشعة الكهرومغناطيسية إلى تحفيز بيروكسيد الدهون في منطقة ما تحت المهاد في الجرذان (Musaev et al., 2005) . أو قد تحرر الخلايا البدنية المنتجة للهستامين وأيضاً التغيير في توازن الكالسيوم داخل الخلايا من خلال العمل على غلق قنوات الكالسيوم ويمكن أن تؤدي الزيادات في مستويات الكالسيوم داخل الخلايا إلى تكاثر الخلايا والتمايز (Desai et al., 2009) . أن تعريض إناث الجرذان للأشعة الكهرومغناطيسية أثناء الحمل يسبب زيادة الاجهاض (Lee et al., 2002) . وأشارت دراسة كل من Hong وجماعته (Cao وجماعته 2003) على الفئران إذ بينوا أن التعرض المنخفض لترددات الأشعة الكهرومغناطيسية كان له بعض الآثار السلبية على التكاثر وقد ان الجنين وتشوهه أو التأخر في نموه . إذ ان التعرض إلى 50 هرتز من الأشعة الكهرومغناطيسية يمكن أن يغير هرمون البروجسترون في مصل الدم لإناث القوارض (Cakir et al., 2003) .

2-3: انواع الأشعة الكهرومغناطيسية Type of Electromagnetic radation

هناك نوعان اساسيان من الإشعاع في الطيف الكهرومغناطيسي هي الأشعاعات المؤينة والغير مؤينة (EPA, 2012) .

1-3-2: الإشعاعات المؤينة (IR)

وهي الأشعاعات التي تأتي من المواد المشعة الطبيعية أو من صنع الإنسان وتكون ذات طاقة كبيرة بحيث تستطيع أن تفكك الروابط بين المادة، أو تحولها إلى جسيمات مشحونة مثل (الأشعة السينية، وأشعة كاما) إذ تشكل خطراً على الصحة من خلال إتلاف الأنسجة والحامض النووي في الجينات بحيث

يمكن أن تؤثر على ذرات الكائنات الحية (EPA, 2012) من خلال تكوينها للجذور الحرة (Kitchen, 2001; FDA, 2009).

2-3-2: الإشعاعات غير المؤينة Non- Ionizing Radiation

وهو الاشعاع الذي ليس لديه المقدرة على تأمين الذرات ، ويضم الموجات الراديوية والأشعة تحت الحمراء والضوء المرئي (WHO,2000). وان الاشعاع غير المؤين لديه طاقة كافية لتحريك الذرات ، وهذه الطاقة لا تكفي لتغيير الذرات كيميائياً لذلك لا يعد هذا الاشعاع ضاراً للانسان . (CDRH ,1999)

2-4: مصادر الإشعاع الكهرومغناطيسي Sours of Electromagnetic radation

هناك العديد من الاجهزة التي تعتبر مصادر رئيسية للإشعاع الكهرومغناطيسي (Ankur , 2012) والتي تشمل الأجهزة الكهربائية ، الأجهزة الإلكترونية ، أجهزة الكمبيوتر و أفران الميكروويف بالإضافة الى أجهزة الاتصالات اللاسلكية (الهاتف المحمول) (Ahlbom *et al.*, 2008).

1-4-2: الهاتف المحمول Mobile phone

تم اكتشاف الهاتف العادي (التيلفون) في مارس 1876 من قبل الكسندر جراهام بيل (Brown, 1994). وتطورت تكنولوجيات الاتصالات المتنقلة بشكل واضح منذ أوائل الثمانينات حتى أصبح الهاتف الخلوي جهازاً لا غنى عنه في حياتنا اليومية (Agarwal *et al.*, 2008). ازداد استخدام الهاتف النقالة للسنوات العشرين الماضية بشكل كبير ، وأشارت الدراسات الى وجود اكثراً من مليار مستخدم في جميع أنحاء العالم (French *et al.*, 2001; Meral *et al.*, 2007). إذ يوجد في الولايات المتحدة جهازاً واحداً تقريباً للاستخدام لكل شخص ، وأكثر من جهاز للشخص الواحد في الدول الأوروبية مثل ألمانيا والدنمارك وإيطاليا لذلك فإن عدد الأجهزة في الخدمة يرتفع بمعدل يقدر بـ 3 % سنوياً مما أدى إلى تعرض البشر للإشعاع الكهرومغناطيسي المنبعث من هذه الأجهزة بمقدار كبير ، إذ بلغ متوسط وقت التحدث 30 دقيقة يومياً بالهاتف النقالة (CTIA,2011) > لا يزال تأثير هذا الإشعاع على صحة الإنسان غير كافياً بالرغم من وجود الدراسات الحالية التي اشارت الى تأثيرات طفيفة غير ضارة لـ RF و EMR (Dasdag *et al.*, 2014; Kahya *et al.*, 2015).

سلبية محتملة بما في ذلك الصداع، وصعوبة في التركيز، والتعب (Oftedal *et al.*, 2000) وأشارت دراسات الى ان الاستخدام الشائع لرجال الاعمال والمرأهقين الذين يقضون مايقرب نصف يومهم على مقربة من الهاتف المحمولة له تأثير على الخصوبة بما في ذلك جودة السائل المنوي

(Redmayne *et al.* 2012; Roberts *et al.* 2014)، نتيجة لوضع الهاتف المحمولة على مقربة من الخصيتين (Yan *et al.*, 2007 ; Zalata *et al.*, 2015) . أن الهاتف المحمول (MP) قد تسبب في تغيرات في مؤشر معدل ضربات القلب والتي تتغير اعتمادا على موقعه إذ اظهر زيادة في معدل الضربات عند إبقاء الهاتف المحمول بالقرب من الصدر والرأس (Ahamed *et al.*, 2008). وأن استخدام ما يقارب 50 دقيقة يوميا من الهاتف المحمول ينتج تغيراً كبيراً في الجلوكوز في الدماغ وزيادة في كل من ضغط الدم، والكوليسترول الكلي ، والكوليسترول الدهني منخفض الكثافة (Vangelova *et al.* 2006). وتشير دراسة إلى أن النظام الحسي والسلوك البشري يتأثران عن كثب بالموجات الكهرومغناطيسية ذات الترددات اللاسلكية الواردة من محطات إبراج الهاتف المحمول (Mortazavi *et al.*, 2008) . إذ أن الاستخدام المتزايد للأجهزة اللاسلكية يجبر الناس على العيش تحت الموجات الكهرومغناطيسية RF مما يؤثر على صحتهم خاصة عند الأطفال. كما اشارت دراسة إلى ان تأثير استخدام الهاتف النقالة أثناء النوم والتي يمكن أن تضر بحساسية النوم (Abdel-Rassoul *et al.*, 2007) . ان نسبة حدوث سرطان الدم أعلى بين البالغين والأطفال الذين يعيشون على بعد 2 كم من محطات الإرسال التلفزيوني (Michelozzi *et al.*, 2002) . وللموجات الكهرومغناطيسية القدرة على تشويه تكوينات الدماغ ،إذ اشارت دراسة الى ان الورم الورم السحائي كان أعلى للأشخاص الذين يعيشون في المنطقة القريبة من محطات إبراج الهاتف المحمول (Hocking *et al.*, 1996). وتؤثر الأشعة الكهرومغناطيسية على السمع مسببة خلل أو ضعف في حاسة السمع بسبب الضوضاء العالية للموجات الصوتية (Rana *et al.*, 2010) . ان التعرض لكـ RF (الموجات الراديوية) يمكن أن يؤثر سلباً على سرعة ضربات القلب والأوعية الدموية ويظهر تأثير هذه الإشعاعات من خلال توقف منظم ضربات القلب pacemaker مؤديا إلى الموت (Neha. *et al.*, 2009) . ويسبب التعرض لأشعة الميكروويف تلفاً في عدسة العين والشبكيـة حيث يتم زيادة بروتينات الانسجة الظهارية للعدسة ، ويحمي إنزيم الجلوتاثيون ببروكسيـداز بروتينات العدسة والدهون الغشائية ، لكن التعرض المستمر للإشعاعات اللاسلكية يسبب تشوـه هذا الإنزيم (Mary *et al.*, 2014) .ويسبب الحقل الكهرومغناطيـسي المنبعث من الهاتف المحمول تغيرات يـنتج عنها الإجهاد التأكسـدي في الكبد والأنسـجة الكلوية للـجرذان البيضاء وارتفاع في معدل مستوى إنـزيمي Aspartate aminotransferase (AST) ، Alanine amino Transminase (ALT) ، الكـريـاتـينـين والـكورـتيـكـوـسـتـيـرون (Ragy, 2015). كما اـظـهـرـت درـاسـة أـخـرى ان تـعـرـضـ الفـرـانـ النـاضـجـةـ لـلـمـجاـلـ الـكـهـرـوـمـغـنـاطـيـسـيـ بـتـرـدـدـ 2.45 غـيـاهـرـتـزـ 3 ساعـاتـ يـوـمـياـ وـلـمـدةـ 3 أـسـابـيعـ يـؤـديـ إـلـىـ حدـوثـ

تغيرات نسجية في الكبد متمثلة بتوسيع في الجيانيات الكبدية ووجود بؤر التهابية صغيرة في الوريد المركزي الكبدي ،اما بالنسبة للخلايا الكبدية فلم تشير الدراسة الى وجود تغيرات واضحة فيه .(Holovská *et al.*,2015)

5-2: الاجهاد التاكسدي Oxidative Stress

هو حالة عدم التوازن بين المؤكسدات Antioxidants ومضادات الأكسدة لصالحة المؤكسدات ،مما يسبب ضررا في الجزيئات الحيوية الكبيرة (Jurank and Bezek , 2005) . إن الجذور الحرة و المؤكسدات تتولد بشكل مستمر في خلايا الجسم لكنها تتوزن بشكل طبيعي من خلال بعض مضادات الأكسدة الطبيعية مثل تفاعلات السلسلة التنفسية او عملية البلعمة ، وكذلك تنتج عند التعرض للملوثات البيئية او الاشعاعات المؤينة او ملوثات الهواء (Rottkamp *et al*,2001) . وتمتاز الجذور الحرة مثل جذر الهيدروكسيل (OH) Hydroxyl وجزر السوبر اوكسيد Superoxid وبيروكسيد الهيدروجين (H₂O₂) Hydrogen Peroxide بقابليتها على اكسدة الدهون والاحماس الأمينية والكربوهيدرات بالإضافة إلى إحداث الطرفات في الحامض النووي منقوص الاوكسجين DNA (Jurank and Bezek , 2005) . من خلال مهاجمة السوبر اوكسيد إلى سلاسل الاحماس الدهنية المتعددة غير المشبعة بقوة وبيوكسدها بعملية اكسدة الدهون Lipid Peroxidation ومن ثم تحرير المانولديهيد (Valko *et al.*,2007) . وهو سبب لنشوء العديد من الأمراض كالسرطان والشيخوخة وأمراض القلب (Aitken and Baker , 2004) وحالات العقم (Ferrari , 2000) . وقد يسبب الإجهاد التاكسدي العديد من الحالات المرضية الرئيسية التي تشمل مرض السكري وأمراض القلب والأوعية الدموية واضطرابات الدماغ والسرطان وكذلك العقم (Tremellen,2008) .

6-2: الجذور الحرة Free Radical

ان الجذور الحرة هي جزيئات لها القدرة على اكسدة الجزيئات الحياتية التي تتضمن البروتين والدهون والاحماس النووية والكربوهيدرات والخطر الناتج من الجذور الحرة يمكن في قدرتها على تحطيم اهم مكونات الخلية وهو الحامض النووي او غشاء الخلية مما يتسبب في تحطيمها وعدم القيام بوظائفها بالشكل المطلوب (Alonzo *et al* ; 2008 Ding and Guo , 2007) . ان نشاط حركة وانتقال الالكترونات يعد من الامور الاساسية في صناعة الطاقة وفي التفاعلات الحيوية الاخرى في الجسم لكن اذا تمت هذه السلسة من التفاعلات بطرق عشوائية وغير مسيطر عليها فانها تتسبب في

تمزق الاغشية البلازمية للخلايا وتغيير ظائفها كما قد تؤدي الى طفرات جينية وربما الى موت الخلايا وانلاف الاغشية الحيوية الاخرى كاغشية المايتوكوندريا وتوثر على الدهون الغير مشبعة في الدهون الفوسفاتية وتودي الى تصلب الاغشية ونقص نشاط الارتباط الانزيمي بها كنقص نشاط مضخات الصوديوم (Denicola and Radi, 2005). كما ثُوَّر الجذور الحرة على نشاط المستقبلات الغشائية وعلى نفاذية الاغشية او ربما تؤدي الى السرطان من خلال تدميرها الحامض النووي او الى امراض اخرى كامراض القلب والتهاب المفاصل ويعزو كثير من العلماء الشيخوخة وامراض ضمور الخلايا الى نشاط الجذور الحرة (Valko et al., 2007).

7-2: أكسدة الدهون Lipid peroxidation

هي عملية أكسدة الأحماض الدهنية المتعددة غير المشبعة الموجودة في الأغشية الخلوية بوساطة تفاعلات متسلسلة للجذور الحرة لتكوين هيدروبروكسیدات الدهون Lipid hydroperoxides التي تتفاكب بدورها لتكوين مركبات اخرى مثل المالوندайлديهيد والذي يعد ناتج ثانوي لعملية اكسدة الدهون (Halliwell and Gutteridge, 1985). ويصاحب اكسدة الدهون الإضرار بالحامض النووي DNA من جهة مما يؤدي الى زيادة اصناف الاوكسجين المختزلة بشكل غير كامل وبالتالي ينتج عنه تخريب في السلسلة التنفسية الخاصة بالمايتوكوندريا ومن جهة اخرى يتفاعل مع مضادات الأكسدة مثل الكلوتاثيون مما ينتج انخفاض في تركيز الـ GSH وهذا يؤدي إلى ضعف في نظام الدفاع الخلوي المضاد للأكسدة (Sastrre et al., 2000). وتعد الايونات المعدنية لاسيما الحديد والنحاس من العوامل المساعدة لعملية اكسدة الدهون والتي تحفز بالجذور الحرة التأكسدي مما يؤدي الى حدوث العديد من الامراض ولاسيما امراض الجهاز القلبي الوعائي (Ferrari, 2000). وحالات العقم التي تحصل في ذكور الحيوانات بسبب احتواء غشاء النطف على الاحماض الدهنية المتعددة غير المشبعة التي تكون حساسة جداً اكسدة الدهون مما ينتج عنه تحطم النسيج وبالتالي فقدان الخصوبة ، اذ تعد اكسدة الدهون في غشاء النطف المفتاح الذي يؤدي الى الاعاقة الحاصلة في وظيفة النطف من خلال التلف الحاصل في تركيبها (Murray et al., 2000).

8-2: مضادات الأكسدة Antioxidants

بسبب الإنتاج المستمر للجذور الحرة في الجسم تنتج أنظمة مضادة لها تسمى بالأنظمة المضادة للأكسدة Antioxidant Defense System ، تعمل على منع تكوين الجذور الحرة وعمليات الأكسدة في الجسم او الابطاء منها لذا فهي تشكل خط دفاعيا ضد النشاط التخريبي للجذور الحرة (Bartosikova *et al.*, 2003 ; Prakash and Joshi , 2004) . ولمضادات الأكسدة القدرة على اعطاء الكترونات وتحويلها الى مركبات مستقرة غير قادرة على التفاعل مع الجزيئات الحيوية في الجسم (Shih *et al.* .. 2002)، وتكون بنوعين مضادات أكسدة انزيمية Enzymatic Antioxidant مثل انزيم Glutathione peroxidase و Catalase و Superoxide dismutase ، ومضادات الأكسدة غير الانزيمية مثل فيتامين A و B و C و بيتا كاروتين β -carotin والترانسفرين Transferrin ، وهذه العوامل المضادة للأكسدة لا تكون معزولة عن بعضها البعض بل هناك نوع من التداخل في العمل بينها (Shih *et al.* .. 2002).

2-9: تأثير اشعة الهاتف المحمول على مضادة الأكسدة و المؤكسدات

أن الإشعاع المنبعث من هوائيات محطات الهواتف الخلوية يؤثر على النظم البيولوجية عن طريق زيادة الجذور الحرة التي تعزز أكسدة الدهون ، وتغيير الأنشطة المضادة للأكسدة ، وتلف البروتين (Dasdage *et al.*, 2008). تعد الميتوكوندريا وسيطا رئيسيا في مجال RF ، و EMR للأنظمة البيولوجية في سرطان البنكرياس تبين أن خلية EMR لديها القدرة على إحداث تغيرات واسعة في مورفولوجيا الميتوكوندريا ، وتحفيز فقدان إمكانات الغشاء و زيادة كبيرة في إنتاج الجذور الحرة (Curley *et al.*, 2014). أن الاشعة الكهرومغناطيسية تزيد من توليد الجذور الحرة في الميتوكوندريا الحيوانات المنوية (De Iuliis *et al.*, 2009). تعد عوامل الأكسدة الفعالة (ROS) الناجمة عن الإجهاد التأكسدي عاملًا مهمًا في أكسدة الأنسجة. لذلك قد تؤدي هذه الأنواع إلى تلف الدهون والبروتينات والحمض النووي على نطاق واسع (Jajte *et al.*, 2002) . أن نسبة 93 % من الدراسات التجريبية اشارت الى التأثيرات التأكسدية للتترددات الراديوية (RFs) على مجموعة متنوعة من الأنظمة البيولوجية (Yakymenko *et al* .. 2016) . وفي الخلايا الذبية المصدر الرئيسي لأنواع الأكسدة الفعالة ROS هو الميتوكوندريا. وقد أظهرت التجارب المختبرية أنه في الظروف العادية ، يتم تحويل ما يقارب من 1-3% من الأوكسجين الذي تستخدeme الميتوكوندريا إلى بيروكسيد الهيدروجين (H₂O₂) وهذه النسبة تزداد بواسطة محفزات مختلفة ، مثل محتوى ATPase المنخفض أو انخفاض إنتاج ATPase من الميتوكوندريا (Stass *et al.*, 2000). أشارت دراسات الى أن

إشعاع التردد اللاسلكي 900 ميجا赫رتز و 945 ميجا赫رتز و 1800 ميجا赫رتز وبمعدل 30 دقيقة إلى 7 ساعات في اليوم لمدة 8 إلى 60 يومًا يمكن أن يحفز الضرر التأكسدي عن طريق زيادة MDA وانخفاض إنزيمات مضادات الأكسدة مثل CAT و SOD (Mustafa et al., 2005; Yurekli et al., 2006 ; Balci et al., 2007) وجماعته (2001) إلى أن التعرض الحاد لمدة (1 ، 2 ، 4 ساعة) إلى الترددات اللاسلكية للهواتف الخلوية يمكن أن يزيد الإجهاد التأكسدي للجذور الحرة. إن الإشعاع المنبعث بتردد 900 ميجا赫رتز ولمدة 7 أيام إلى 3 أشهر وبمعدل (30 دقيقة إلى ساعة) في اليوم الواحد يؤدي إلى زيادة مستويات NO في القلب والنسيج الكلوي والمُعَخ (Ilhan et al., 2004; Ozguner et al., 2005). يستخدم مستويات أكسيد النيترويك كمؤشر للاجهاد التأكسدي في الشبكية للجرذان بعد تعرضها لأشعة الهاتف المحمول بتردد 900 ميجا赫رتز ولمدة نصف ساعة ولفترة شهرين إذ لوحظ ارتفاع مستويات NO و MDA في الشبكية (Ozguner et al., 2005). من المحتمل أن يتم التخلص من الإجهاد التأكسدي المستحدث بالميكروويف (MW) في الكبد البشري ، على الرغم من أنه نادرًا ما يحدث تسمم بالكبد (Koyu et al., 2005). تسبب الأشعة الكهرومغناطيسية في تعطل عملية التمثيل الغذائي عن طريق زيادة إنتاج الجذور الحرة أو زيادة نشاط إنزيم مضادات الأكسدة. وقد أظهرت الدراسات أن مضادات الأكسدة مثل الميلاتونين ، وإيثيل فينيل الكافيين ، وفيتامين C وفيتامين E تمنع الإجهاد المؤكسد أو موت الخلايا المبرمج الناجم عن تأثير الأشعة الكهرومغناطيسية في حالات تسمم الحيوانات (Oral et al., 2006 ; Ozguner et al., 2006).

2-10: تأثير أشعة الهاتف المحمول على الحامض النووي DNA

أظهرت الدراسات أن التأثيرات البيولوجية للمجالات المغناطيسية منخفضة التردد واحتراقتها للأنسجة العميقية (Sceniltr, 2009; Marino, 1997). وتأثير أشعة الهاتف المحمول على العديد من الوظائف الخلوية مثل تكاثر الخلايا وموت الخلايا المبرمج والتمايز (Foletti et al., 2009). وعلى تخليق الحمض النووي (Takahashi et al., 1986). وأشارت دراسات تأثير الأشعة الكهرومغناطيسية على الجينات من خلال حدوث الضرر الكروموزومي (Winker et al., 2005 ; Maes et al., 2006 , 2006 ; Singh and Kapoor, 2014; Lai, 2012) ، وزيادة فواصل الحمض النووي (Mihai et al. 2014; Franzel-litti et al. 2010; Diem et al. 2005) . وأوضحت دراسات تأثيرات EMR على الميتوكوندريا ، ومسار التقزم ، و تمايز الخلايا ، و تلف DNA (Mcname et al., 2003;Blank et al., 2004) . وبينت دراسة تأثير الأشعة الكهرومغناطيسية على

حدوث تضرر في الحمض النووي مثل كسر الحمض النووي وموت الخلايا المبرمج (Belyaev *et al.*,2006) . وأشارت دراسة الى حدوث زيادة في فوائل الحمض النووي الأحادي والمتضاعف في خلايا دماغ الفئران عند تعريضها للأشعة بتردد 2450 ميجااهرتز ولمدة ساعتان ،فضلاً الى حدوث cross links في DNA-DNA و DNA-protein (Lai *et al.*,2004) الى زيادة في الحمض المبرمج (Behari و Paulraj (2006) الى زيادة في الحمض النووي لجين وحيد السلسلة في خلايا الدماغ النامية للجرذان التي تم تحديدها لمدة 35 يوماً بعد ان عرضت إلى 2.45 و 16.5 جيجااهرتز. وأشارت دراسة الى حدوث زيادة منخفضة في كمية الحمض النووي في حائل مزدوج الفأر الجنيني بعد التعرض الحاد للأشعة بتردد 1.7 جيجااهرتز (Nikolova *et al.*,2005). وبينت دراسة حول تأثير الاشعة الكهرومغناطيسية على الحمض النووي (Belyaev,2005) . ذكر Tice (2002) أن تعرض كريات الدم البيضاء والخلايا اللمفاوية البشرية إلى W RF-EMW / kg يوم واحد قد أدى الى تلف كروموسومي .في نفس الوقت أشار Ramondini وجماعته (2006) أن الخلايا البطانية البشرية أظهرت تغييرات في التعبير عن العديد من الجينات بعد تعريضها للأشعة بتردد 900 ميجااهرتز ،في حين اظهرت دراسة أن التعرض للأشعة الكهرومغناطيسية بتردد MHz1950 لمدة 24 ساعة يسبب حد السمية الجنينية في المختبر في الخلايا الليفية البشرية دون الخلايا الليمفاوية (Huang *et al.*,2008) . وفي دراسة عن الخلايا الليفية البشرية والخلايا الحبيبية الفئران المعرضة لإشارات الهاتف المحمول بتردد 1800 ميجااهرتز خلال 4 و 16 و 24 ساعة ، الى وجود جزيئات الحمض النووي المفردة والمضاعفة في هذه الخلايا (Diem *et al.*,2005) . وتوصلت دراسات بأن الخلايا الليفية البشرية وخلايا-T ، على التوالي فشلت في إظهار أي آثار سمية كبيرة للأشعة الكهرومغناطيسية ، وبالتالي فإن تلف الحمض النووي قد يعتمد على نمط الخلية بالإضافة إلى مدة التعرض ، تردد RF-EMW ، الامتصاص النوعي..... الخ (Sannino *et al.*,2009 and Huang *et al.*,2008) . وأشارت دراسة حديثة الى زيادة التسبب في الضرر الوراثي نتيجة التعرض للأشعة (Verschaeve, 2009) .قد يكون تلف الحمض النووي في الخلايا ضمنياً مهماً فهو تراكمي إذ يكون الحمض النووي قادر على إصلاح نفسه من خلال آلية التمثال من خلال قدرة الخلايا على توازن دقيق بين تلف الحمض النووي وإصلاحه إذ إن معظم الخلايا تكون قادرة على إصلاح شريط الحمض النووي المفرد single-strand DNA ، ومن المعروف أن كسر الحمض النووي double-strand ، إذا لم يتم إصلاحه بشكل صحيح ، سيؤدي إلى موت الخلايا أو موت الخلايا المبرمج (Nisarg *et al.*,2009) . إن تأثير الاشعة الكهرومغناطيسية

على موت خلايا المبرمج apoptosis من الدراسات المثيرة للجدل (Zhao *et al.*, 2007). إذ تشير الدراسات إلى أن الاشعة الكهرومغناطيسية قد تعمل على مستقبلات الملحق الغشاء البلازمي ومع ذلك فإن استحداث موت الخلايا المبرمج قد يعتمد على نوع الخلية بالإضافة إلى نوع التعرض للاشعة ومدته (Markkanen *et al.*, 2004) (Capri *et al.*, 2004).

11-2: تأثير أشعة الهاتف المحمول على الكروموسومات

في منتصف الستينيات من القرن الماضي ، كان الإشعاع المؤين معروفاً بأنه قادر على إحداث انحرافات في الكروموسومات في الطور اللمفي للخلايا الليمفاوية المحيطية (UNSC, 1969) ; (Lloyd et al., 1973) . وأشارت دراسات إلى أن استخدام اختبار انحراف الكروموسوم على نطاق واسع يعد كمؤشر حيوي حساس لإعادة بناء الجرعة بعد التعرض للإشعاع Wojcik ; 1984 , (Lloyd et al., 2004) . يرجع تطبيق تحليل انحراف الكروموسوم لتقدير قياس الجرعة البيولوجية إلى أكثر من 40 عاماً ، وقد تم قبوله الآن باعتباره أكثر الطرق موثوقية لتقدير تأثير جرعة الإشعاع وتم توثيق موثوقيتها وحساسيتها في التحلل البيولوجي في التحقيقات في العديد من الحوادث الإشعاعية الكبيرة (Liu et al., 2008; Littlefield et al., 1991) . فضلاً إلى توفر معلومات قيمة لقياس الجرعة لتسهيل التشخيص السريري عند فقدان بيانات قياس الجرعات الفردية. وأظهر تحليل انحراف الكروموسوم دوراً حاسماً في تقدير جرعة الإشعاع وتيسير تشخيص سريري دقيق، اشارت دراسة إلى أن نمط توزيع dic+r يُظهر توزيع بواسون بين الخلايا الليمفاوية المشعة في الموضوعات التي تتعرض بشكل موحد للإشعاع المنخفض لنقل الطاقة الخطية (Wojcik et al., 2004) . واستخدمت التغيرات الكروموسومية في مراحل الانقسام المختلفة لتقدير الأضرار التي تحدث في الجينوم بفعل العوامل الفيزيائية والكيميائية المختلفة (Meteuca et al., 2006) . والتشوهات الكروموسومية كما تتضمن نقصان أو زيادة في عدد الكروموسومات او نوعية كالتبادلات الكروماتيدية (Anderecscu et al., 2010) . إن الانحرافات الكروموسومية تحدث أثناء مسار الانقسام الاختزالي والتي غالباً ما يتم نقل أجزاء من الكروموسوم ، إذ أن التغييرات تحدث في داخل الكروموسوم نفسه أو بين كروموسوم واخر مختلف وتنتج هذه العملية تغييرات في مورفولوجية الكروموسوم نفسه ، والتي يشار إليها باسم انحرافات الكروموسومات (CAs) (Haung et al., 1990) . يعتمد نوع التغيرات الهيكيلية للكروموسومات الناتجة عن العوامل الفيزيائية والكيميائية على التلف الحاصل في الحمض النووي . تنجم انحرافات الكروموسومات الهيكيلية عن تكسر وإعادة ترتيب الكروموسومات الكاملة إلى أشكال غير طبيعية ، وهي الأكثر فاعلية

بفعل تلك المواد التي تكسر العمود الفقري للحمض النووي مباشرة أو تشوه إلى حد كبير حلزون الدنا (مثل العوامل المتداخلة) وبالتالي يمكن تصنيف الانحرافات الشاذة على أنها إما غير مستقرة أو مستقرة (Obea *et al.*, 2002). تتكون الانحرافات غير المستقرة من الكروموسومات اللامركزية ، والحذف وغير ذلك من عمليات إعادة التنظيم ، وقد اشارت دراسة الى أن الانحرافات غير المستقرة ستؤدي إلى موت الخلية (Márcia *et al.*, 2009). يستخدم اختبار الانحرافات الكروموسومية في تفسير العديد من حالات الإجهاض والولادات الميتة والمشوهه و الموت المبكر للولادات الحديثة ، إذ أشارت دراسات الى ان نسبة 4.5 % من حالات الإجهاض تحدث بسبب التغيرات الكروموسومية الغير متوازنة لدى الوالدين حيث تحتوي الخلايا الجنسية على نسبة عالية من التكرارات و الحذف الكروموسومي (Gardener and Sutherland,2004; Yan *et al.*,2007) . كما اشارت دراسة Hundal وجماعته (2009) الى إن نسبة 5-15% من الرجال المصابين بانعدام النطف يعانون من ارتفاع في نسبة الاختلالات الكروموسومية وخصوصا التبادلات الكروموسومية . ويستخدم الاختبار لتشخيص الأمراض المرتبطة بالكروموسومات ففي دراسة أجريت على عينة من نساء يعانين انقطاع الطمث وجد ان نسبة منهن تعاني من خلل في الكروموسومات تمثلت بفقدان او تكرار كروموسوم X او نقص في احد اذرعه (Kalavathi *et al.*, 2010) . كما أثبتت دراسة إن التعرض لجرع قليلة ومتعددة من الأشعة السينية يمكن إن يؤدي إلى اختلالات كروموسومية لخلايا الإنسان المفاوية خارج الوسط الحي (Cuerrero-Carbajal *et al.*, 2003) . واستخدم اختبار Chromosom Aberrations (CA) لتقدير صحة العاملين في مجال الإشعاع والمجات فوق الصوتية ، إذ اشارت دراسة أجريت على عينة من الأشخاص تعرضوا لإشعاع مؤين لمدة ثلاثة سنوات ولأشخاص تعرضوا لموجات فوق الصوتية لمدة ستة أشهر إلى حدوث ارتفاع نسبة التشوهات الكروموسومية مقارنة بمجموعة السيطرة . كما أثبتت أن العلاقة طردية بين نسبة التشوهات ومقدار الجرعة (Fucic *et al.*, 2007) . واظهرت نتائج اختبار CA للضحايا المعرضين للإشعاع ارتفاعا بنسبة الكروموسومات الحلقية والثانية السنترومير لخلايا المفاوية بعد 10 أيام من التعرض للإشعاع (Qliu *et al.*, 2009) . كما اشارت الدراسات الى أن الأشعة تحت الحمراء تؤدي إلى تأين وتفكك الحمض النووي ، بشكل مباشر أو غير مباشر ، وإلحاد ضرر بوظيفة الكريات البيض وزيادة معدل انحراف خلايا الدم البيضاء ، مما يؤدي إلى زيادة خطير حدوث MI والتشوهات الكروموسومية CA (Feinendegen ,2005; Ramosetal.,2010; Fenech,2010)

إلى زيادة تكرار MI و CAS ، وإلى حدوث تلف كبير في الحمض النووي للعاملين المعرضين للإشعاع (Angelini *et al.*, 2005).

المواد وطرائق العمل

Materials and Methods

3- المواد والأدوات والأجهزة المستخدمة

1-1-3 الأجهزة المستخدمة

جدول (3 - 1) الأجهزة المستخدمة مع اسم الشركة المصنعة والمنشأ

الشركة المصنعة	المنشأ	اسم الجهاز	ت
KOREA	KOREA	جهاز كلاكسي S3	1
Griffianal George	UK	جهاز الطرد المركزي Centrifuge	2
Gallen Kaamp	England	Incubator حاضنة	5
Memmert	Germany	Water bath حمام مائي	6
Eriotti	Italy	Electric oven فرن كهربائي	7
CYAN	China	Vortex مازج	9
Gallen Kaamp	England	Sensitive electronic balance ميزان الكتروني حساس	10
Biobasic	Canada	(0.5-10ml), (20-100ml), (100- Micropipette ماصة (1000ml)	11
Olympus	Japan	Fluorescence المجهر الوظيفي	12

3-2 المواد الكيميائية Chemical materials

جدول (3 - 2) المواد الكيميائية مع الشركات المصنعة لها

الشركة المصنعة	المنشأ	المواد الكيميائية	ت
BDH	England	Ethanol %96 ايثانول	1
Iraq	Iraq	Glacial acetic acid حامض الخلية الثلجي	3
Scharlau	Spain	absolute alcohol كحول مطلق	5
BDH	England	Chloroform كلوروفورم	6
-	-	Distilled Water ماء مقطر	7
BioBasic	Canada	oxiselect comet assay kit عدة التحاليل لقياس مضادات الاكسدة	8
Mononbind Inc	U.S.A	(GSH,CAT ,SOD,) عدة التحاليل لقياس مضادات الاكسدة	9
Mononbind Inc	U.S.A	(NO,MDA) عدة التحاليل لقياس المؤكسدات	10
Bioneer	Korea	Catalase عدة قياس إنزيم	11
BioBasic	Canada	Gimza stain صبغة كمزا	14
BDH	England	SYBER Green صبغة	15

3-2 حيوانات التجربة Experimental animals

استعمل في هذه التجربة (60) من ذكور الجرذان البيضاء (*Rattus Norvegicus*) التي تم الحصول عليها من مختبر كلية الصيدلة - جامعة كربلاء للفترة من شهر تشرين الثاني 2017 الى شهر نيسان 2018 بمعدل اعمار تتراوح بين (10-12) أسابيع واوزان تتراوح ما بين (190-240) غم ، ربيت الحيوانات ووضعت في اقفاص التربية مسيطر عليها من ماء وتهوية مناسبة وتحت درجة حرارة 25 م° ونوع اضاءة (12) ساعة ضوء و(12) ساعة ظلام طول مدة التجربة وتم تغذيتها على علبة الدواجن وتوفير الماء وترك الحيوانات للتأقلم لمدة أسبوع.

3-3 تصميم التجربة Experimental Design

وزعت الحيوانات المختبرية المعدة للتجربة عشوائيا الى 12 مجموعة وبصورة متساوية حيث ضمت كل مجموعة (5) جرذا ، حسب التجارب التي تم اجراؤها وكالاتي:

التجربة الاولى:

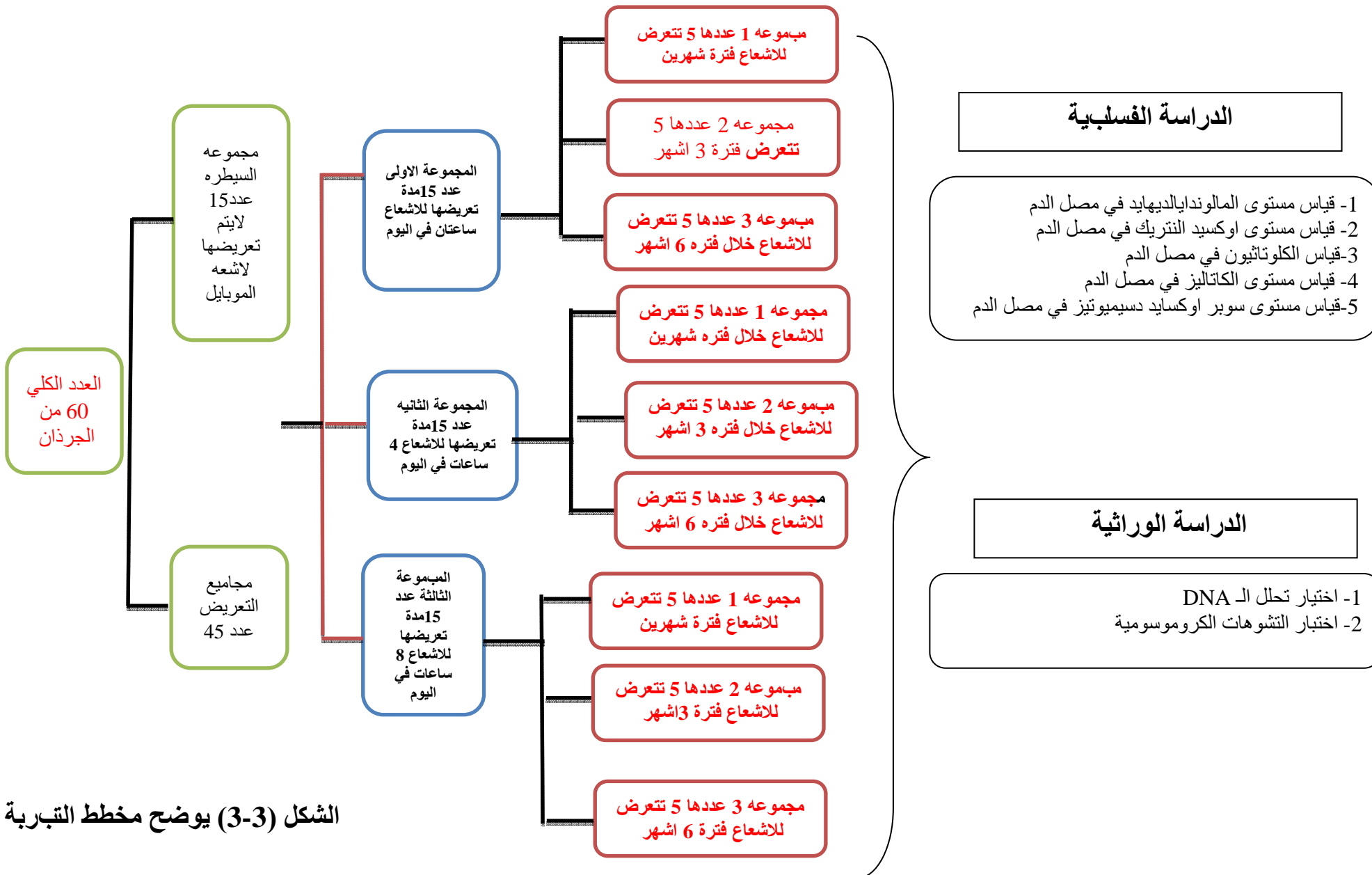
المجموعة الاولى والبالغ عددها (5) تركت دون تعرض لجرع الاشعة واعتبرت كمجموعة سيطرة
المجموعة الثانية والبالغ عددها 5 تم تعريضها لأشعة الهاتف لمدة ساعتين ولفترة شهرين
المجموعة الثالثة والبالغ عددها 5 تم تعريضها لأشعة الهاتف لمدة ساعتين ولفترة ثلاثة اشهر
المجموعة الرابعة والبالغ عددها 5 تم تعريضها لأشعة الهاتف لمدة ساعتين ولفترة ستة اشهر

التجربة الثانية :

المجموعة الاولى والبالغ عددها 5 تركت دون تعرض لجرع من الاشعة واعتبرت كمجموعة سيطرة
المجموعة الثانية والبالغ عددها 5 تم تعريضها لأشعة الهاتف لمدة اربع ساعات ولفترة شهرين
المجموعة الثالثة والبالغ عددها 5 تم تعريضها لأشعة الهاتف لمدة اربع ساعات ولفترة ثلاثة اشهر
المجموعة الرابعة والبالغ عددها 5 تم تعريضها لأشعة الهاتف اربع ساعات ولفترة ستة اشهر .

التجربة الثالثة:

المجموعة الاولى والبالغ عددها 5 تركت دون تعرض لجرع من الاشعة واعتبرت كمجموعة سيطرة
المجموعة الثانية والبالغ عددها 5 تم تعريضها لأشعة الهاتف لمدة ثمانية ساعات ولفترة شهرين
المجموعة الثالثة والبالغ عددها 5 تم تعريضها لأشعة الهاتف لمدة ثمانية ساعات ولفترة ثلاثة اشهر
المجموعة الرابعة والبالغ عددها 5 تم تعريضها لأشعة الهاتف لمدة ثمانية ساعات ولفترة ستة اشهر .



4-3 تشيع الحيوانات Irradiation Animals

تم تعريض الحيوانات الى الاشعة الكهرومغناطيسية (EMR) المنبعثة من الهاتف المحمول نوع سامسونج S3 الكوري الصنع ، اذ تعرضت الجرذان يومياً لمدة ساعتين لمدة شهرين وثلاثة وستة اشهر على التوالي للتجربة الاولى المعاملة T1 وبوقت اربع ساعات لمدة شهرين وثلاثة وستة اشهر على التوالي للتجربة الثانية المعاملة T2 وبوقت ثمانية ساعات لمدة شهرين وثلاثة وستة اشهر على التوالي للتجربة الثالثة المعاملة T3 علما ان الجرذان كانت موضوعة في اقفاص ، وكل قفص يضم (5) جرذان .

5-3 جمع عينات الدم Collection of blood samples

تم تخدير الحيوانات بأسخدام مادة التخدير (الكلوروفورم) عن طريق وضع كمية من القطن الذي يحتوي على المادة المخدرة في علبة كبيرة موجود فيها الجرذ ليتم تخديره عن طريق الاستنشاق ، بعدها سحب الدم (5 مل) من القلب مباشرة عن طريق طعنة القلب Heart puncture للحصول على اكبر كمية من الدم حددت (3) مل للفحوصات الفسلجية ، ووضعت عينات الدم في انبوب اختبار معقمة خالية من أي مادة مانعة للتخثر سعة (5) ملتر ، تركت الانابيب لمدة 15-20 دقيقة بدرجة حرارة المختبر ثم نقلت الانابيب الى جهاز الطرد المركزي Center fuge لفصل مصل الدم بسرعة 3000 دوره / دقيقة لمدة 15 دقيقة تم حفظ الامصال مجمدة بدرجة حرارة منخفضة (40C⁰) لحين اجراء بعض الفحوصات الفسلجية والتي تشمل (المالونديالديهايد ، اوكسيد النتريك ، الكلوتاثايون ، سوبر اوكسايد ديسميوتيز ، الكاتاليز) اما بقية (2) مل فكانت للفحوصات الوراثية إذ وضعت عينات الدم في انبوب اختبار معقمة مانعة للتخثر (EDTA) وتم رجها بشكل خفيف لمنع تخثر الدم لغرض اجراء الفحوصات الوراثية والتي تشمل (اختبار تحلل المذنب ، اختبار التشوهدات الكروموسومية).

3-6 الفحوصات الكيموحيوية

3-6-1 تقدير مستوى تركيز المالونديالديهايد (MDA) في مصل الدم

أولاً. المبدأ الأساسي Basic Principle

تم قياس مستوى المالونديالديهايد في المصل باستخدام الطريقة المحورة المتبعة من قبل الباحثين Guidet and Shah (1989) إذ تم تقدير مستوى بيروكسيد الدهن في المصل من خلال قياس كمية المالونديالديهايد و يمثل احد النواتج الرئيسية لأكسدة الدهن وتعتمد الطريقة على التفاعل (TBA) بين بيروكسيدات الدهن وبشكل رئيس المالونديالديهايد وبين حامض

ثايباربيوتريك والتفاعل يتم في وسط حامضي ويكون ناتجاً ملوناً تفاص شدة الامتصاص له Thiobarbituric acid عند 532 نانوميتر .

ثانياً. تحضير الكواشف

- a- محلول ثلاثي كلورو حامض الخليك (TCA) % 17.5
- b- محلول حامض ثايباربيوتريك (TBA) % 0.6
- c- محلول ثلاثي كلور وحامض الخليك (TCA)

ثالثاً. طريقة العمل

و صُنعت طريقة العمل لتقدير المالوندالديهيد حسب المخطط الآتي :

Substance	Test	Blank
Serum	μl 150	-----
Distill water	-----	μl 150
TCA (17.5%)	1ml	ml1
TBA (0.6%)	ml1	ml1
يمزج جيداً ثم يوضع في حمام مائي بدرجة الغليان لمدة 15 دقيقة ثم يترك ليبرد		
TCA (70%)	1ml	1ml
ثم تترك الأنابيب بدرجة حرارة الغرفة لمدة 20 دقيقة ثم تجري عملية الطرد المركزي بسرعة 2000 rpm لمدة 15 دقيقة ثم تقرأ شدة الامتصاص للراشح المتكون عند 532 نانوميتر		

رابعاً : الحسابات Calculation

يقدر تركيز المالوندالديهيد اعتماداً على المعادلة الآتية :

$$\text{The concentration of Malondialdehyde } (\mu\text{mol/l}) = \frac{A_{\text{test}} - A_{\text{Blank}}}{E_o \times L} \times D * 10^6$$

E_o = Extinction coefficient $1.56 \times 10^5 M^{-1} CM^{-1}$

L = light bath 1 C

2-6-3 تقدير مستوى إنزيم الكاتاليز Determination of Catalase Level

تم قياس مستوى إنزيم الكاتاليز باستخدام طريقة (Buege 1978)

أولاً. المبدأ الأساسي Basic Principle

استخدمت طريقة القياس على فعالية إنزيم الكاتاليز في المصل وتعتمد هذه الطريقة على تحلل بيكربونات الهيدروجين إلى جزيئي ماء .

A- تحضير الكواشف

1- محلول الفوسفيت المنظم Phosphate buffer بتركيز 50 μm وفي وسط متعادل ويكون من :

محلول A يتكون من KH_2PO_4 50 μm حيث وزن 6.81 غم من المحلول ويدبب في لتر ماء مقطر

محلول B يتكون من $\text{Na}_2\text{HPO}_4 \cdot 2\text{H}_2\text{O}$ حيث وزن 6.90 غم من المحلول ويدبب في لتر ماء مقطر

ويحضر محلول الفوسفيت المنظم وذلك بمزج 390ml من محلول A مع 630ml من محلول B ثم يضبط عند $\text{PH}=7.0$

2- بيروكسيد الهيدروجين بتركيز 30%

يحضر انيا بتخفيف 20.34 بيروكسيد الهيدروجين بتركيز 30% من الفوسفيت المنظم إلى

حجم 100ml

B- طريقة العمل :

خفف المصل بنسبة 1:10 من محلول المنظم وبحسب الخطوات الآتية:

الكافع	العينة	الكواشف
1ml	----	محلول الفوسفيت المنظم
2.0ml	2.0ml	مخلف المصل
-----	1ml	بيروكسيد الهيدروجين

يبدأ التفاعل بإضافة بيروكسيد الهيدروجين إلى الأنابيب ثم يقاس باستعمال جهاز المطياف الغير مرئي (القارئ للأشعة غير المرئي) Spectrophotometer UV – وطول موجي .240 nm

تسجل القراءة الأولى بعد تصفير الجهاز عند زمن صفر ، والقراءة الثانية تأخذ بعد 15 ثانية، للتعبير عن فیاس الفعالية إنزيم الكاتلیز ب anti (U) يستخدم الرمز K الذي يمثل معدل سرعة التفاعل من المرتبة الأولى . وبحسب المعادلة الآتية :

$$K = \frac{\text{لوغاریتم } \frac{2.3}{\text{بعد صفر ثانية كثافة الضوئية}} - \text{لوغاریتم } \frac{9.2}{\text{بعد 15 ثانية كثافة الضوئية}}}{\text{الزمن معدل}}$$

3-6-3 : تقدير مستوى الكلوتاثيون في المصل**Level in serum****المبدأ الأساس**

قدر مستوى الكلوتاثيون في المصل باستعمال الطريقة المحورة المتبعه من الباحثين Lindsay (1968) وتعتمد الطريقة على باستعمال كاشف ألمان Ellman's reagent إذ

يتفاعل بسرعة مع الكلوتاثيون وتزول بواسطة مجموعة السلفاهيدرال SH group للكلوتاثيون مكوناً ناتجاً ملوناً يتم قراءة الامتصاص له عند 412nm وان تركيز الناتج المتكون يعتمد على تركيز الكلوتاثيون الموجود في المصل

المواد المستعملة Using Materials

- 1- حامض السلفاسالسيليك 4% Sulfosalicylic acid
- 2- كاشف ألمان 0.1mn Ellman's reagent

يحضر كاشف ألمان باذابة 0.00396 غرام من مادة 5.5- dithio bis 2-Nitrobenzoic acid phosphate buffer ويدبوب في 100 ml من المحلول المنظم (محلول دارئ الفوسفات DTNB) ويذوب في 100 ml من المحلول المنظم (محلول دارئ الفوسفات DTNB) الذي يحضر بمزج 0.6 مولاري من KH₂PO₄ و 0.8 مولاري من Na₂HPO₄ وضبط ph=8 الاس الهيدروجيني عند

طريقة العمل Procedure

وضعت طريقة العمل لتقدير مستوى الكلوتاثيون بحسب البدول الآتي :

substance	Blank	Test
Serum	-----	μl(150)
Distilled water	μl(150)	-----
Sulfosalicylic acid % (4)	μl(150)	μl(150)
مزجت ثم وضعت في جهاز الطرد المركزي بسرعة 2000 دورة / دقيقة لمدة (5) دقائق		
Supernatant	μl(150)	μl(150)
Ellman's reagent	ml(4.5)	ml(4.5)
تمزج ثم قرأت شدة الامتصاص عند (412 nm)		

الحسابات : Calculation

قدر تركيز الكلوتاثيون في الدم بحسب المعادلة الآتية :-

$$\text{The concentration of GSH } (\mu\text{mol/L}) = \frac{A_{-test} - A_{-blank}}{E_o \times L} \times 10^6$$

A= Absorption الامتصاصية

Eo= (Extinction coefficient) معامل الامتداد

L (Light bath) = مسار الضوء 1cm

4-6-3 تقدير فعالية إنزيم سوبراووكسайд دسيميوتيز (SOD)**dismutase Activity superoxide**

تم قياس مستوى إنزيم سوبراووكسайд دسيميوتيز في المصل باستخدام الطريقة المحورة المتبعة من قبل Buege (1978)

أولاً. المبدأ الأساسي Basic Principle

تم قياس فعالية سوبراووكسيد دسيميوتيز في المصل باستخدام طريقة المحورة التفاعل الكيميائي - ضوئي (NBT) باستخدام سيانيد الصوديوم كمثبط للبيروكسيديز

المحاليل الكيميائية

1- محلول الفوسفات المنظم وتحضر من 50Mm و $\text{pH}=8$ يحتوي على 0.1Mm و $\text{A.025\% triton-100}$:

a- محلول A فوسفات الهيدروجين ثنائية البوتاسيوم K_2HPO_4 هذه المحاليل جهزت بإذابة 8.709 غرام من K_2HPO_4 في 250 ماء منزوع الأيونات واكمال الحجم الى 1لتر

b- محلول B فوسفات البوتاسيوم ثنائية الهيدروجين 50Mm وتحضر من إذابة 6.805 غرام من KH_2PO_4 في 250 ماء منزوع الأيونات واكمال الحجم الى 1لتر ثم خلط 800 مل من محلول A مع 200 مل من محلول B مع ضبط الحموضة عند $\text{PH}=7.8$

-1 1% يذاب في ماء منزوع الأيونات Triton -2 NBT (1.37nm) Nitroblue tetrazolium -2HCl -2 وجهزت بإذابة 0.0141 غم من 2HCL في 10 مل من الماء منزوع الأيونات .

3- محلول الميثيونين L-Methionine solution (0.2m) وحضر بإذابة 0.3 غم من L-Methionine solution في 10 مل ماء منزوع الأيونات

4- محلول سيانيد الصوديوم Sodium cyanide (2nm) وحضر من إذابة 0.011 غم من سيانيد الصوديوم في 10 مل من الماء منزوع الأيونات .

5- محلول رايبوفلافين Riboflavin solution (117mm) وتم تحضيره من إذابة 0.0011 غم من Riboflavin في 25 مل من الماء منزوع الأيونات .

6- خليط التفاعل Reacting mixture solution وتم تحضيره من مزج 117 مل من محلول فوسفات المنظم و 0.75 مل من Triton و 1ml من NBT-2HCL و 1.25 مل من محلول الميثيونين

طريقة العمل

1- تم تبخير ثلاثة من الأنابيب على النحو التالي :

sample	Control	Blank	Reagent
3ml	3ml	3ml	الخليط التفاعل
0.04ml	0.04ml	0.04ml	سيانيد الصوديوم
0.15ml	-----	-----	العينة
0.25ml	0.67	0.67	محلول العمل
مزجت جيداً ثم أضيف لها			
0.038ml	0.038ml	0.038ml	راييفلافين

مزجت جميع الانابيب ، وقرأت امتصاصية العينة والسيطرة عند طول موجي 560 نانوميتر باستخدام جهاز spectrophotometer عرضت كل الانابيب عدا Blank الى مصدر ضوئي محكم لمدة عشرة دقائق ثم قراءت الامتصاصية عند طول موجي 560 نانوميتر

الحسابات :

وتم حساب تركيز الإنزيم وفق المعادلات الآتية:

$$\text{Inhibition} = \frac{\% C_1 - |T|}{|C|} \times 100$$

Activity of SOD enzyme (U/ml) = inhibition % of sample/0.5 of the inhibition from the standard curve, 37%.

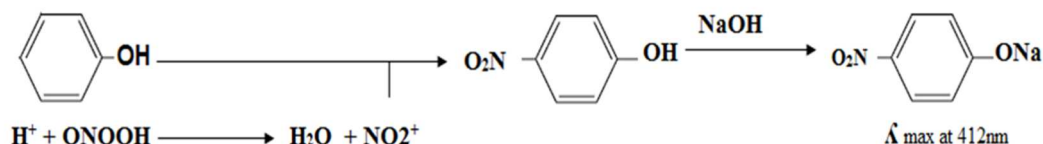
/C/: absorbance of control after illumination – absorbance of control before illumination.

/T/: absorbance of sample after illumination – absorbance of sample before illumination.

5-6-3 تقدير اوكسيد النتريك في المصل

المبدأ الأساسي Basic Principle

تمت إضافة العينة التي تحتوي على 50 مللي peroynitrite إلى الفينول في 50 مللي صوديوم الفوسفات العازلة الرقم الهيدروجيني 7.4 ، بعد الحضانة لمدة 2 ساعة عند 37 درجة مئوية ، تمت إضافة هيدروكسيد الصوديوم لإنتاج نيترو نيترو الملح ، الذي لديه أقصى امتصاص في 412 نانومتر. تم حساب العائد من nitrophenol من 1cm ε 4400 M (Beckman et al., 1992)



الكواشف

- 1- المحلول المنظم (Sodium phosphate buffer (mM 50) يتم تحضيره باذابة 0.13205 g من Na₂HPO₄ و 1.0864 g من NaH₂PO₄ في 100 مل من الماء المقطر (1.1) g Na₂HPO₄ و 0.27 g KH₂PO₄ في 100 مل من الماء المقطر
- 2- الفينول(5 mM) يحضر من اذابة 0.047 g من الفينول في 100 مل من الماء المقطر
- 3- هيدروكسيد الصوديوم (M 0.1) يحضر من اذابة 0.4 g من هيدروكسيد الصوديوم في 100 مل من الماء المقطر

طريقة العمل

- 1- تمت إضافة المصل (100 ميكرولتر) إلى أنبوب الاختبار.
- 2- تمت إضافة 1 مل من 5 ملي فينول في 50 ملي مolar فوسفات صوديوم اساه الهيدروجيني 7.4 إلى أنبوب العينة
- 3- تم تحضير الأنابيب في حمام مائي لمدة ساعتين عند 37 درجة مئوية ثم إضافة 15 ميكرو لتر من هيدروكسيد الصوديوم 0.1 مolar .
- 4- ثم على الفور تم قياس الامتصاصية في طول موجي 412 نانومتر

الحسابات

تم حساب تركيز العينات وفق المعادلة التالية

$$Sample \quad ONOO = \frac{Absorbance}{d X \epsilon} \times D.F$$

d = 1cm, ε = extinction coefficient = 4400 M⁻¹cm⁻¹

D.F = dilution factor = 11.15

3-7 الدراسة الوراثية والجزئية

3-7-1 اختبار المذنب Comet assay

اخبار المذنب Comet assay يستخدم هذا الاختبار لقياس مقدار الضرر في DNA استخدمت العدة Soft ware لإجراء هذا الاختبار كما استخدم برنامج oxiselect comet assay kit لاجراء قياسات مختلفة لكل عينة (De Boeck ,2000)

تحضير الكواشف preparation Reagent

يجب ان تكون الكواشف المحضرة عليها علامات تميزها عن غيرها ويتم اعدادها قبل الاستخدام مباشرة ويوجب استخدام قفازات وبدلات المختبر عند استخدام اي مادة كاشفة XPBS 1 مزج مع الماء الايوني لتجهيز هذا المركب وحفظت بدرجة حرارة الغرفة 10XPBS محلول التحلل لتحضير اكثر من عشرة شرائح زجاجية نموذجين في كل شريحة

-a محلول تحليل الخلايا Lysis solution (40 ml)

-b DMSO (اختياري) 4 مل تم التبريد على درجة حرارة 4 درجة مئوية او في الثلج لمدة دقيقة 20 على الاقل قبل الاستخدام اما اضافة DMSO فهي اختيارية وهي فقط في حالة الخلايا الحاوية على مادة الحديد كالدم والانسجة

-2 هلام المذنب Comet LMAgarose يحضر الهلام الخاص بالفحص وهو صالح للاستخدام مرة واحدة عند اذابتة ويتم اذابة الهلام بوضع العلبة في حمام مائي من 90-100 درجة مئوية لمدة خمس دقائق او حتى ذوبان الهلام مع ازالة غطاء العلبة من اجل السماح للهلام بالتمدد نتيجة الحرارة بعد ذلك تم وضع الهلام في حمام مائي درجة مئوية لخفض درجة حرارته وحفظ هذه الدرجة لحين اتمام تحضير العينة

-3 محلول التصبيغ SYBER® green staining solution ان الكمية المذابة المخزونة من هذه المادة تبقى صالحة للاستخدام لعدة اسابيع اذا ما خزنلت على درجة 4 درجة مئوية في الظلام

1 μ l DMSO مع 1000XSYBER Green _a

b- المحلول المنظم TE PH=7.5

4- محلول منع التلاشي (اختياري) يحضر في حالة حدوث تلاشي اختفاء في العينات نمزج X PBS 500 ملغم من mlPhenulenedi aminedihydro chloride مع 1) 4.5 ملغم حتى الذوبان في انبوبة بحجم 10 مل

5- محلول فك الالتفات التحلزن القاعدي Alkaline unwinding solution عند تحضير هذا محلول يجب الحذر وارتداء الفقايرات في كل 50 مل من هذا محلول يوجد 4.0 غم من NaOH و 250 مايكرو غرام mMEDTA و 200 ملغم من dH₂O يحرك حتى اتمام عملية الذوبان تترفع درجة حرارة محلول عند ذلك يترك حتى يكون بدرجة حرارة الغرفة قبل الاستخدام

6- تحضير محلول الترحيل الكهربائي القاعدي لاختبار المذنب ولتحضير 1 لتر من محلول الترحيل الكهربائي NaOH₈ غرام مسحوق 2 مل Mm 500 EDTA pH 8 و 4 dH₂O بعد ذوبان NaOH تضاف الى 11) بعد ذلك يحفظ في التبريد بدرجة 4 درجة مئوية

2-7-3 : اختبار تحلل المذنب Comet Assay

- 1- تحضير محلول التحلل ويبرد على درجة 4 درجة مئوية لمدة 20 دقيقة قبل الاستخدام
- 2- اذابة الهلام في بيكر ماء المغلي لمدة 5 دقائق ثم يوضع في حمام مائي على درجة 37 درجة مئوية قبل 20 دقيقة من العمل
- 3- مزجت الخلايا بتركيز $10^5 \times 1$ مع الهلام الذائب في درجة حرارة 37 درجة مئوية وبنسبة 1:10 (حجم / حجم) وسحبت مباشرة بالماصنة الى شريحة المذنب واذا كان من الضروري تستخدم المساحة الجانبية لفوهة البلاستيكية للماصنة لنشر الهلام والخلايا فوق مساحة العينة للشريحة لتأكد من تغطية كافة مساحة العينة واذا لم تتوزع بشكل متساوي ندفأء الشريحة بدرجة 37 درجة مئوية قبل اكمال التطبيق
- 4- في حالة العمل مع عدة عينات يجب تقسيم الهلام في قناني او انببيب بدرجة 37 درجة مئوية واضافة الخلايا وتمزج بلطف بطريقة التقليب ونشر 50 μl في مساحة العينة توضع العينات على سطح مستوي ومنظم وعند درجة 4 درجة مئوية في الثلاجة لمدة 10 دقائق اذ ستظهر قطرة واضحة بقطر 0.55mm في الحافة المساحة المحددة للعينة ان زيادة وقت التبلور الى 30 دقيقة يزيد من التصاق العينات في حالة الرطوبة العالية
- 5- غمرت العينات في محلول التحلل بدرجة 4 درجة مئوية لمدة 30-60 دقيقة ولعرض زيادة حساسية الاختبار يمكن استمرار مدة الحضن بنفس الدرجة لمدة 12 ساعة

- 6- يجب ازالة محلول الزائد من العينة وغمر بمحلول منع الانتقادات القاعدي على ان يحضر قبل الاستعمال مباشرة
- 7- يستمر الغمر في محلول السابق لمدة 20 دقيقة في درجة حرارة الغرفة او لمدة ساعة بدرجة 4 درجة مئوية وفي الظلام
- 8- لاجراء اختبار المذنب يضاف 1مل بدرجة 4 درجة مئوية من محلول الترحيل القاعدي ثم ينقل النموذج الى الترحيل الكهربائي ويغطى بالغطاء الخاص مع ضبط الجهاز على 21 فولت لمدة 30 دقيقة
- 9- يزال محلول الترحيل الكهربائي الزائد بلطف وتغمر العينة ب dH₂O لمدة خمس دقائق وتكرر العملية مرتين ثم يغمر في محلول كحولي 70% لمدة خمس دقائق
- 10- يجف النموذج في درجة 37 درجة مئوية لمدة 10-15 دقيقة ويعمل التجفيف على جعل الخلايا في مستوى واحد مما يسهل عملية مراقبتها ثم تخزن النماذج في درجة حرارة الغرفة مع التجفيف المسبق لاجراء القياسات في المرحلة .
- 11- وضع 100مل من من صبغة SYBR Green في دائرة الاكروز الجاف ولمدة دقيقة 30 درجة حرارة الغرفة في الظلام ثم يرفع النموذج برفق لازالة الصبغة الزائدة ويشطف في الماء لمدة قليلة ثم يسمح للنموذج ان يجف بشكل كامل بدرجة 37 درجة مئوية .
- 12- يوضع النموذج في المجهر الومضي Fluorescence اذ يكون مرشح الومض كافي لاجراء الاختبار كما يمكن اجراء خمسين قياس مختلف في هذا الاختبار وتقاس من النسبة LD low دليل المذنب وان المدى 1.2-2.0 يشير الى ان المستوى الضرر قليل W/L ، 2.1-3.0 يعتد متوسط (MD) واكثر من 3 يعد عالي (HD) .

3-7-3 اختبار التشوهات الكروموسومية Chromosomal aberration studies

المبدأ	Principle
قبل تشریح الحيوان بثلاث ساعات يحقن كل جرذ تحت الغشاء البريتوني(1ملغم / كغم كولجسين) المحضر مسبقاً مثبط للانقسام، إذ يعترض تشكيل خيوط المغزل إثناء الانقسام ، مما يمنع هجرة الكروموزومات المتضاعفة إلى قطب الخلية	

تحضير الشرائح المبهرية Preparation of microscope slides

- 1- تم قتل الجرذ
- 2- يفتح التجويف الالسطي بمقص حاد ،مع الحذر من قطع الأحشاء.
- 3- وتشمل كل مماليق
- a- نزيل عظام الساق الخلفية (عظم الفخذ وعظم القصبة) بقطع إلى العظام من الكاحل وقرب الحوض قدر الإمكان.
- b- نخلص العظام من العضلات والدهون قدر الإمكان.
- c- نفصل العظمين بالقطع خلال مفصل الركبة.
- d- بعد قطع العظام، يجب أن تفتح النهائين كليهما في تجويف نخاع العظم لكل عظم
- 4- بعد ذلك تنفذ الخطوات التالية قبل البدء
 - a- نملأ حفنة (3 مل) بمحلول (كلوريد البوتاسيوم 0.075 مولاري) المحضر مسبقا
 - b- ندخل رأس الإبرة إلى النهاية الضيقة لأكثر من عظم واحد، مع الإمساك بالعظم إذ يسيل نخاع العظم في أنبوبة الاختبار.
 - c- نكرر هذا الإجراء لبقية العظام، حتى يسيل نخاع العظم من كل واحد إلى أنبوبة الاختبار.
 - d- يستخدم فقط جزء من كلوريد البوتاسيوم في الحفنة لكل عظم (وبمعنى آخر: لا يستخدم أكثر من مجموع 3 مل كلوريد البوتاسيوم في الحفنة لجرذ واحد).
- 5- يسحب محلول ببطء بواسطة ماصة باستور حتى يكون المعلق الناتج تقريراً متجانساً خلويًا.
- 6- يحضر معلق الخلايا لمدة 15 دقيقة عند 37 °C في الحاضنة.
- 7- ينبعذ المعلق بجهاز الطرد المركزي لمدة 2 دقيقة بسرعة 1500 دورة/دقيقة.
- 8- نزيل الرائق ويبقى الراسب وهو عبارة عن Pellet بيضاء اللون
- 9- a- نملأ الماصة بـ Carnoy (متثبت) المحضر مسبقاً جيداً وبارداً، عن طريق إضافته لجدار الأنوب.
- b- يترك محلول يستقر لمدة 30 ثانية تقريراً، بعد ذلك يسحب ببطء.
- c- ينبعذ بجهاز الطرد المركزي قبل ذلك.
- 10- يزال كل الراسح باستعمال الماصة ، بدون بعثرة بقعة الخلايا.
- 11- يتم إعادة الخطوة 9 ،مرتين قبل الانتقال للخطوة 12.

- 12- تعلق الخلايا بحولي (1مل) من المثبت.
- 13- وهذا يتضمن:-
- a- يتم وضع اثنين من الشرائح المجهرية على حافة المنضدة.
 - b- يجب التأكد من عدم وجود أوراق أو مواد مشتعلة قرب الشرائح.
- 14- يتم تقطير (2-4 قطرة) لكل شريحة
- a- ضع الشرائح المجهرية بشكل عمودي على ورق تجفيف ليتحرك السائل خارجاً لا يتم مسح الشرائح باليد.
 - b- تترك الشرائح تجف بالهواء.
- 15- يتم صبغ الشرائح إذ توضع في حامل داخل علبة التصبيغ الحاوية على محلول صبغة كمزا (10 دقيقة)(%)
- 16- يتم فحص الشرائح تحت العدسة الزيتية (Tolliver & Robbins, 1991). إذ يتم فحص 1000 خلية وتحسب الخلايا المنقسمة والخلايا غير المنقسمة ويحسب معامل الانقسام حسب المعادلة الآتية
- $$\text{معامل الانقسام} = \frac{\text{عدد الخلايا المنقسمة}}{\text{العدد الكلي للخلايا}} \times 100$$

8-3: التحليل الاحصائي Statistical Analysis

تم استخدام تحليل التباين الثنائي LSD Tow-way analysis Variance واختبار (Least significance differences) عند مستوى معنوية ($p \leq 0.05$) الفرق المعنوي الاصغر لبيان دلالة الفروق بين الاوساط الحسابية لمتغيرات البحث المدروس علما ان جميع التحليلات الاحصائية قد تمت باستخدام البرنامج الاحصائي الجاهز SPSS.V.25 (العقيلي والشایب ، 1998) (Package for Social Sciences).

النتائج

Results

4-1-1: تأثير اشعة الهاتف محمول على مستوى المانولديهيد (MDA) في مصل الدم

اظهرت نتائج الدراسة الحالية جدول (1-4) ارتفاعاً معنوياً ($P \leq 0.05$) في مستوى MDA في مصل الدم للمجاميع المعرضة لأشعة الهاتف محمول T_{1,T2,T3} للفترة الزمنية

(6-3-2) اشهر لمدة (8-4-2) ساعه على التوالي مقارنة مع مجموعة السيطرة وكانت اعلى نسبة تأثير في المجموعة T الفترة 6 اشهر ولمدة (8-4-2) ساعه .

جدول (1-4) تأثير اشعة الهاتف محمول على مستوى المانولديهيد (MDA) ($\mu\text{mol/L}$) في مصل دم ذكور الجرذ الايبير

LSD	القيمة	الفترة	المجاميع	
			الزمن	الساعات
1.42	2.27 ± 0.63	السيطرة	T1	ساعتان
	4.00 ± 1.36	شهرين		
	4.31 ± 1.32	ثلاثة اشهر		
	5.66 ± 1.05	ستة اشهر		
0.79	4.06 ± 1.61	Total	T2	اربع ساعات
1.58	1.49 ± 1.22	السيطرة		
	6.01 ± 1.55	شهرين		
	7.17 ± 1.13	ثلاثة اشهر		
	9.30 ± 1.05	ستة اشهر		
0.79	6.10 ± 2.98	Total	T3	ثمان ساعات
1.71	2.23 ± 1.48	السيطرة		
	10.74 ± 1.00	شهرين		
	14.46 ± 1.40	ثلاثة اشهر		
	17.68 ± 1.46	ستة اشهر		
0.79	11.28 ± 6.05	Total	Total	
N.S	2.14 ± 1.09	السيطرة		
1.67	6.92 ± 3.17	شهرين		
1.63	8.64 ± 4.58	ثلاثة اشهر		
1.52	10.88 ± 5.33	ستة اشهر		
	N.S	LSD		

تمثل القيم المعدل ± الانحراف المعياري

T₁= تمثل مجموعة حيوانات المعرضة لأشعة الهاتف محمول لمدة شهرين

T₂= تمثل مجموعة الجرذان المعرضة لأشعة الهاتف محمول لمدة ثلاثة اشهر .

T₃= تمثل مجموعة الجرذان المعرضة لأشعة الهاتف محمول ستة اشهر .

4-2 : تأثير اشعة الهاتف المحمول على مستوى اوكسيد النتریک (NO) في مصل الدم

اظهرت نتائج الدراسة الحالية جدول (4-2) ارتفاعاً معنوياً $P \leq 0.05$ في مستوى اوكسيد النتریک NO في مصل الدم للمجاميع T3, T2, T1 المعرضة لأشعة الهاتف المحمول في الفترة الزمنية (2-6) شهر مقارنة مع مجموعة السيطرة و لمدة (2-8) ساعه على التوالي وكانت أعلى نسبة تأثير للمجموعة الأخيرة T3 في الفترة 6 شهر ولمدة (2-8) ساعه.

جدول (4-2) : تأثير اشعة الهاتف المحمول على مستوى اوكسيد النتریک NO ($\mu\text{mol/L}$) في مصل دم ذكور الجرذ الابيض

LSD	القيم	الفترة	المجاميع الزمن
3.36	9.07±0.54	السيطرة	T1 ساعتان
	23.22±3.11	شهرين	
	32.23±2.67	ثلاثة أشهر	
	39.17 ±3.33	ستة أشهر	
2.99	25.92±11.80	Total	T2 اربع ساعات
5.13	8.67±0.41	السيطرة	
	50.75±3.34	شهرين	
	60.94±3.71	ثلاثة أشهر	
	77.87±6.39	ستة أشهر	
2.99	49.5±26.44	Total	T3 ثمان ساعات
8.33	8.69±0.45	السيطرة	
	86.98±4.28	شهرين	
	98.09±8.23	ثلاثة أشهر	
	112.18±9.33	ستة أشهر	
2.99	76.49±41.63	Total	Total
N.S	8.81±0.47	السيطرة	
4.56	53.65±27.23	شهرين	
6.88	63.75±28.36	ثلاثة أشهر	
8.61	76.40±31.51	ستة أشهر	
	3.38	LSD	

تمثل القيم المعدل \pm الانحراف المعياري

T1 = تمثل مجموعة حيوانات المعرضة لأشعة الهاتف المحمول لمدة شهرين

T2 = تمثل مجموعة الجرذان المعرضة لأشعة الهاتف المحمول لمدة ثلاثة أشهر .

T3 = تمثل مجموعة الجرذان المعرضة لأشعة الهاتف المحمول ستة أشهر .

4-3: تأثير اشعة الهاتف المحمول على مستوى الكلوتاثيون GSH في مصل الدم

اظهرت نتائج الدراسة الحالية جدول (3-4) انخفاضاً معنوياً ($P \leq 0.05$) للمجاميع اعتماداً على مدة التعرض لأشعة الهاتف المحمول في الفترات الزمنية (T1,T2,T3) اشهر لمرة 8-4-8 ساعه على التوالي مقارنة مع مجموعة السيطرة وكانت أعلى نسبة تأثير لمجموعة (2) الاخيرة T3 في الفترة 6 اشهر ولمدة (8-4-2) ساعه.

الجدول (3-4) تأثير اشعة الهاتف المحمول على مستوى الكلوتاثيون GSH (μ mol / L) في مصل دم ذكور الجرذ الابيض

LSD	القيمة	الفترة	المجاميع الزمن
N.S	3.67±0.48	السيطرة	T1 ساعتان
	3.20±0.26	شهرين	
	3.34±0.43	ثلاثة اشهر	
	3.10±0.68	ستة اشهر	
0.28	3.33±0.50	Total	
N.S	3.51±0.49	السيطرة	T2 اربع ساعات
	3.1±0.27	شهرين	
	2.87±0.75	ثلاثة اشهر	
	2.56±0.43	ستة اشهر	
0.28	2.97±0.59	Total	
0.41	3.46±0.25	السيطرة	T3 ثمان ساعات
	2.27±0.17	شهرين	
	1.90±0.50	ثلاثة اشهر	
	1.43±0.28	ستة اشهر	
0.28	2.27±0.83	Total	
N.S	3.55±0.40	السيطرة	Total
0.3	2.83±0.47	شهرين	
0.73	2.68±0.82	ثلاثة اشهر	
0.62	2.37±0.85	ستة اشهر	
		Total	

تمثل القيم المعدل ± الانحراف المعياري

T1= تمثل مجموعة حيوانات المعرضة لأشعة الهاتف المحمول لمدة شهرين

T2= تمثل مجموعة الجرذان المعرضة لأشعة الهاتف المحمول لمدة ثلاثة اشهر .

T3= تمثل مجموعة الجرذان المعرضة لأشعة الهاتف المحمول ستة اشهر .

4-4: تأثير اشعة الهاتف المحمول على مستوى إنزيم الكاتاليز (CAT) في مصل الدم

اظهرت نتائج الدراسة الحالية جدول (4-4) انخفاضاً معنوياً ($P \leq 0.05$) في مصل الدم للمجاميع T3, T2, T1 المعرضة لأشعة الهاتف المحمول في الفترات الزمنية (6-3-2) شهر لمندة (8-4-2) ساعه على التوالي مقارنة مع مجموعة السيطرة وكانت أعلى نسبة تأثير في المجموعة الأخيرة T3 للفترة (6) شهر ولمدة (8-4-2) ساعه

الجدول (4-4) تأثير اشعة الهاتف المحمول على مستوى الكاتاليز CAT (KU /ml) في مصل دم ذكور الجرذ الأبيض

LSD	القيمة	العينة	المجاميع الزمن
0.49	0.71±0.47	السيطرة	T1 ساعتان
	0.93±0.60	شهرين	
	0.89±0.10	ثلاثة أشهر	
	0.87±0.05	ستة أشهر	
0.20	0.85±0.36	Total	
0.33	0.98±0.50	السيطرة	T2 اربع ساعات
	0.80±0.10	شهرين	
	0.79±0.07	ثلاثة أشهر	
	0.62±0.06	ستة أشهر	
0.20	0.80±0.27	Total	
0.34	0.48±0.43	السيطرة	T3 ثمان ساعات
	0.52±0.08	شهرين	
	0.37±0.06	ثلاثة أشهر	
	0.37±0.30	ستة أشهر	
0.20	0.44±0.25	Total	
N.S	0.72±0.48	السيطرة	Total
N.S	0.75±0.37	شهرين	
0.099	0.68±0.24	ثلاثة أشهر	
0.23	0.62±0.27	ستة أشهر	
N.S		LSD	

تمثل القيم المعدل ± الانحراف المعياري

T1 = تمثل مجموعة حيوانات المعرضة لأشعة الهاتف المحمول لمدة شهرين

T2 = تمثل مجموعة الجرذان المعرضة لأشعة الهاتف المحمول لمدة ثلاثة أشهر .

T3 = تمثل مجموعة الجرذان المعرضة لأشعة الهاتف المحمول ستة أشهر .

4-5: تأثير اشعة الهاتف المحمول على مستوى السوبر اوكسيد ديسميوتيز SOD في مصل الدم

اظهرت نتائج الدراسة الحالية جدول (4-5) انخفاضاً معنوياً ($P \leq 0.05$) في مصل الدم في المجاميع المعرضة لأشعة الهاتف المحمول T1,T2,T3 في الفترات الزمنية (6-3-2) اشهر لمدة (8-4-2) ساعه على التوالي مقارنة مع مجموعة السيطرة وكانت أعلى نسبة تأثير في المجموعة الأخيرة 3 للفترة (6) اشهر ولمدة (8-4-2) ساعه .

الجدول (4-5) تأثير اشعة الهاتف المحمول على مستوى السوبر اوكسيد ديسميوتيز SOD (U / ML) في مصل دم ذكور الجرذ الابيض

LSD	القيمة	العينة	المجموع الزمن
0.42	1.49±0.44	السيطرة	T1 ساعتان
	0.82±0.38	شهرين	
	0.87±0.26	ثلاثة اشهر	
	0.83±0.16	ستة اشهر	
	1.00±0.42	Total	
0.30	1.47±0.46	السيطرة	T2 اربع ساعات
	0.82±0.07	شهرين	
	0.75±0.07	ثلاثة اشهر	
	0.67±0.07	ستة اشهر	
	0.90±0.36	Total	
0.27	1.86±0.41	السيطرة	T3 ثمان ساعات
	0.71±0.09	شهرين	
	0.60±0.04	ثلاثة اشهر	
	0.52±0.08	ستة اشهر	
	0.88±0.52	Total	
N.S	1.51±0.43	السيطرة	Total
N.S	0.78±0.22	شهرين	
0.198	0.74±0.18	ثلاثة اشهر	
0.14	0.68±0.17	ستة اشهر	
	0.19	LSD	

تمثل القيم المعدل ± الانحراف المعياري

T1 = تمثل مجموعة حيوانات المعرضة لأشعة الهاتف المحمول لمدة شهرين

T2 = تمثل مجموعة الجرذان المعرضة لأشعة الهاتف المحمول لمدة ثلاثة اشهر .

T3 = تمثل مجموعة الجرذان المعرضة لأشعة الهاتف المحمول ستة اشهر .

4-6 : تأثير اشعة الهاتف المحمول على تحطم DNA باستخدام طريقة المذنب

اظهرت نتائج الدراسة الحالية جدول (6-4) ارتفاعاً معنوياً ($P \leq 0.05$) في تحطم الحامض النووي في خلايا الدم البيضاء lymphocyte مقارنة مع مجموعة السيطرة السليمة للمجاميع المعرضة لأشعة الهاتف المحمول T3,T2,T1 لفترات زمنية (6-3-2) أشهر ولمدة (8-4-2) ساعة على التوالي مقارنة مع مجموعة السيطرة وكانت أعلى نسبة تأثير في المجموعة الأخيرة T3 بفترة (6) أشهر ولمدة (8-4-2) ساعة على التوالي .

(6-4) تأثير اشعة الهاتف المحمول باستخدام تقنية المذنب على تحطم Tail DNA

المجاميع الوقت	(%) Tail DNA (mean \pm SD)			LSD	P-value
	شهرين	ثلاثة أشهر	ستة أشهر		
السيطرة	A,a 1.44 ± 0.031	A,a 1.44 ± 0.031	A,a 1.44 ± 0.031		
T1 ساعتان	B,a 15.58 ± 2.17	B,a 15.94 ± 2.82	B,b 18.44 ± 1.96	2.16	0.0058 Sig.
T2 اربع ساعات	B,a 17.37 ± 3.05	C,a 18.37 ± 1.95	C,b 24.33 ± 2.50	3.47	0.0073 Sig.
T3 ثمان ساعات	C,a 29.41 ± 4.29	D,ab 33.41 ± 4.16	D,b 36.49 ± 5.02	4.59	0.0047 Sig.
LSD	3.68	2.15	3.63		
P-value	0.0106 Sig.	0.0090 Sig.	0.0064 Sig.		

تمثل القيم المعدل \pm الانحراف المعياري

T1= تمثل مجموعة حيوانات المعرضة لأشعة الهاتف المحمول لمدة شهرين

T2= تمثل مجموعة الجرذان المعرضة لأشعة الهاتف المحمول لمدة ثلاثة أشهر .

T3= تمثل مجموعة الجرذان المعرضة لأشعة الهاتف المحمول ستة أشهر .

4-7: تأثير اشعة الهاتف المحمول على طول ذيل المذنب (Tail length) للـ DNA

بيّنت نتائج الدراسة الحالية جدول (4-7) ارتفاعاً معنوياً ($P \leq 0.05$) في طول المذنب للحامض النووي في خلايا الدم البيضاء lymphocyte للمجاميع T1,T2,T3 في الفترات الزمنية (6-3-2) شهر لمندة (8-4-2) ساعه على التوالي في المجاميع المعرضة لأشعة الهاتف المحمول مقارنة مع مجموعة السيطرة وكانت أعلى نسبة تأثير في المجموعة الأخيرة T 3 بفترة (6) شهر ولمندة (8-4-2) ساعه على التوالي .

الجدول (4-7) تأثير اشعة الهاتف المحمول على طول المذنب للـ DNA في ذكور الجرذ الإبisch

المجاميع الوقت	Tail length(px) (mean \pm SD)			LSD	P-value
	شهرين	ثلاثة أشهر	ستة أشهر		
السيطرة	A,a 0.844 ± 0.026	A,a 0.844 ± 0.026	A,a 0.844 ± 0.026		
T1 ساعتان	B,a 32.75 ± 4.62	B,a 34.51 ± 5.07	B,b 45.26 ± 4.73	4.37	0.0083 Sig.
T2 اربع ساعات	C,a 51.36 ± 6.41	C,a 54.52 ± 6.68	C,b 62.54 ± 7.55	5.04	0.0095 Sig.
T3 ثمان ساعات	D,a 68.44 ± 7.05	D,b 74.36 ± 9.05	D,c 89.44 ± 10.72	4.71	0.0104 Sig.
LSD	6.15	5.92	8.44		
P-value	0.0073 Sig.	0.0038 Sig.	0.0061 Sig.		

تمثيل القيم المعدل \pm الانحراف المعياري

T1= تمثل مجموعة حيوانات المعرضة لأشعة الهاتف المحمول لمدة شهرين

T2= تمثل مجموعة الجرذان المعرضة لأشعة الهاتف المحمول لمدة ثلاثة أشهر .

T3= تمثل مجموعة الجرذان المعرضة لأشعة الهاتف المحمول ستة أشهر .

4-8: تأثير اشعة الهاتف المحمول على DNA لل Tail mean moment

اظهرت نتائج الدراسة الحالية جدول (8-4) ارتفاعاً معنوياً ($P \leq 0.05$) في متوسط ظهور الذنب للحامض النووي في خلايا الدم البيضاء lymphocyte للمجاميع 1,T 2,T 3 في الفترة الزمنية (6-3-2) أشهر لمدة (8-4-2) ساعة على التوالي في المجاميع المعرضة لأشعة الهاتف المحمول مقارنة مع مجموعة السيطرة وكانت أعلى نسبة تأثير في المجموعة الأخيرة T3 بفترة (6) أشهر ولمدة (8-4-2) ساعة على التوالي.

(8-4) الجدول تأثير اشعة الهاتف المحمول على DNA لل Tail mean moment لذكور الجرذ

الابيض

المجاميع الوقت	Tail mean moment (mean \pm SD)			LSD	P-value
	شهران	ثلاثة أشهر	ستة أشهر		
السيطرة	A,a 0.048 \pm 0.006	A,a 0.048 \pm 0.006	A,a 0.048 \pm 0.006		
T1 ساعتان	B,a 2.074 \pm 0.032	B,a 2.14 \pm 0.81	B,a 2.29 \pm 0.068	2.16	0.311 Non Sig.
T2 اربع ساعات	C,a 4.61 \pm 1.94	C,b 6.38 \pm 1.73	C,b 7.033 \pm 2.104	3.47	0.0061 Sig.
T3 ثمان ساعات	D,a 8.218 \pm 2.18	D,a 9.437 \pm 2.16	D,b 12.25 \pm 3.27	4.59	0.0019 Sig.
LSD	1.53	1.72	1.74		
P-value	0.0094 Sig.	0.0085 Sig.	0.0052 Sig.		

تمثل القيم المعدل \pm الانحراف المعياري

T1 = تمثل مجموعة حيوانات المعرضة لأشعة الهاتف المحمول لمدة شهرين

T2 = تمثل مجموعة الجرذان المعرضة لأشعة الهاتف المحمول لمدة ثلاثة أشهر .

T3 = تمثل مجموعة الجرذان المعرضة لأشعة الهاتف المحمول ستة أشهر .

جدول (9-4) طبيعي غير متحطم DNA

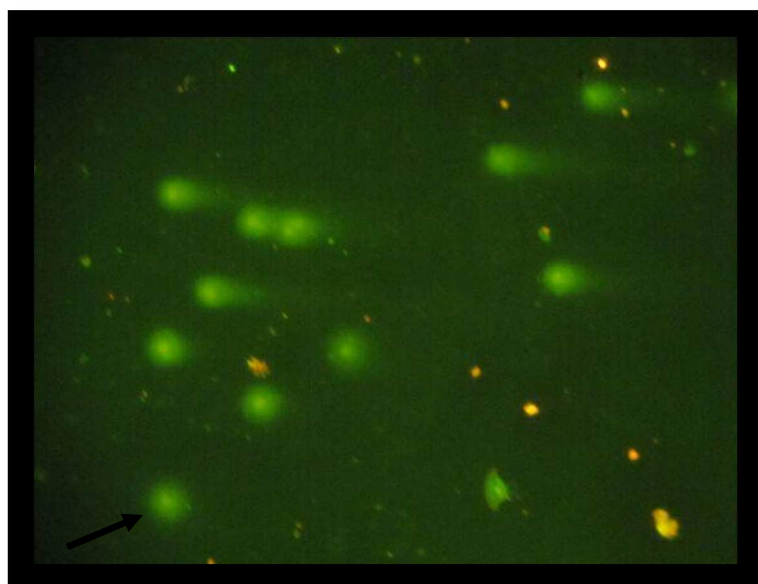
المجاميع الوقت	No damage % (mean+SD)			LSD	P-value
	شهران	ثلاثة اشهر	ستة اشهر		
السيطرة	A,a 48.197 _± 6.765	A,a 48.197 _± 6.765	A,a 48.197 _± 6.765		
T1 ساعتان	B,a 42.302 _± 4.555	B,a 41.929 _± 5.053	B,a 39.787 _± 3.619	2.84	0.371 Non Sig.
T2 اربع ساعات	C,a 27.529 _± 3.057	C,b 21.763 _± 3.530	B,b 21.963 _± 2.963	3.46	0.0148 Sig.
T3 ثمان ساعات	C,a 29.063 _± 3.746	C,ab 26.638 _± 2.213	B,b 24.914 _± 2.576	3.58	0.0106 Sig.
LSD	5.337	6.528	5.039		
P-value	0.0031 Sign.	0.0027 Sign.	0.0076 Sign.		

تمثل القيم المعدل \pm الانحراف المعياري

=T1 تمثل مجموعة حيوانات المعرضة لأشعة الهاتف المحمول لمدة شهرين

=T2 تمثل مجموعة الجرذان المعرضة لأشعة الهاتف المحمول لمدة ثلاثة اشهر .

=T3 تمثل مجموعة الجرذان المعرضة لأشعة الهاتف المحمول ستة اشهر .



صورة (4-1) تبين طبيعي غير متحطم DNA

جدول (4-10) تحطم قليل في DNA

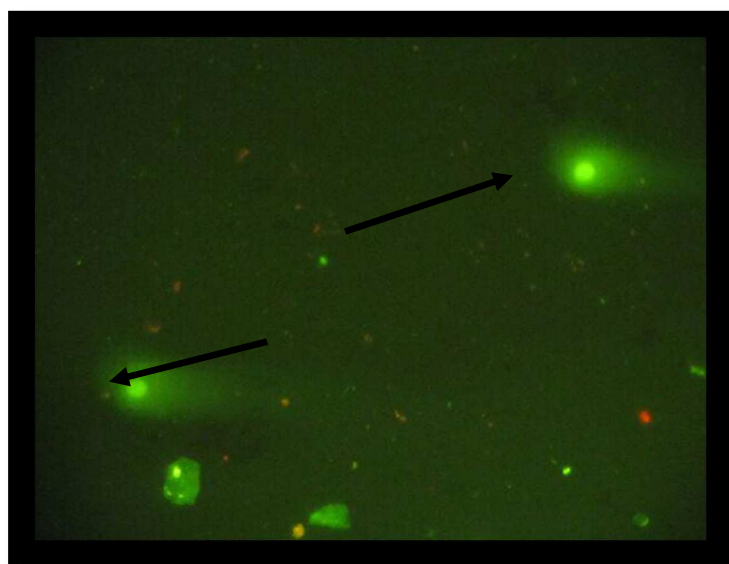
الوقت المجاميع	Low damage % (mean \pm SD)			LSD	P-value
	شهرين	ثلاثة اشهر	ستة اشهر		
السيطرة	A,a 33.717 ± 5.047	A,a 33.717 ± 5.047	A,a 33.717 ± 5.047		
T1 ساعتان	A,a 32.773 ± 4.235	A,a 31.483 ± 3.095	A,a 30.500 ± 4.030	2.87	0.285 Non Sig.
T2 اربع ساعات	B,ab 16.377 ± 2.205	B,a 18.117 ± 2.995	B,b 14.360 ± 1.360	2.66	0.0095 Sig.
T3 ثمان ساعات	B,a 17.590 ± 1.430	B,a 18.300 ± 1.680	B,a 19.103 ± 2.475	3.06	0.318 Non Sig.
LSD	3.940	4.366	5.327		
P-value	0.0062	0.0081	0..0075		

تمثل القيم المعدل \pm الانحراف المعياري

T1= تمثل مجموعة حيوانات المعرضة لأشعة الهاتف المحمول لمدة شهرين

T2= تمثل مجموعة الجرذان المعرضة لأشعة الهاتف المحمول لمدة ثلاثة اشهر .

T3= تمثل مجموعة الجرذان المعرضة لأشعة الهاتف المحمول ستة اشهر .



صورة (4-2) تبين تحطم قليل في DNA

جدول (11-4) تحطم متوسط في DNA

المجاميع الوقت	Medium damage % (mean \pm SD)			LSD	P-value
	شهرين	ثلاثة اشهر	ستة اشهر		
السيطرة	A,a 8.855 ± 0.565	A,a 8.855 ± 0.565	A,a 8.855 ± 0.565		
T1 ساعتان	B,a 12.660 ± 0.039	B,a 13.148 ± 0.010	B,a 14.656 ± 1.375	2.90	0.257 Non Sig.
T2 اربع ساعات	C,a 29.183 ± 1.161	C,a 30.626 ± 1.858	C,a 29.804 ± 2.196	3.11	0.408 Non Sig.
T3 ثمان ساعات	D,a 20.092 ± 0.395	D,a 20.807 ± 0.437	D,a 19.837 ± 0.261	3.07	0.396 Non Sig.
LSD	2.56	3.35	3.28		
P-value	0.0088 Sig.	0.0095 Sig.	0.0117 Sig.		

تمثل القيم المعدل \pm الانحراف المعياري

T1= تمثل مجموعة حيوانات المعرضة لأشعة الهاتف محمول لمدة شهرين

T2= تمثل مجموعة الجرذان المعرضة لأشعة الهاتف محمول لمدة ثلاثة اشهر .

T3= تمثل مجموعة الجرذان المعرضة لأشعة الهاتف محمول ستة اشهر .



صورة (3-4) تبين تحطم متوسط في DNA

جدول (12-4) تحطم عالي في DNA

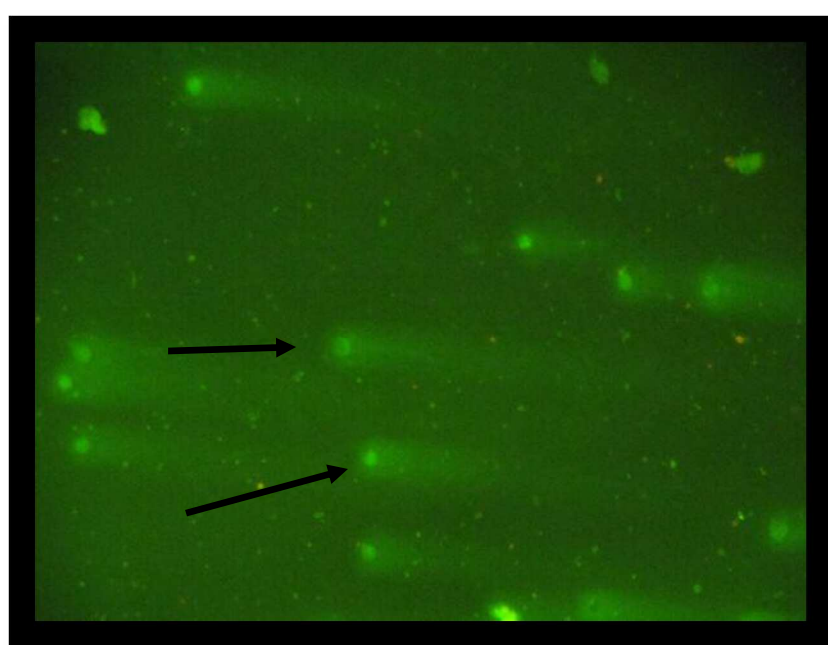
المجاميع الوقت	High damage % (mean±SD)			LSD	P-value
	شهرين	ثلاثة اشهر	ستة اشهر		
السيطرة	A,a 9.231±1.885	A,a 9.231±1.885	A,a 9.231±1.885		
T1 ساعتان	B,a 12.263±0.358	B,ab 13.440±1.160	B,b 15.055±0.212	2.74	0.0173 Sig.
T2 اربع ساعات	C,a 26.910±0.013	C,ab 29.497±3.385	C,b 33.871±0.129	3.85	0.0096 Sig.
T3 ثمان ساعات	C,a 33.252±0.081	D,ab 34.260±0.460	C,b 36.146±0.362	2.16	0.0089 Sig.
LSD	2.71	3.05	4.12		
P-value	0.0096 Sign.	0.0122 Sign.	0.0085 Sign.		

تمثل القيم المعدل ± الانحراف المعياري

T1= تمثل مجموعة حيوانات المعرضة لأشعة الهاتف المحمول لمدة شهرين

T2= تمثل مجموعة الجرذان المعرضة لأشعة الهاتف المحمول لمدة ثلاثة اشهر .

T3= تمثل مجموعة الجرذان المعرضة لأشعة الهاتف المحمول ستة اشهر .



صورة (4-4) تبين تحطم عالي في DNA

9-4 : تأثير اشعة الهاتف محمول على معامل الانقسام لخلايا نقي العظم

بيّنت نتائج الدراسة الحالية في الجدول(4-13) عدم وجود فروق معنوية ($p > 0.05$) في المجموعة المعاملة 1 T للفترة الزمنية (6-3-2) ولمدة (2-4-8) ساعة مقارنة مع مجموعة السيطرة بينما اظهرت المجموعات (T3,T2) ارتفاعاً معنوياً ($p \leq 0.05$) لنفس الفترة مقارنة مع مجموعة السيطرة.

جدول (13-4): تأثير اشعة الهاتف محمول على معامل الانقسام لخلايا نقي العظم لذكور الجرذ الايبير

المجاميع الوقت	Mitotic Index % (mean \pm SD)			LSD	P-value
	شهرين	ثلاثة أشهر	ستة أشهر		
السيطرة	A,a 4.933 \pm 0.290	A,a 4.933 \pm 0.290	A,a 4.933 \pm 0.290		
T1 ساعتان	A,a 4.150 \pm 0.130	A,a 4.020 \pm 0.270	A,a 3.915 \pm 0.145	1.74	0.285 Non Sign.
T2 اربع ساعات	B,a 2.390 \pm 0.080	B,a 2.425 \pm 0.165	B,a 2.135 \pm 0.025	1.59	0.193 Non Sign.
T3 ثمان ساعات	B,a 1.295 \pm 0.025	B,a 1.270 \pm 0.030	B,a 1.140 \pm 0.020	2.08	0.318 Non Sign.
LSD	1.21	1.38	1.25		
P-value	0.0089 Sign.	0.0093 Sign.	0.0076 Sign.		

تمثل القيم المعدل \pm الانحراف المعياري

T1= تمثل مجموعة حيوانات المعرضة لأشعة الهاتف محمول لمدة شهرين

T2= تمثل مجموعة الجرذان المعرضة لأشعة الهاتف محمول لمدة ثلاثة أشهر .

T3= تمثل مجموعة الجرذان المعرضة لأشعة الهاتف محمول ستة أشهر .

4-10: تأثير اشعة الهاتف المحمول على التشوّهات الكروموسومية

أدت معاملة الجرذان باشعة الهاتف المحمول إلى حدوث تشوّهات كروموسومية في خلايا نقي العظم تمثلت في كسور كروموسومية و كروموسومات متكسرة وكروموسومات حلقة وكروموسومات ثنائية المركز وكروموسومات عديمة المركز وكروموسومات مخدوفة. حيث يبيّن الجداول (14-4) ، (15-4) ، (16-4) ، (17-4)، (18-4) على التوالي تغيير في النسب المئوية في معدل التشوّهات الكروموسومية لخلايا نقي العظم في الجرذان المعروضة لأشعة الهاتف المحمول حيث أظهرت حدوث ارتفاع معنوي ($P \leq 0.05$) في نسبة الكروموسومات الحلقة والكروموسومات المخدوفة الكروموسومات المتكسرة وكروموسومات ثنائية المركز في الطور الاستوائي لخلايا نقي العظم في المجاميع المعاملة المعروضة لأشعة الهاتف المحمول T₁,T₂,T₃ على التوالي مقارنة مع مجموعة السيطرة وكانت أعلى نسبة تشوّهات للكروموسومات للمجموعة الأخيرة T₃ لفترة 6 أشهر ولمدة ثمان ساعات حيث ارتفعت نسبة التشوّهات الكروموسومية معنويًا ($P \leq 0.05$) للكروموسومات الحلقة والكروموسومات المخدوفة والمتكسرة وثنائية المركز والكروموسومات اللامركزية إذ بلغت على التوالي (0,047), (0,047), (0,119), (0,107), (0,119), (0,147), (0,122) على التوالي . كما أظهر الجدول (4-19) معدل التشوّهات الكلية للكروموسومات والتي ارتفعت معنويًا بنسبة (0,574) للمجموعة T₃ والمجموعة T₂ (0,582) على التوالي مقارنة لمجموعة السيطرة بينما لم تظهر المجموعة T₁ أي تأثير معنوي للفترة (2-3-2) أشهر ولمدة (2-8-4-2) ساعات .

**جدول (4-14) نسبة ظهور الكروموسوم الحلقي في الطور الاستوائي لخلايا نقي العظم
لذكور الجرذ الإبليس**

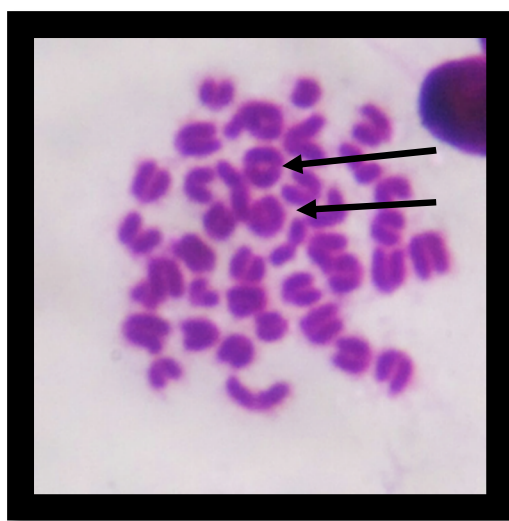
المجاميع الوقت	Ring % (mean±SD)			LSD	P-value
	شهرين	ثلاثة أشهر	ستة أشهر		
السيطرة	A,a 0.036±0.015	A,a 0.036±0.015	A,a 0.036±0.015		
T1 ساعتان	B,a 0.070±0.020	B,a 0.075±0.005	A,b 0.055±0.005	0.018	0.0115 Sign.
T2 اربع ساعات	C,a 0.255±0.035	C,b 0.160±0.020	B,b 0.125±0.015	0.067	0.0094 Sign.
T3 ثمان ساعات	D,a 0.780±0.040	D,b 0.660±0.030	C,c 0.495±0.075	0.109	0.0071 Sign.
LSD	0.032	0.029	0.047		
P-value	0.0074 Sign.	0.0106 Sign.	0.0083 Sign.		

تمثل القيم المعدل ± الانحراف المعياري

T1 = تمثل مجموعة حيوانات المعرضة لأشعة الهاتف المحمول لمدة شهرين

T2 = تمثل مجموعة الجرذان المعرضة لأشعة الهاتف المحمول لمدة ثلاثة أشهر .

T3 = تمثل مجموعة الجرذان المعرضة لأشعة الهاتف المحمول ستة أشهر .



صورة (4-5) كروموسوم حلقي في الطور الاستوائي لخلايا نقي العظم للجرذان

(قوة التكبير X100 ، صبغة كمرا)

جدول (4-15) : نسبة ظهور الحذف الكروموسومي في الطور الاستوائي لنقي العظم لذكور الجرذ الابيض

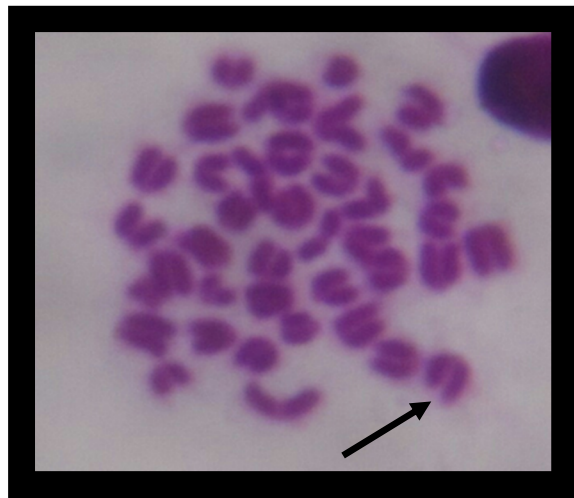
المجاميع الوقت	Deletion % (mean \pm SD)			LSD	P-value
	شهران	ثلاثة اشهر	ستة اشهر		
السيطرة	A,a 0.276 \pm 0.035	A,a 0.276 \pm 0.035	A,a 0.276 \pm 0.0351		
T1 ساعتان	AB,a 0.365 \pm 0.015	B,a 0.420 \pm 0.020	B,b 0.500 \pm 0.010	6.57	0.0017 Sign.
T2 اربع ساعات	B,a 0.590 \pm 0.040	C,ab 0.645 \pm 0.035	C,b 0.705 \pm 0.025	6.21	0.0029 Sign.
T3 ثمان ساعات	C,a 0.895 \pm 0.035	D,ab 0.930 \pm 0.040	D,b 0.965 \pm 0.005	4.63	0.0073 Sign.
LSD	0.261	0.137	0.119		
P-value	0.0058 Sign.	0.0044 Sign.	0.0081 Sign.		

تمثل القيم المعدل \pm الانحراف المعياري

=T1 تمثل مجموعة حيوانات المعرضة لأشعة الهاتف المحمول لمدة شهرين

=T2 تمثل مجموعة الجرذان المعرضة لأشعة الهاتف المحمول لمدة ثلاثة اشهر .

=T3 تمثل مجموعة الجرذان المعرضة لأشعة الهاتف المحمول ستة اشهر .



صورة (4-6) حذف في الكروموسومات في الطور الاستوائي لنقي العظم في الجرذان

(قوة التكبير X100 ، صبغة كمرا)

جدول (4-16) نسبة ظهور الكروموسومات المتكسرة في الطور الاستوائي لخلايا نقى ذكور الجرذ الابيض

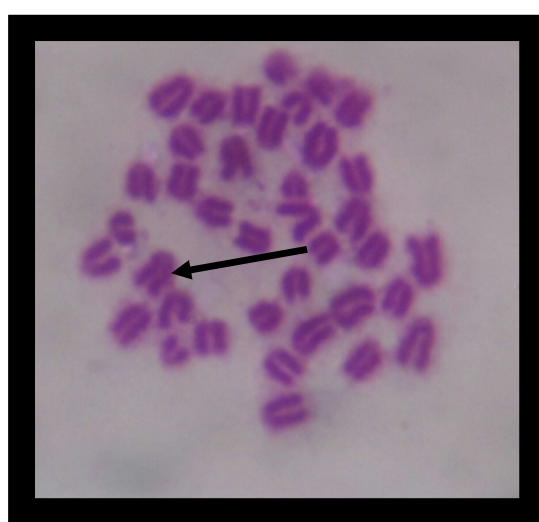
المجاميع الوقت	Chromosomal break% (mean±SD)			LSD	P-value
	شهرين	ثلاثة اشهر	ستة اشهر		
السيطرة	A,a 0.096±0.020	A,a 0.096±0.020	A,a 0.096±0.020		
T1 ساعتان	B,a 0.280±0.030	A,b 0.130±0.030	A,b 0.100±0.010	0.054	0.0084 Sign.
T2 اربع ساعات	C,a 0.500±0.010	B,b 0.425±0.035	B,b 0.395±0.015	0.047	0.0071 Sign.
T3 ثمان ساعات	D,a 0.620±0.040	C,b 0.585±0.015	C,b 0.555±0.025	0.032	0.0105 Sign.
LSD	0.049	0.077	0.107		
P-value	0.0062 Sign.	0.0120 Sign.	0.0094 Sign.		

تمثل القيم المعدل ± الانحراف المعياري

=T1 تمثل مجموعة حيوانات المعرضة لأشعة الهاتف المحمول لمدة شهرين

=T2 تمثل مجموعة الجرذان المعرضة لأشعة الهاتف المحمول لمدة ثلاثة اشهر .

=T3 تمثل مجموعة الجرذان المعرضة لأشعة الهاتف المحمول ستة اشهر .



صورة (4-7) كروموسومات متكسرة في الطور الاستوائي لخلايا نقى العظم للجرذان

(قوة التكبير 100 X، صبغة كمرا)

جدول (17-4) : نسبة ظهور الكروموسومات الثانية المركز في الطور الاستوائي لخلايا ذكور الجرذ الايبisch

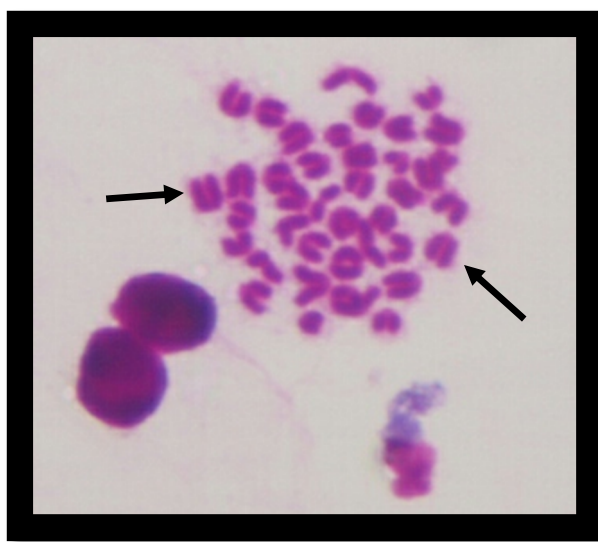
المجموع الوقت	Diecentric % (mean \pm SD)			LSD	P-value
	شهرين	ثلاثة أشهر	ستة أشهر		
السيطرة	A,a 0.216 ± 0.025	A,a 0.216 ± 0.025	A,a 0.216 ± 0.025		
T1 ساعتان	B,a 0.365 ± 0.055	B,a 0.355 ± 0.015	B,a 0.310 ± 0.020	0.024	0.096 Non Sign.
T2 اربع ساعات	C,a 0.625 ± 0.005	C,ab 0.580 ± 0.010	C,b 0.475 ± 0.015	0.057	0.0081 Sign.
T3 ثمان ساعات	D,a 0.940 ± 0.010	D,a 0.915 ± 0.045	D,b 0.785 ± 0.045	0.063	0.0073 Sign.
LSD	0.194	0.183	0.147		
P-value	0.0048 Sign.	0.0161 Sign.	0.0069 Sign.		

تمثل القيم المعدل \pm الانحراف المعياري

=T1 تمثل مجموعة حيوانات المعرضة لأشعة الهاتف محمول لمدة شهرين

=T2 تمثل مجموعة الجرذان المعرضة لأشعة الهاتف محمول لمدة ثلاثة أشهر .

=T3 تمثل مجموعة الجرذان المعرضة لأشعة الهاتف محمول ستة أشهر .



صورة (4-8) كروموسومات ثنائية المركز في الطور الاستوائي لخلايا نقي العظم للجرذان

(قوة التكبير 100 X، صبغة كمرا)

جدول(18-4) : نسبة ظهور الكروموسومات اللامركزية في الطور الاستوائي لخلايا نقى الذكور الجرد الابيض

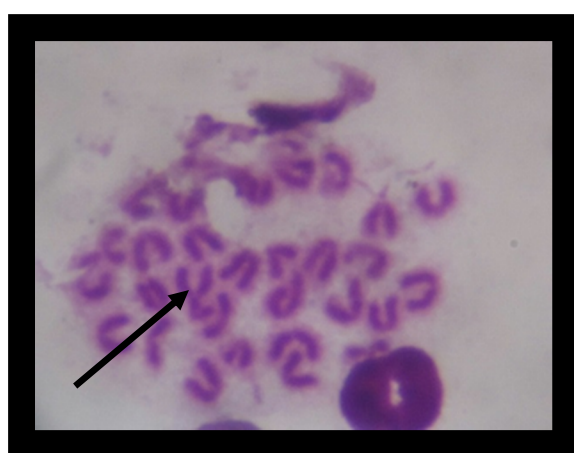
المجاميع الوقت	Acentric % (mean \pm SD)			LSD	P-value
	شهرين	ثلاثة اشهر	ستة اشهر		
السيطرة	A,a 0.256 ± 0.100	A,a 0.256 ± 0.100	A,a 0.256 ± 0.100		
T1 ساعتان	AB,a 0.320 ± 0.040	A,a 0.330 ± 0.020	A,a 0.255 ± 0.025	0.144	0.117 Non Sign.
T2 اربع ساعات	B,a 0.475 ± 0.015	A,b 0.320 ± 0.010	A,b 0.360 ± 0.020	0.067	0.0052 Sign.
T3 ثمان ساعات	C,a 0.940 ± 0.020	B,a 0.905 ± 0.025	B,b 0.800 ± 0.040	0.084	0.0056 Sign.
LSD	0.0921	0.196	0.122		
P-value	0.0073 Sign.	0.016 Sign.	0.0083 Sign.		

تمثل القيم المعدل \pm الانحراف المعياري

T1= تمثل مجموعة حيوانات المعرضة لأشعة الهاتف محمول لمدة شهرين

T2= تمثل مجموعة الجرذان المعرضة لأشعة الهاتف محمول لمدة ثلاثة اشهر .

T3= تمثل مجموعة الجرذان المعرضة لأشعة الهاتف محمول ستة اشهر .



صورة (4-9) كروموسومات لامركزية في الطور الاستوائي لخلايا نقى العظم للجرذان

(قوة التكبير 100 X، صبغة كمرا)

جدول (19-4): نسبة ظهور التشوّهات الكروموسومات الكلية لخلايا نقي العظم لذكور الجرذن الأبيض

المجموع الوقت	Total Chromosomal Aberrations (mean \pm SD)			LSD	P-value
	شهرين	ثلاثة أشهر	ستة أشهر		
السيطرة	A,a 2.270 \pm 0.137	A,a 2.270 \pm 0.137	A,a 2.270 \pm 0.137		
T1 ساعتان	B,a 1.535 \pm 0.135	B,ab 1.310 \pm 0.050	B,b 1.085 \pm 0.005	0.042	0.0119 Sign.
T2 اربع ساعات	A,a 2.560 \pm 0.010	A,a 2.130 \pm 0.030	A,a 1.945 \pm 0.035	0.095	0.0028 Sign.
T3 ثمان ساعات	C,a 4.245 \pm 0.055	C,a 3.995 \pm 0.095	C,a 3.530 \pm 0.070	0.109	0.0940 Non Sign.
LSD	0.627	0.547	0.574		
P-value	0.0090 Sign.	0.0121 Sign.	0.0048 Sign.		

تمثل القيم المعدل \pm الانحراف المعياري

T1 = تمثل مجموعة حيوانات المعرضة لأشعة الهاتف المحمول لمدة شهرين

T2 = تمثل مجموعة الجرذان المعرضة لأشعة الهاتف المحمول لمدة ثلاثة أشهر .

T3 = تمثل مجموعة الجرذان المعرضة لأشعة الهاتف المحمول ستة أشهر .

المناقشة

Discussion

1-5 : تأثير اشعة الهاتف المحمول على مستوى المالوندالديهيد (MDA) في ذكور الجرذ الابيض

بيّنت نتائج الدراسة الحالية ان التعرض الى اشعة الهاتف المحمول ادى الى ارتفاع معنوي ($P \leq 0.05$) في مستوى المالوندالديهيد MDA و جاءت هذه الدراسة متفقة مع (Nigam and Schewe, 2000). تم تحديد زيادة في مستويات المالوندالديهيد MDA ، وهو مؤشر على اكسدة الدهون إذ أن التعرض على المدى الطويل لأشعاع الهاتف المحمول بترددات 900 MHz يسبب ارتفاعاً في انواع الاوكسجين الفعالة ROS وتولد الجذور الحرة التي تلعب دوراً مهماً في رفع مستوى المؤكسدات ومنها MDA وتتفق الدراسة الحالية مع دراسات اخرى (Yurekli et al ; 2006 ; Balci, 2007) . إذ تحدث عملية اكسدة الدهون عندما تفوق قدرة انتاج الجذور الحرة على الانظمة الدفاعية المضادة للاكسدة للتخلص من نواتج هذه الجذور تتواجد نواتج الدهون المؤكسدة (Lipid peroxides) بتركيز منخفضة في انسجة الجسم في الحالة الطبيعية ، ولكن في الحالات غير الطبيعية مثل التعرض لأشعة سوف تزداد هذه النواتج بكميات كبيرة بسبب زيادة انتاج الجذور الحرة التي تعمل على حدوث تغييرات في الدهون المكونة لأغشية الخلايا (Joshi et al., 2007) . يعد MDA من اهم النواتج النهائية لاقصدة الدهن المتنسبية عن تفاعلات الجذور الحرة مع جزيئات المركبات الحيوية وتعد الحوامض الدهنية الغير مشبعة هي الاكثر تعرضاً لتفاعلات الجذور الحرة لكونها تحتوي او اصر مزدوجة تمثل الهدف الرئيسي للجذور الحرة وبالتالي تناكسد هذه الحوامض وينتج المالوندالديهيد (MDA, 2000) (Nigam and Schewe, 2000).

5 - 2: تأثير اشعة الهاتف المحمول على مستوى اوكسيد النتریک (NO) في ذكور الجرذ الابيض

بيّنت نتائج الدراسة الحالية ان التعرض الى اشعة الهاتف المحمول ادى الى ارتفاع معنوي ($P \leq 0.05$) في مستوى اوكسيد النتریک NO و جاءت هذه الدراسة متفقة مع (Moustafa et al., 2001) . ويعزى سبب الارتفاع في مستوى اوكسيد النتریک الى إن استخدام الهاتف المحمولة العاملة في نطاقات التردد (900 و 1800) MHz وبشكل واسع جداً يسبب بعض الآثار البيولوجية الضارة على صحة الانسان (Oktay and Dasdy , 2006) ، نتيجة لتشكل الجذور الحرة في بعض الانسجة (Irmak et al., 2002; Ilhan , 2004) . إذ وجد أن التعرض لأشعة الهاتف المحمول تسبب زيادة في مستويات اوكسيد النتریک NO ، والأكسدة والجذور الحرة مما أدى الى تلف أنسجة القلب والانف الناجم عن الهاتف المحمول.(Paredi et al. , 2001).

للفئران للإشعاع بتردد 900 MHz لمدة 30 دقيقة / يوم ولمدة شهرين يمكن أن تسبب الاجهاد التاكسدي في شبكة العين (Ozguner et al. 2006). إذ تعمل الاشعة الى زيادة مستوى تركيز اوكسيد النتریک Nitric oxide وذلك بسبب التفاعلات السريعة التي تحدث بين NO والایون الموجب للسوبراوکساید Superoxid لتكون البیروکسی نایتریت Peroxynitrate والذي بدوره يكون ساما او قد يحصل إمكانية تحلل البیروکسی نایتریت بسهولة وذلك لأعطاء جذور الهیدروکسیل الحرارة السامة وثنائي اوكسيد النایتروجين (Ohshima and Bartsch 1999). تعمل البیروکسی نایتریت على مهاجمة الدهون الموجودة في أغشية الخلايا والبروتينات والاحماض الامينية مسببة تحطيم ذرات الهیدروجين الموجود فيها وبالتالي يؤدي الى فقدان نفاذيتها وتلف الخلايا (Denicola and Radi , 2005).

5-تأثير اشعة الهاتف المحمول على مستوى الكلوتاثيون (GSH) في ذكور الجرذ الأبيض

اظهرت نتائج الدراسة الحالية الى ان التعرض الى اشعة الهاتف المحمول ادى الى انخفاض معنوي ($P \leq 0.05$) في مستوى الكلوتاثيون GSH وجاءت هذه الدراسة متفقة مع (Yurekli et al.,2006). يعد الكلوتاثيون من اهم مضادات الاكسدة الداخلية في الجسم عن طريق عمله كعامل مساعد للعديد من الانزيمات المسؤولة عن ازالة سمية المركبات المؤكسدة كاصناف الاوكسجين الفعالة (Kojima et al.,2002). تنتقل جزئية ال (GSH) المصنعة داخل الخلايا الى السوائل الجسمية عبر أغشية الخلايا وله دور في العديد من الفعاليات المهمة منها بناء البروتينات ويسمى في فعالية بعض الانزيمات من خلال عملة كمادة اساس او مرافق انزيمي لبعض العمليات الحيوية للخلية وحماية البروتينات التي تشتراك في بناء الحوامض النوويه التي لها دور في اصلاح المادة الوراثية (Ramadan et al ; 2001). لذا فإن انخفاض مستوى الكلوتاثيون GSH هو دليل قاطع على الاجهاد التاكسدي الحاصل بسبب الجذور الحرية التي هاجمت انسجة الجسم (Kojima , 2004). ان تعرض حيوانات التجربة الى اشعة الهاتف المحمول ادى الى انخفاض في مستوى GSH ذلك لاستنزافه في تحويل المؤكسدات الى ماء او نتيجة لضعف فعالية بعض الانزيمات وقلة انتاجها لمضادات الاكسدة (Roe et al.,2010). أو الى زيادة الضرر التاكسدي في يؤدي الى زيادة توليد الجذور الحرية ومن ثم زيادة معدل استهلاكه الذي يعد من اهم مضادات الاكسدة غير الانزيمية في ازالة الجذور الحرية ونواتجها (Koyuturk et al.,2006; Lakshmi et al.,2014; Lands et al.,1999). وقد يعزى أيضا سبب انخفاض مستوى GSH في الجسم الى حدوث نقص في المواد الاولية الضرورية لبناء اثناء الجهد التاكسدي، ومنها NADPH الناتجة عن مسار السكر خماسي الفوسفات والتي تعد المادة المحفزة لعمل

انزيم Glutathione reductase ،والذي يعمل على اعادة الشكل الفعال للكلوتاثيون من شكله غير الفعال (Dickinson *et al.*, 2003). يرافق انخفاض مستوى GSH انخفاضا في مستوى مضادات الاكسدة الاخرى بصورة عامة مثل Superoxide dismutase و Glutathione peroxidase وزيادة حساسية الخلايا للضرر التاكسدي ومن ثم حدوث اكسدة الدهون (Atalay and EL-Aaksonene; 2000; Bartosikova *et al.*, 2003; Weijl *et al.*, 2004))

4-5 : تأثير اشعة الهاتف المحمول على مستوى سوبر اوكسايد ديسميوتيز (SOD) في ذكور الجرذ الابيض.

بيّنت نتائج الدراسة الحالية ان التعرض الى اشعة الهاتف المحمول ادى الى انخفاض معنوي ($P \leq 0.05$) في مستوى السوبر اوكسايد وجاءت هذه الدراسة متفقة مع ودراسة (Koyu *et al.*,2005). يوجد هذا الانزيم في اجسام الحيوانات المختلفة وبخاصة الحيوانات الثديية وعلى ثلاثة اشكال هي SOD1 موجودة في السيتوبلازم ، SOD2 في الميتوكوندريا ، وSOD3 خارج الخلية، وكل نوع من هذه الانواع له تأثير يعد هذا ووظيفة معينة، يعد SOD من اهم الانزيمات المدروسة بسبب منعه لحدوث عدد كبير من الامراض وأشارت دراسة الشافعي (2014) الى ان هذا الانزيم يمنع تليف الثدي المعرض للأشعاع فضلاً الى ان نقصه يسبب إصابة الكبد بالسرطان. كما يعمل هذا الانزيم على مقاومة جميع الجذور الحرة في جميع الخلايا التي تتعرض لانواع الاوكسجين الفعالة، كما يقوم بتفكيك السوبر اوكسيد الى فوق اوكسيد الهيدروجين واوكسجين اما فوق اوكسيد الهيدروجين فيستعمل لاكستدة العديد من السموم بما فيها الفينول ،الفورمالين ، والكحول (Fang *et al.*., 2002) . وأشارت دراسة الى أن انخفاض في مستويات إنزيم للفران المعرضة للأشعة الكهرومغناطيسية بتردد L- 900-MHz لمدة 30 دقيقة / يوم لمدة شهر واحد (Ozguner *et al.*,2005) . ان تعرض ادمغة الجرذان الى الاشعة الكهرومغناطيسية قد تسبب انخفاض في مستوى CAT و SOD . كما ويؤدي التعرض للأشعة الكهرومغناطيسية لمدة 50 يوماً الى حدوث الإجهاد وبالتالي انخفاض مستوى انزيم السوبر اوكسيد SOD (Ghanbari *et al.*,2016). تلعب مضادات الأكسدة دوراً كبيراً في تقليل من المخاطر المحتملة من التعرض للأشعة الكهرومغناطيسية (Moffarts *et al.*,2005; Ulubay,2015)

5-5: تأثير اشعة الهاتف المحمول على مستوى الكاتاليز (CAT) في ذكور الجرذ الابيض

اظهرت نتائج الدراسة الحالية الى ان التعرض الى اشعة الهاتف المحمول ادى الى انخفاض معنوي ($P \leq 0.05$) في مستوى انزيم الكاتاليز و جاءت هذه الدراسة متفقة مع دراسة (Balci *et al.*, 2007). يلعب انزيم الكاتاليز دورا مهما في حماية الخلايا من تأثير العديد من المواد السامة وذلك من خلال اكسستها وبالتالي تثبيط فعاليتها مثل بيروكسيد الهيدروجين H_2O_2 و الفينول ، حامض الفورميك والفورمالديهيد ، وهنالك دراسة أظهرت ان التعرض للأشعة له تأثير سلبي على فعالية بعض الانزيمات المضادات للأكسدة مثل Superoxide dismutase ,Catales , Peroxidase . مما يؤثر على العمليات الحيوية (Lanir and Schejter, 1975) . من المعروف أن المجالات الكهرومغناطيسية تؤثر على الأنظمة البيولوجية عن طريق زيادة ROS ، والتي تسبب الإجهاد التأكسدي عن طريق تغيير مستويات CAT في الأنسجة (Ozturk *et al*., 2003; Martinez *et al*, 2010 ; Devrim *et al* , 2008).

إذ لوحظ انخفاض في مستوى الكاتاليز في مجموعة الحيوانات المعرضة للأشعة الكهرومغناطيسية (Odaci *et al.*, 2015). أن التعرض للأشعة الكهرومغناطيسية أدى إلى انخفاض في مستوى مضادات الأكسدة بسبب زيادة اكسدة الدهون وتوليد الجذور الحرة (Kinnula *et al.*, 2004). قد تسبب الهاتف المحمول في إحداث أضرارا مؤكسدة في الخلية من خلال زيادة مستويات نشاط أكسيد الزيانثين والنشويات carbonyl group والحد من نشاط الكاتاليز (Sokolovic *et al*,2008).

6-5 : تأثير الهاتف المحمول على تحطم الحامض النووي DNA في ذكور الجرذ الابيض

اظهرت نتائج الدراسة الحالية ان التعرض الى اشعة الهاتف المحمول ادى الى ارتفاع معنوي ($P \leq 0.05$) في النسبة المئوية لتحلل DNA في دم ذكور الجرذ الابيض و جاءت هذه الدراسة متفقة مع (Deshmukh *et al.*,2016) . و اظهرت دراسة Keller (2014) التاثير الضار للأشعة الهاتف الخلوي على صحة الانسان إذ تسبب الاشعة المختبرقة الى تدمير الحمض النووي وأن الهاتف المحمول التي تتبعث من الحقول الكهرومغناطيسية وهي شكل آخر من الاشعة غير المؤينة في محيطنا البيئي. وقد أشارت الدراسات إلى أن التعرض للأشعة الكهرومغناطيسية يؤدي إلى تلف الحمض النووي (Vijayalaxm *et al*;2000; Zmyslony *et al*,2000); (Chow 2000) وجماعته (2000) آثار الاشعة الكهرومغناطيسية على آليات إصلاح الحمض النووي والجذور الحرة والتفاعل مع المعادن الانتقالية (مثل الحديد) وكيفية حدوث الضرر. بينت دراسة حدوث

Discussion

تلف الحمض النووي في أنواع مختلفة من الخلايا بعد التعرض إلى حرقائق مثل تردد الهاتف الخلوي (Jajte et al 2001 ; Lourencini et al., 2000) . أن مكشوف الخلايا الليفيّة البشرية والخلايا الحبيبية إذ استخدمت طريقة المذيب (Comet assay) باكتشاف الحمض النووي DNA بأنواع مختلفة ، مثل فواصل اشرطة DNA المفردة والمزدوجة ، وموقع الشوائب القلوية ، وموقع الإصلاح غير الكاملة ، والوصلات المتقطعة والإصلاح في الخلايا الفردية (Maschevich et al., 2003). وقد تم استخدام هذه الطريقة قبل من ق (Collins 2004) لتتبع عيوب DNA وتحديد كمية الحمض النووي عن طريق قياس التبادلات بين المادة الوراثية للنواة والذيل الناتج عن ذلكضرر الجينومي العالي بشكل ملحوظ في الأشخاص الأصحاء الذين لا يوجد لديهم تاريخ التعرض . وأشارت دراسة إلى وجود زيادة في مستويات الحمض النووي في المناطق القريبة من محطة الهاتف المحمول مقارنة بالمجموعة السيطرة وهذا الارتفاع بشكل ملحوظ في طول ذنب الحمض النووي الأكبر يعود إلى وجود ضرر جينومي في خلايا دم بيضاء (Fenech, 2002). أن الاختلافات في ترددات الأشعة الكهرومغناطيسية هي في جميع الاحتمالات مسؤولة عن الضرر إذ أن إشعاع الميكرويف يسبب تداخل في الحمض النووي مما أدى إلى المزيد من الشد المزدوج في اشرطة الـDNA للسمية الجينية باستمرار ، وعلى وجه الخصوص تسبب عدم استقرار الصبغيات (Maschevich et al., 2003) ، وتغيير التعبير الجيني ، والتحولات الجينية وفواصل بنية DNA (Martínez and Ruiz-Gómez, 2010). وأن طاقة الأشعة الكهرومغناطيسية غير المؤينة تكون غير كافية لكسر الروابط الكيميائية للـDNA مباشرة (Phillips et al., 2009). وتعمل الأشعة من خلال آليات التوجيه المباشر إلى إنتاج الجذور الحرة (Phillips et al., 2009). إن الجذور الحرة هي جزيئات نشطة تلعب دوراً كبيراً في تلف الخلايا إذ تؤدي الجذور الحرة إلى تأثيرات عديدة من خلال إحداث استجابات مطفرة بالاعتماد على التركيز ومدة التعرض ونوع النسيج الخلوي (Wolf et al., 2005). وأشارت دراسة إلى حدوث ارتفاعاً معنوياً في مستوى الـDNA في الخلايا اللمفاوية (El-Abd and Eltoweissy, 2012) . يلعب الإجهاد التأكسدي دوراً هاماً في تلف الحمض النووي (DNA) ، والتعبير الجيني العام والخاص وموت الخلايا المبرمج (Ozmen et al., 2007) . تعتمد تأثيرات الأشعة الكهرومغناطيسية على خصائصها مثل التردد والشدة ومدة التعرض. يتضرر الحمض النووي باستمرار نتيجة العوامل الداخلية والخارجية ثم يتم إصلاحه بواسطة إنزيمات إصلاح الحمض النووي. يمكن أن يؤدي تلف الحمض النووي أو إصلاحه الخاطئ إلى تراكم معادات الحمض النووي التي يمكن أن تؤدي في النهاية إلى تغيرات في الوظائف الخلوية أو موت الخلايا أو السرطان.

(Helleday, 2007; Schindowski ,2000) . يمكن أن يكون الضرر في شكل الأشرطة المفردة والمزدوجة . بينت دراسات التأثيرات السمية الوراثي ، وأشارت دراسات الى ان التعرض للاشعة الكهرومغناطيسية لمدة 30 و 60 يوم في المختبر باستخدام الطريقة اختبار المذنب يمكن أن يؤدي إلى تلف الحمض النووي في دماغ الفئران (Deshmukh,2013; Megha,2015). واظهرت دراسة بأن التعرض للاشعة الكهرومغناطيسية منخفض الكثافة لـ 30 يوما يؤدي الى التفاعل مع الحمض النووي واحداث تغيرات فيه (Helleday,2007) . إذ يعزز تلف الحمض النووي إلى الإجهاد التأكسدي من خلال أنواع الأكسجين الفعال (Simko,2007) . تلعب الجذور الحرة دوراً في آلية التأثيرات البيولوجية الناتجة عن الاشعة الكهرومغناطيسية (Kesari,2009) ، لذلك فان اكثرا الاحتمالات حول كيفية حدوث ضرر في DNA هو أن الحمض النووي يتضرر من الجذور الحرة التي تتكون داخل الخلايا وان الجذور الحرة تؤثر على الخلايا عن طريق إتلافها جزيئات كبيرة ، مثل DNA ، البروتين ، والغشاء الدهن . أن الاشعة الكهرومغناطيسية تعزز من نشاط الجذور الحرة في الخلايا (Lai and Singh,2004) . وخاصة عن طريق رد فعل فنتون هو عملية حفظها الحديد التي فيها بيروكسيد الهيدروجين ، وهو نتاج يتم تحويل الاوكسجين المؤكسد في الميتوكوندريا إلى الجذور الحرة الهيدروكسيل ، والتي هي قوية جدا والسامة للخلايا. (Lai, 2005; Oral,2006; Simkó,2007)

5-7: تأثير اشعة الهاتف المحمول على حدوث التشوهات الكروموسومية في خلايا نقي العظم في ذكور الجرذ الأبيض

اظهرت نتائج الدراسة الحالية حدوث ارتفاع معنوي ($p \leq 0.05$) في معدل التشوهات الكروموسومية وجاءت متفقة مع دراسة (Qing-Zeng, 2016) . اذ اظهرت عدداً كبيراً من التغيرات الوراثية الخلوية المصنفة على شكل انحرافات كروموسومية مقارنة مع مجموعة السيطرة. تستخدم التشوهات الكروموسومية من الخلايا الليمفاوية البشرية لعقود كمؤشرات حيوية وراثية في دراسة الخطر الجيني الناجم عن عوامل سمية جينية مختلفة - القيود الخارجية التي تمثل التدرجات الفيزيائية أو الكيميائية (Hagma, 1998) . اذ استخدمت وبشكل واسع الانحرافات الكروموسومية كأدلة خلوية في التحقيق من الوضع الصحي لعدد كبير من البشر(Norppa,2004) . وهذه مجموعة من أنواع الانحرافات الكروموسومية هي كبيرة إلى حد ما وتتطلب اهتماماً خاصاً وتقنيات متنوعة. إذ ان تشكيل النوى الصغيرة هو نتيجة لبعض كسر الكروموسوم والتغليف في الغشاء مثل الطلاءات مما يسهل التعرف عليها مما أدى إلى انتشار اختبار النواة الصغيرة إلى حد كبير لتقدير السمية الوراثية (Cardoso et al ,2001) . كما اظهرت دراسة الى إمكانية ان يؤدي تلف الحمض النووي الناجم عن

Discussion

الأشعة تحت الحمراء إلى تغيرات في أنماط هايموجرامات المحيط ، بما في ذلك تغير أعداد خلايا الدم البيضاء وعدد خلايا الدم الحمراء والهيموجلوبين وزيادة حدوث التشوّهات الكروموسومية (Dainiak,2002;muller,2004). من المعروف أن تراكم جرعة الإشعاع المكافحة في الأفراد يتراكم تدريجياً ويزداد مع طول فترة التعرض ، وبالتالي عدم كفاية إصلاح أضرار الحمض النووي يزيد من خطر تشوّهات الكروموسومات (Ribeiro *et al* and Angelieri *et al.*,2008) . إن جميع أنواع الإشعاع المؤين تزيد من انحرافات الكروموسومات العددية (Dahle and Kuam,2003) . إن التعرض للإشعاع أثناء الحمل أو مراحل ما قبل الحمل تزيد من التعرض للمواد المسرطنة إذ يعاني انحراف الكروموسومات أكثر المؤشرات حساسية للإشعاع (Lee *et al* .,1997.) . وقد أظهرت الدراسات أن توافر انحراف الكروموسوم ، مثل الحلقات والكروموسومات ثنائية المركز ، قد ازداد في الأشخاص المعرضين للإشعاع (Rozgaj *et al* ., 2002; Karthikeya *et al* ., 2003) . إذ تشير دراسة إلى أن عدم الاستقرار الكروموسومي المتأخر يحدث بشكل دائم بواسطة الإشعاع المؤين (Kadhim ,1995) . و تم رصد تغيرات كبيرة في انحراف الكروموسومات بجرعات منخفضة جداً ، ان تعریض تشوّه الكروموسومات عن طريق الإشعاع في الخلايا الليمفاوية في الدم يوفر قياساً حساساً لنوعية وكمية التعرض للإشعاع ، وتشوهات الكروموسومات والتي استخدمت في قياس التأثير البيولوجي في التعرض البشري للإشعاع (Mefferi,2004) . فأن معظم الانحرافات لكتلة المجموعتين كانت ثنائية المركز dicentrics وacentrics وكروموسومات حلقة ring chromosomes ، وهو ما يتفق مع ملاحظات الآخرين إذ كانت معدل التشوّهات الكروموسومية والانحرافات الكلية أعلى بشكل ملحوظ في العمال الذين تعرضوا لفترات من الزمن للإشعاع مستوى التعرض الإشعاعي المهني لفترات قصيرة نسبياً من الزمن ليس لها تأثير كبير على تكرارات انحراف الكروموسومات الليمفاوية إذ توضح هذه البيانات فائدة انحراف الكروموسوم كمؤشر بيولوجي للجرعة والتلف الخلوي ، وهو حساس لمدة التعرض للإشعاع في الحقل (Norman,1984).

الاستنتاجات

توصلت نتائج الدراسة الحالية الى ان التعرض المزمن لأشعة الهاتف محمول لفترات زمنية تتراوح بين (2-3-6) اشهر لفترة (2-4-8) ساعات أدى فسليجا ووراثيا الى :

- 1- زيادة اكسدة الدهون (Lipid peroxidation) وبالتالي زيادة الجهد التأكسدي المسبب لزيادة مستوى كل من المالونيلديهايد (MDA) واوكسيد النتریک (NO)، وانخفاض مستوى كل من الكلوتاپيون (GSH) والسوبر اوکسید دیمیوتیز (SOD) والکاتالیز (CAT).
- 2- ادى التعرض لأشعة الهاتف محمول الى تأثيرات وراثية خلوية متمثلة بالتشوهات الكروموسومية عند استخدامه لفترات طويلة.
- 3- طول فترة الاستخدام للهاتف محمول في حياتنا اليومية سوف تزيد من نسبة ضرر الحمض النووي DNA.

التصنيفات

ومن خلال معرفة نتائج الدراسة الحالية يمكن التوصل إلى :

- 1- التقليل من عدد ساعات استخدام الأجهزة التي تبعث منها الأشعة الكهرومغناطيسية وخاصة الهاتف المحمول .
- 2- اتباع ارشادات استخدام الأجهزة التي تبعث منها الأشعة الكهرومغناطيسية (الثلاجات ، أجهزة الكمبيوتر ، شاشات التلفاز وغيرها)
- 3- الابتعاد قدر الامكان عن محطات الهاتف المحمول وعدم السكن بالقرب منها .
- 4- القيام بفحوصات دورية للتأكد من سلامة الشخص من التعرض او التاثير بالأشعة من خلال مراجعة المراكز المتخصصة بذلك .
- 5- الاهتمام بالنظام الغذائي والحرص على تناول الفيتامينات ومن ضمنها فيتامين C الذي يعتبر من اهم الفيتامينات المضادة للاكسدة .
- 6- اجراء دراسات جزئية لمعرفة التأثير المباشر لأشعة الهاتف المحمول على العين ، السمع ، اللمس ومستوى الادراك والتفكير .
- 7- اجراء دراسة حول تأثير المباشر لأشعة الهاتف المحمول على المعايير الفسلجية والكيموحيوية وبعض الهرمونات والانزيمات .
- 8- دراسة تأثير الأشعة الكهرومغناطيسية لفترات زمنية مختلفة على انسجة أعضاء الجسم للحيوانات المختبرية (كالدماغ والكلى والكبد والطحال) .
- 9- اجراء دراسة تأثير الأشعة الكهرومغناطيسية على الجهاز الهضمي والجهاز التنفسى والحلق الشوكي وبعض الغدد كالغدة النخامية والدرقية والكظرية واجراء مقارنة بين العمر والجنس على نسبة الإصابة نتيجة التعرض لأشعة .
- 10- اجراء دراسة جنينية نسجية لتأثير الأشعة على الاجنة والمشيمة.

المصادر References

المصادر العربية

- خليل ، احمد محمد . (1990) . الاشعاع المؤين خصائصه واستخداماته وتأثيراته الحيوية . الطبعة الاولى . منشورات جامعة اليرموك – المملكة الاردنية الهاشمية .
- العقيلي ، صالح رشيد والشاي卜 ، محمد سامر (1998) . استخدام البرنامج الاحصائي SPSS مطبوعات الجامعة . دار الشرق للطباعة : 358
- الهيتي ، قاسم امين (2007) . التاثير الباليوجي والوقاية من الاشعة السينية . كلية العلوم.جامعة بغداد .
- الشافعي ، درويش مصطفى (2012) . مضادات الاكسدة . جامعة اليرموك . الاردن .

المصادر References

المصادر الانكليزية

- Abdel-Rassoul, G.; El-Fateh , O. A.; Salem, M. A.; Michael, A.; Farahat F.; El-Batanouny, M. and Salem, E .(2007).** Neurobehavioral effects among inhabitants around mobile phone base stations.J. *Neurotoxicology* . 28(2): 434-440 .
- Agarwal, A.; Deepinder, F.; Sharma. R.K.; Ranga, G. and Li, J. (2008).** Effect of cell phone usage on semen analysis in men attending infertility clinic: an observational study. *Fertility and Sterility*. 89(1): 124-128.
- Ahlbom, A.; Bridges, J.; de Seze, R.; Hillert, L.; Juutilainen, J.; Mattsson, M.O.; Neubauer, G.;Schüz, J.; Simko, M. and Bromen, K(2008).** Possible effects of electromagnetic fields (EMF) on human health-opinion of the scientific committee on emerging and newly identified health risks (SCENIHR). *J. Toxicology*; 246(2-3): 248-250.
- Ahamed,; Thajudin, N.G.;Karthick, K.and Joseph,p: Paul;(2008).** Effect of Mobile Phone Radiation on Heart Rate Variability, *Computers in Biology and Medicine*, 38; 709-712
- Aitken, R. J. and Baker, M. A. (2004).** Oxidative stress and malereproductive biology .*Vertebrata Reproductive science and technology*., 16(5):581-588.
- Al-Damegh, M. A. (2012).** Rat testicular impairment induced by electromagnetic radiation from a conventional cellular telephone and the protective effects of the antioxidants vitamins C and E. *CLINICS*.67(7): 785-792.
- Alonso, F. ; Hertel-Aas, T. ; Gilek, M. ;Gilbin, R. ; Oughton , D.H. and Garnier-Lapace, J. (2008).***J. Environ . Radiact.*, 99:1464-1473.
- Amer, M. A. (2001).** Modulation of age-related biochemical changes and oxidative stress by vitamin C and glutathione supplementation in old rats, *Ann. Nut. Metab.* J, 46: 165-168.
- Anderecsu, N. ; Stoicanescu, D. ; Belengen, A. ; Farcas, S. ; Popa, C Stolan, M. ; Belengeanu, V. (2010) .** Un balanced karyotype in human fetus due to a recurrent familial translocation. *Muta. Res*;34:233-237.
- Angelini, S; Kumar, R., Carbone, F., Maffei, F., Forti, G. C., Violante; F. S., Lodi, V., Curti, S., Hemminki, K.,and Hrelia, P.(2005)** Micronuclei in humans induced by exposure to low level of ionizing radiation: influence of polymorphisms in DNA repair genes. *Mutat. Res.* 570(1): 105–117.

المصادر References

- Ankur ,M.M.S.(2012).** “Human Health and Electromagnetic Radiations” , Int.Journal of Engineering and Innovative. Technology;1(6)
- Archives Oktem F., Ozguner F., Mollaoglu H., Koyu A., Uz E(2005)** of Medical Research, 36, 350-355
- Atalay, M. and EL-Aaksonene, D. (2000).** Diabetes oxidative stress and physical exercise. *J. of Spo. Sci. and Med. 1:* 1-14.
- Brown, T. (1994).** Historical first patents: the first United States patent for many everyday things (illustrated ed.). University of Michigan: Scarecrow Press. p. 179.ISBN 978-
- Balci M; Devrim, E.,and Durak, I. (2007).** Current Eye Research, 32, 21-25. 45(1):77-85.
- Balsen AN; Ali A; Mosa HS, and Hussain KO.(2002).** Chromosomal aberration analysis in peripheral Lymphocyte radiation workers. *Mutat Res* ;271:209-11
- Behari, J, and Paulraj, R.(2006).** Biomarkers of induced electromagnetic field and cancer. *Indian J Exp Biol*
- Buege JA, Aust SD** (1978) Microsomal lipid peroxidation vol.(52).
- Belyaev, I. (2005).** Non-thermal biological effects of *Microwave Rev. 11*(2): 13–29.
- Blank M, Goodman R (2009).** Electromagnetic fields stress living cells. *Pathophysiology*, 16: 71-78
- Bartosikova, L., Necas, V., Suchy, R. and Franov, A. (2003).** Monitoring of antioxidative effect of morine alloxan-induced diabetes mellitus in the laboratory rat. *Acta Vet. 72* : 191-200.
- Blank M. , (2005),** Do electromagnetic fields interact with electrons in the Na, K-ATPase?[J]. *Bioelectromagnetics* 26 :677–83.
- Baldi, I; Coureau, G, Jaffre A; Gruber, A; Ducamp, S, and Provost, D. (2011)** Occupational and residential exposure to electromagnetic fields and risk of brain tumors in adults: A case-control study in Gironde, France. *Int J Cancer;129*(6):1477–84.
- Baharara, J.; Parivar, K.; Oryan, Sh. and Ashraf, A. (2004).** The effects of long-term exposure with simulating cell phone waves on gonads of female Balb/C mouse. *J. Reproduction and Infertility. 5*(3): 217-226.
- Beckman, J. S; Ischiropoulos, H; Zhu, L; van der, Woerd, M; Smith, C, Chen, J; Harrison J; Martin, J. C.and Tsai, M.(1992).** Arch. Biochem. *Biophys.*;298:438-445.
- Cuerrero-Carbajal, C. ; Edwards, A. and Liond, D. C. (2003)** Induction of chromosome aberration in human lymphocyte and its dependan X-ray energy. *Muta. Res.. 131* -135.

المصادر References

- Cakir, D. U.; Yakkus, B.; Mete, N.; Sert, C. and Akdag, Z. (2003).** Progesterone, estrogen and testosterone hormones levels in rats exposed to electromagnetic fields to 50 Hz. Proceeding of the 13th Balkan Biochemical and Biophysical Days and Meeting On Metabolic Disorders' Programme and Abstracts :62 : 220 -224. Turkey
- Cao, Y. N.; Zhang, Y. and Liu, Y.(2006).** Effects of exposure to extremely low frequency electromagnetic fields on reproduction of female mice and development of offspring.. 24(8): 468–470.
- Cardoso RS,; Takahashi-Hyodo S, Peitl Jr. P,; Ghilardi-Neto T, and Sakamoto-Hojo ET (2001).** Evaluation of chromosomal aberrations, micronuclei, and sister chromatid exchanges in hospital workers chronically exposed to ionizing radiation. *Teratog Carcinog Mutagen*, 21(6):431.
- CTIA(2011)** Semi-Annual Wireless Industry Survey (CTIA-The Wireless Association). Washington, DC, USA.
- Curley, S.A; Palalon, F; Lu, X and Koshkina, N.V. (2014).** Noninvasive radiofrequency treatment effect on mitochondria in pancreatic cancer cells. *Cancer.*, 120: 3418-3425.
- Chang S, Tan C, Frankel EN, Barrett DM (2000).** Low-density lipoprotein antioxidant activity of phenolic compounds and polyphenol oxidase activity in selected clingstone peach cultivars . *J. Agric. Food. Chem.*, 48 (2): 147–51.
- Chow, W.L. T,(2000).** Magnetic field exposure enhances DNA repair through the induction of DnaK/J synthesis, *FEBS Lett.* 478 : 136-133.
- CDRH (Center for Devices and Radiologic Health) : (1999)** , Guidance for Industry Clinical Development Programs for Drugs, Devices, and Biological Products for the Treatment of Rheumatoid Arthritis (RA)
- Chung HW; Eun KR,; Yang JK, and Sung WH. (1996)** Chromosome aberrations in workers occupationally exposed Milacic S. Frequency of chromosomal lesions and damaged lymphocytes of workers occupationally exposed to X-rays. *Health Phys*;88:334- 9. to diagnostic X-ray. *Mutat Res*;350:307-14.
- Collins AR(2004).** The comet assay for DNA damage and repair: Principles, applications, and Limitations *Mol. Biotechnol.*, 26: 249-261
- Capri, M., Scarella, E.,; Fumelli, C.,; Bianchi, E.,; Salvioli, S.,; Mesirca, P; Agostini, C; Antolini, A.,; Schiavoni, A.,; Castellani, G.,; Bersani F, and Franceschi C .(2004).** In vitro exposure of human lymphocytes to 900 MHz CW and GSM modulated radiofrequency: studies of proliferation apoptosis and mitochondrial membrane potential. *Radiat Res*, 162(2):211-218
- Dainiak N.(2002)** Hematologic consequences of exposure to ionizing radiation. *Exp. Hematol.* 30(6): 513–528

المصادر References

- Denicola , A. ; Radi , R.(2005).** Peroxynitrite and drug-dependent toxicity. *Toxicology*, 208(2): 273-288.
- Dahle J; Kuam E.(2003).** Induction of delayed mutations and chromosomal instability in fibroblasts after UVA UVB and X-radiation. *Mutat Res* 2003;11:1464-69.
- Dickinson, D.; Lu, C. and Forman, H. (2003).** Glutathione synhtesis. Oxygen Society Education Program. *Society for Free Radical Biol. and Med.*
- De Iuliis, G,N; Newey, R.J; King, B.V. and Aitken, R.J (2009)** Mobile phone radiation induces reactive oxygen species production and DNA damage in human spermatozoa in vitro. *PLoS One* 4 :6446.
- Ding , G.R. and Guo, G.Z (2007).** Advances in research of radioprotec .*J. Radiat . Process* . 25:321-324.
- Desai, N.; Kesari, K. K. and Agarwal, A. (2009).** Pathophysiology of cell phone radiation: oxidative stress and carcinogenesis with focus on male reproductive system. *J. Reproductive Biology and Endocrinology.*, 7: 114.
- Demirel S, Doganay S, Turkoz Y, Dogan Z, Turan B & Firat PG (2012)** Effects of third generation mobile phoneemitted electromagnetic radiation on oxidative stress parameters in eye tissue and blood of rats. *CutanOcul Toxicol* 31 89-94.
- Dasdag, S; Zulkuf, A; M; Aksen F, Yilmaz F, Bashan M, Mutlu, D. M. and Salih Celik, M.** (2003) Whole body exposure of rats to microwaves emitted from a cell phone does not affect the testes. *Bioelectromagnetics*; 24: 182-188.
- Diem, C.; Schwarz, F.; Adlkofer, O.; Jahn, H.and Rudiger, (2005).**Non-thermal DNA breakage by mobile-phone radiation (1800-MHz) in human fibroblasts and in transformed GFSH-R17 rat granulosa cells in vitro. *Mutat. Res.* 583 : 178–183.
- Beckman J. S., Ischiropoulos H., Zhu L., van der Woerd M., Smith C., Chen J., Harrison J., Martin J. C., Tsai M. Arch. (1992)** Biochem. Biophys.;298,438-445
- Devrim, E; Ergüder, I; Kilic, O.B; Yaykasli, E; Cetin, R and Durak I.(2008)**Effects Ofelectromagnetic radiation use on oxidant/antioxidant status and DNAturn-over enzyme activities in erythrocytes and heart, kidney, liver, andovary tissues from rats: possible protective role of vitamin C. *Toxicol MechMethods* ;18:679 6–83.
- Deshmukh, PS; Megha, K,; Banerjee, BD,; Ahmed. R.S; Chandna, S; Abegaonkar, M.Pand Tripathi, A.K (2013)** Detection of low level microwave radiation induced deoxyribonucleic acid damage vis-à-vis genotoxicity in brain of Fischer rats. *Toxicol Int* , 20:19-24
- Duan, W; Liu, C; Zhang, L; He, M; Xu, S; Chen, C; Pi, H; Gao, P; Zhang, Y; Zhong, M; Yu, Z. and Zhou, Z. (2015).** Comparison of the genotoxic effects induced by 50 Hz extremely low- frequency electromagnetic fields and 1800 MHz radiofrequency electromagnetic fields in GC-2 cells. *Radiat Res*; 183: 305-314.

المصادر References

- De Iuliis, G. N.; Newey, R. J.; King, B. V. and Aitken, R. J. (2009).** Mobile phone radiation induces reactive oxygen species production and DNA damage in human spermatozoa in vitro. *PLoS One.* 4(7):e6446.
- Dasdag, S.; Akdag, M.Z.; Erdal, M.E.; Erdal, N.; Ay ,O.I.; Ay, M.E.; Yilmaz, S.G; Tasdelen, B and ,Yegin K (2015).** Long term and excessive use of 900 MHz radiofrequency radiation alter microRNA expression in brain. *Int J Radiat Biol;* 91: 306-311
- De Boeck, M., N.; Touil, G. De; Visscher, P.A.; Vande, and M. Kirsch–Volders.(2000).** Validation and implementation of an internal standard in comet assay. *Mutat. Res.* 469: 181-197.
- EPA. (2007).** Ionizing Radiation (fact book). -402-F-06-061.
- EPA. (2012).** Radiation: Facts, Risks and Realities:8 -402.
- Eberhardt JL, Persson BR, Brun AE, Salford LG, Malmgren (2008).** LO Blood-brain barrier permeability and nerve cell damage in rat brain 14 and 28 days after exposure to microwaves from GSM mobile phones. *Electromagn Biol Med* 229-215(3),
- El-Abd SFand Eltoweissy MY(2012).** Cytogenetic alterations in human lymphocyte culture following exposure to radiofrequency field of mobile phone *JAPS*, 2: 16-20..
- Fucic, A. ; Zeliezic, D. ; Kasuba, V. ; Kopjar, N. ; Rozgaj, R. ; Lasar R. ; Mijic A. ; Hitriec, V. and Lucase, J. (2007) .** Stable and unstable chromosome aberration measured after Occupational exposure to ionizing radiation and altrasound . *Mutat. Res.* 88,: 323-330.
- Fragopoulou, A.F; Koussoulakos, S.L.and Margaritis, L.H.(.2010).** Cranial and postcranialskeletal Variationsinduced in mouse embryos by mobile phone radiation.*Pathophysiology* 17:169–77
- FCC . (1999).** Questions and answers about biological effects and potential hazards of radiofrequency electromagnetic fields. OET Bulletin 56, 4th Edition.
- Feinendegen L. E.(2005).** Evidence for beneficial low level radiation effects and radiation hormesis. *Br. J. Radiol.* 78(925): 3–7.
- Fenech M.** The lymphocyte cytokinesis-block micronucleus cytome assay and its application in radiation biodosimetry. *Health Phys.* 98(2): 234–243.
- Ferrari, C. K. B. (2000) .** Free radicals ,Lipid peroxidation and oxidants in upapoptosis: implications in cancer , cardio vascular and neurological disease. *Biologia. Cel. Mol .* , 55:581-590.
- Furtado-Filho, O. V.; Borba,J. B. ; Dallegrave, A.; Pizzolato, T. M.; Henriques, J. A. P. ; Moreira, J. C. F. and Saffi, J. (2013).** Effect of 950 MHz UHF electromagnetic radiation on biomarkers of oxidative damage, metabolism of UFA and antioxidants in the livers of young rats of diff erent ages.J. *International Journal of Radiation Biology*, Early Online: 1–10.

المصادر References

- FDA. (2009):** Radiation – Emitting Products: cell phones. *Silver Spring, MD.* Retrieved.,8(2):11.
- French, P. W.; Penny, R.; Laurence, J.A. and McKenzie, D. R.(2001).** Mobile phones, heat shock proteins and cancer. *Differentiation.* 67: 93-7.
- Fang, Y.Z; Yang, Sand W,u G.Y. (2002).**Free radicals, antioxidants, and nutrition. *Nutrition;*18:872–9.
- Fenech M (2002).** Biomarkers of genetic damage for cancer epidemiology. *Toxicology,* 181: 411-416.
- Franzellitti S.; Valbonesi P.; Ciancaglini N.; Biondi C; Contin A.; Bersani F, and Fabbri E (2010)** Transient DNA damage induced by high-frequency electromagnetic fields (GSM 1.8 GHz) in the human trophoblast HTR-8/SVneo cell line evaluated with the alkaline
- Fejes I, Zavaczki Z, Szollosi J, Koloszar S, Daru J, Kovacs L & Pal A (2005)** Is there a relationship between cell phone use and semen quality? *Arch Androl* 51 385-393 .
- Foletti, A, Lisi, A; Ledda, M and et al. (2009).** Cellular ELF signals as a possible tool in informative medicine. *Electromagnetic Biology and Medicine.* 28 (1): 71-79
- Furtado-Filho, O. V.; Borba,J. B. ; Dallegrave, A.; Pizzolato, T. M.; Henriques, J. A. P. ; Moreira, J. C. F. and Saffi, J. (2013).** Effect of 950 MHz UHF electromagnetic radiation on biomarkers of oxidative damage, metabolism of UFA and antioxidants in the livers of young rats of different ages.J. International Journal of Radiation Biology, Early Online: pp. 1–10.
- Ghanbari, A.A;Shabani K.and Mohammad N. D.(2016)** protective effects of vitamin Econsumption against 3MT electromagnetic field effects on oxidativeparameters in substantia nigra in rats. *Basic Clin Neurosci* ,7:315–22.
- Gheorghisan-Galateanu, A. A.; Hinescu, M. E. and Enciu, A. M. (2014).** Ovarian adult stem cells: hope or pitfall?. *J. Ovarian Research.* 7: 71.
- Ghanbari M, Mortazavi SB, Khavanin A & Khazaei M (2013)** The Effects of Cell Phone Waves (900 MHz-GSM Band) on Sperm Parameters and Total Antioxidant Capacity in Rats. *Int J Fertil Steril* 7 21-28.
- Gardener, R.J.M. and Sutherland G.R. (2004).** Chromosome abnormalities and Genetic counseling, oxford monograph on medical genetics .46, 3ed .Oxford Uni Press. Autosomal reciprocal translocation : 59-97
- Guidet, B and Shah, S. V, (1989). Am J.Physiol 257(26).F440 cited by Muslih,R.K.; Al Nimer,M.S and Al-Zamely,O.Y.(2002).** The level of Malondialdehyde after Activation with H₂O₂ and CuSO₄ and inhibition bydeferoxamine and Molsidomine in the serum of patient with acute yocardilinfraction .*Nat .J chem.*, 5:139-148.
- Halliwell, B. and Gutteridge, J. M. C. (1984).** Lipid peroxidation, oxygen radicals, cell damage and antioxidant therapy. *Lancet.,* 1: 1396-1397.

المصادر References

- Gustavino B, Carboni G, Petrillo R, Rizzoni M, Santovetti E(2014).** Micronucleus Induction by 915 MHz Radiofrequency Radiation in Vicia faba root tips.arXiv:1409.1431.
- Gandhi G, Anita(2005).** Genetic damage in mobile phone users: Some preliminary findings. Indian J Hum Genet, 11: 99-104
- Hong, R.; Liu, Y.; Yu, Y. M.; Hu, K. and Weng, E. Q.(2003).** Effects of extremely low frequency electromagnetic fields on male reproduction in mice - *article in Chinese]*. 21(5): 342-425.
- Holovská , K1;Almášiová, V; Cigánková, V; Beňová K, Račeková E and Martončíková M. (2015).** Structural and ultrastructural study of rat liver influenced by electromagnetic radiation J Toxicol Environ Health A. 78(6):353-6.
- Hocking, B; Gordon, I,R; Grain, H.L and Hatfield, G.E. (1996).** Cancer incidence and mortality and proximity to TV towers. Med J Aust; 165 (11 12): 601 605.
- Higuchi, Y. (2004).** Glutathion depletion-induced chromosomal DNA fragmentation associated with apoptosis and Necrosis- J. Cell. Mol. , 8(4):455-464.
- Hayata I,; Kanda R,; Minamihisamatsu M,; FuraunkawaM, and Susaki MS.(2001).** Cytogenetical dose estimation for three severely exposed patients in the JCO critically accident in Tokia Mura, J Radiat Res ,42:149-55
- Havas, M. (2008).** Dirty electricity elevates blood sugar among electrically sensitive diabetics and may explain brittle diabetes. Electromagnetic Biology and Medicine. 27: 135-146.
- Hagma L,; Bonassi S,; Stromberg U,; Brogger A,; Knudsen L,; Norppa H, and Reuterwall C (1998).** Chromosomal aberrations in lymphocytes predict human cancer: a report from the Eu-ropean Study group on cytogenetic biomarkers and health (ESCH), European Study Group on Cytogenetic Biomarkers and Health. Cancer Res, 58(18):4117-21.
- Haung, C. C.; Jan, J. C.; Pacholec, P. D. and Chapman, V. M. (1990)** Comparison of base line sister chromatid exchanges (SCE), cyclophosphamide-ethylnitrosourea (ENU), induce cell cycle delay and chromosome aberrations between peru and laboratory mice. Mutation Research, 230: 93-100.
- Huang , TQ,; Lee, M.S,; Oh, E,; Zhang B.T,; Seo, J.S, and Park WY:(2008).** Molecular responses of Jurkat T-cells to 1763 MHz radiofrequency radiation. Int J Radiat Biol, 84(9):734-741
- Helleday T,; Loc J,; van Gentd DC, and et al.(2007)** DNA double strand break repair:from Mechanistic understanding to cancer treatment[J]. DNA Repair., 6 :923–35.

المصادر References

- Hundal, K. ; Swanton, A. ; Itani, A. ; Williams , L. ; proven, M Graun, E. I. ; Veigh, M.and Chid men T. (2009)** .Serum karyotype and cystic fibrosis gene abnormalities in With sever azoospermia. the oxford experience and UK. Nati. survey . 67 :460-453.
- Hardell L, Sage C: (2008)** Biological effects from electromagnetic field exposure and public exposure standards. Biomed Pharmacother 109-104:9(2)62,
- Irmak M.K; Fadilhoglu E; Gulec, M; Erdogan, H; Yagmurca, M.and Akyol O. (2002).** Cell Biochemistry and Function, 20: 279-283 .
- ICRP :Brooks A.L; Khan M.A; Jostes, R.F and Cross F.T.(1993)** Metaphase chromosome aberrations as a means of radiation exposed and dose. *J Toxicol Environ Health* ., 40:277-88
- Jajte, M.; Zmyslony, J.; Palus, E.; Dziubaltowska, E. and Rajkowska (2001)** Protective effect of melatonin against in vitro iron ions and 7mT50Hz magnetic field-induced DNA damage in rat lymphocytes, *Mutat. Res.*,483: 64-57.
- Jajte, J.; Grzegorczyk. J.; Zmyslony, M. and Rajkowska , E. (2002).** *Bioelectrochemistry*, 57: 107-111
- Juranek , J. and Bezek ,S. (2005)** . Controversy of the free radical Hypothesis : reactive oxygen species-Causes or consequence of tissue injury . *Gen physiolBiophys.*, 24(3):263-278
- Joshi, R. ; Kamet, J. P. and Mukherjee, T. (2007)**. Free radical scavenging reaction and antioxidant activity of cmblein : Biochemical and plus radio lytic studies . *chem Biol. Interact.*, 167(2):125-134.
- Keller, A., Rackwitz, J., Cauët, E., Liévin, J., Körzdörfer, T., Rotaru, A., ...& Bald, I. (2014).** Sequence dependence of electron-induced DNA strand breakage revealed by DNA nanoarrays. *Scientific reports*, 4
- Kalavathi, V. ; Chandra, N. ; Renjini, G. N. ; Jayashree, S Sugunash, P. A ; Meena, J. ; Jegatheesan, T. ; Santhiya, S. T Ramesh, A. ; Gopinath, P. and Marimuthu, M. K. (2010).** Chromosomal abnormalities in 979 cases of Amenorrhea. .,34:792-786. *Review*
- Kinnula , V.L; Paakko P and, Soini, Y.(2004).** Antioxidant enzymes and redox regulating thiol proteins in malignancies of human lung. *FEBS Lett*;569:1–6
- Kesari KK, and Behari J.(2009)** Fifty gigahertz microwave exposure effect of radiations on rat brain[J]. *Appl Biochem Biotechnol* , 158 :126–39.
- Koyama S.; Takashima Y.; Sakurai T.; Suzuki Y.; Taki M and Miyakoshi J (2007).** Effects of 2.45 GHz electromagnetic fields with a wide range of SARs on bacterial and HPRT gen mutations. *J Radiat Res*, 48 :75-69.

المصادر References

- Karthikeya B.; Prabhu B.; Venkatachalan P, and Paul SF (2003).** Comparison of intra- and intra chromosomal aberrations in blood samples exposed to different dose rates of gamma radiations. *Radiat Prot Dosimetry.*, 103:9.
- Kadhim MA; Lorimore SAT; Ownsend KMS and Goodmood DT.(1995).** Radiation-induced genetic instability delayed cytogenetic aberration and apoptosis in primary human bone marrow cells. *Int J Radiat Biol.*, 286:93-67.
- Koyu, A; Naziroglu, M; Ozguner, F; Yilmaz, R; Uz, E and Cesur G. (2005).** Electromagnetic Biology and Medicine 142-135,24
- Koyuturk, M.; Yanardagm R.; Bulken, S. and Tunali, S. (2006).** Influence of combined antioxidants against cadmium induced testicular damage. *Environ Toxicol. Pharmacol.*, 21: 235-240.
- Koyu, A.; Cesur, G. G.; Ozguner, F.; Akdogan, M; Mollaoglu, H. and Ozen, S. (2005).** Effects of 900MHz electromagnetic field on TSH and thyroid hormones in rats . *Toxicology Letters* ,157: 257–262.
- Kitchen, R. (2001).** Radiofrequency and microwave radiation safety handbook. 2nd. ed. A division of Reed Educational and Professional Publishing Ltd. Elsevier Group Great Britain.
- Kojima, S.; Ishida, H.;Takahashi, M. and Yamaoka, k. (2002).** Elevation of glutathione induced by low-dose gamma rays and its involvement in increased natural killer activity. *Radiat. Res.*157(3):275-280
- Koyu, A; Naziroglu, M; Ozguner, F; Yilmaz, R, Uz, E and Cesur, G. (2005).** Electromagnetic Biology and Medicine 142-135,24.
- Kahya, M,C; Naziroglu, M. and Cig, B .(2014).** Selenium reduces mobile phone (900 MHz)-induced oxidative stressmitochondrial function, and apoptosis in breast cancer cell. *Biol Trace Elem Res.*, 160: 285-293.
- Lourencini da Silva, F. Albano, L.R. Lopes dos Santos, A.D Tavares Jr., I. Felzenszwalb,(2009)** The effect of electromagnetic field exposure on the formation ofDNAlesions, *Redox. Rep.* 5 , 299–301.
- Lakshmi, B. V. S; Sudhakar, M. and Aparna, M. (2014).** Protective effect of black grapes on cadmium induced hepatotoxicity in rats. *Wor. J. pharm. Sc.*,2321-3086.
- Lee, G. M.; Neutra, R. R.; Hristova, L.; Yost, M. and Hiatt, R. A. (2002).** A nested case-control study of residential and personal magnetic field measures and miscarriages. *Epidemiology.* 13(1): 21-31.
- Lloyd, DC.; Purrott, RJ, and Dolphin , GW(1973).** Chromosome aberration dosimetry using human lymphocytes in simulated partial body irradiation. *Phys Med Biol* ,18:421–31

المصادر References

- Lloyd, DC.(1984)** An overview of radiation dosimetry by conventional cytogenetic methods. In: Eisert WG and Mendelsohn ML, editor., editors. Biological dosimetry. Berlin, Germany: Springer: 3–14.
- Lee YS,; Lee MS,; Lee JH,; Kim TH and Sang JJ.(1997)**. Maternal or paternal exposure to radiation increases susceptibility to the induction of glutathion S-transferase positive hepatic foci in off spring rats. *Cancer Lett .*, 231:6-13
- Lourencini da Silva, F.; Albano, L.R., Lopes dos Santos, A.D; Tavares Jr. I. and Felzenszwalb,, (2000)**. The effect of electromagnetic field exposure on the formation ofDNAlesions, *Redox. Rep. 5* : 299–301
- Liu , Q.; Jiang B,; Jiang, L.P; Wu, Y,; Wang, X.G,; Zhao, F.L, and et al.(2008)** Clinical report of three cases of acute radiation sickness from a 60Co radiation accident in Henan Province in China. *J Radiat Res.,* 49:63–9.
- Littlefield , L.G,; Joiner S.P;Ricks, R.C,; Lushbaugh, C.C, and Hurtado-Monroy R.(1991)**. The 1989 San Salvador 60Co radiation accident: cytogenetic dosimetry and follow-up evaluation in three accident victims. *Radiat Prot Dosim.,*35:115–9.
- Lindsay, G. S., & Wallace, H. M. (1968)**. Changes in polyamine catabolism in HL-60 human promyelogenous leukaemic cells in response to etoposide-induced apoptosis. *Biochem J.,* 337(1): 83-87.
- Lands, L.C.; Grey, V.L. and Smountas, A.A. (1999)**. Effect of supplementation with a cysteine donor on muscular performance. *J. Appl. Physiol.* 87:1381-1385.
- Lantow M, Lupke M, Frahm J, Mattsson MO, Kuster N, Simko M (2006)** ROS release and Hsp70 expression after exposure to 1,800 MHz radiofrequency electromagnetic fields in primary human monocytes and lymphocytes. *Radiat Environ Biophys ,*62-55:(1) 45.
- Lanir, A.and Schejter, A.(1975)**. On the sixth coordination position of beef liver catalase. *Febs Lett* 6-55:254.
- Lai, N.P. S.(2005)**. Effects of microwaves and a temporally incoherent magnetic field on single and double DNA strand breaks in rat brain cells, *Electromag. Biol. Med.,* 24 : 23–29
- Lai, N.P. Singh,(2004)** Magnetic-field-induced DNA strand breaks in brain cells of the rat *Environ. Health Perspect.* 112 , 687–694.
- Lai, H.(2012)**. Genetic Effects of Non-Ionizing Electromagnetic Fields. BioInitiative Working Group, Section.
- La Vignera, S.; Condorelli, R. A.; Vicari, E.; D'Agata, R.; Calogero, A. E. (2012)**. Effects of the exposure to mobile phones on male reproduction: a review of the literature. *J. Andrologia.* 33: 350–356.

المصادر References

- Maes, A.; Gorp, U.V, and Verschaeve, L .(2006).** Cytogenetic investigation of subjects professionally exposed to radiofrequency radiation. *Mutagenesis*, 21: 139–142
- Márcia, A. D. S.; Paulo , R. P. C,1; Paolo, B 1.and Kayo, O.1 (2009)** induction of chromosomal aberrations in human lymphocytes by fission neutrons ,Rio de Janeiro,RJ, Brazil,.
- Marino, A. B. R. (1977).** Biological effects of extremely low frequency electric and magnetic fields: a review. *Physiological Chemistry and Physics.*, (2): 131-147
- Markkanen , A; Penttinen, P; Naarala, J; Pelkonen ,J; Sihvonen, A.P and Juutilainen J:(2004)** Apoptosis induced by ultraviolet radiation isenhanced by amplitude modulated radiofrequency radiation in mutant yeast cells. *Bioelectromagnetics*, 25(2):127-133.
- Martinez-Samano, J.T.P; Rez-Oropeza, M.A; Elias-Vinas D and Verdugo-Díaz L. (2010).**Effects of Acute electromagnetic field exposure and movement restraint onantioxidant system in liver, heart, kidney and plasma of Wistar rats: a preliminary report. *Int J Radiat Biol* ,86:1088–94.
- Martinez-Samano, J;Torres-Duran, P.V; Juarez-Oropeza, M.A and Verdugo-Diaz, L.(2012).**Effect of Acute extremely low frequency electromagnetic field exposure on the Antioxidant status and lipid levels in rat brain. *Arch Med Res*;43:183–9.
- Mary , H.D.Silva,; Rijied ,T .and Swer, J.(2014).** Anbalagan,RajeshBhargavan An,“Effect of Ultrahigh frequency Radiation Emitted from 2G Cell phone on Developing Lens of Chick Embryo: A Histological Study”, Hindawi Publishing Corporation, *Advances in Anatomy*, 798425: 9 pages.
- Mashevich M, Folkman D, Kesar A, Barbul A, Korenstein R, Jerby E, Avivi L 2003.** Exposure of human peripheral blood lymphocytes to electromagnetic fields associated with cellular phones leads to chromosomal instability. *Bioelectromagnetics*,24: 82-90
- McNamee, J.R. McLean, C.L. Ferrarotto, P.V. Bellier,** Comet assay: rapid processing of multiple samples, *Mutat. Res.* 466 (2000)63–69.
- Mefferi F,; Angelini S,; Forti GC,; Violante FS,; Loi V Mattioli S, and et al.(2004)** Spectrum of chromosomal aberrations in peripheral lymphocytes of hospital workers occupationally exposed to low doses of ionizing Radiation. *Mutat Res*;547:91-9
- Megha K,; Deshmukh PS,; Banerjee BD, and et al. 2015** Low intensity microwave radiation induces genotoxicity in rat brain[J]. *Neurotoxicology* , 51 :158–65.

المصادر References

Megha, K; Deshmukh, P.S; Banerjee, B.D; Tripathi, A.K and Abegaonkar

,M.P.(2012)Microwave Radiation induced oxidative stress, cognitive impairment And inflammation in brain of Fischer rats. Indian J Exp Biol;50:889–96.

Meral, I.; Mert, H.; Mert, N.; Deger, Y.; Yoruk, I.; Yetkin, A. and Siddik, K. (2007).

Effects of 900- MHz electromagnetic field emitted from cellular phone on brain oxidative stress and some vitamin levels of guinea pigs. *J. Brain Research.*, 1169: 120-124.

Merola P, Marino C, Lovisolo GA, Pinto R, Laconi C, Negroni A: (2006) Proliferation and apoptosis in a neuroblastoma cell line exposed to 900 MHz modulated radiofrequency field. *Bioelectromagnetics* 171-164:(3)27.

Meteuca, R. ; Lombaett, N. ; Aka, P. V. ; Decordier, I. and Volders, M(2006). Chromosomal change induction detection method and application in human biomonitoring *Biochem.* 88,: 1515-1530.

Michelozzi , P; Capon, A; Kirchmayer, U and et al. (2002). Adult and childhood leukemia near a high-power radio station in Rome, Italy. *Am J Epidemiol*; 155 (12):1096 1103

Mihai, C.T.; Rotinberg, P; Brinza, F, and Vochita , G (2014); Extremely low-frequency electromagnetic Fields cause DNA strand breaks in normal cells. *J Environ Health Sci Eng*,19(3):115-130.

Moffarts, B,; Kirschvink ,N. Art,T, Pincemail , J and Lekeux, P.(2005). Effect of oral antioxidant supplementation on blood antioxidant status in trained thoroughbred horses. *Vet J*;169:65–74.

Mortazavi, S.M; Daiee, E,; Yazdi, A and et al.(2008). Mercury release from dental amalgam restorations after magnetic resonance imaging and following mobile phone use. *Pak. J Biol Sci.* 11 (8): 1142-6.

Moustafa Y.M.; Moustafa, R.M.; Belacy, A.,; Abou-El Elam S.H.,and Fadel M.A. (2001). Journal of Pharmaceutical and Biomedical Analysis, 26: 605-608.

Muller W. U; Kryscio A.,and Streffler C (2004). Micronuclei in lymphocytes of uranium miners of the former Wismut SDAG. *Cytogenet. Genome. Res.* 104(1–4): 295–298 .

Murray, K.;Granner, K.; Mayes, A. and Rodweuv,W. (2000). Harper biochemistry. 28th ed .California appleton and lange: 25-32

Musaev, A. V.; Ismailova, L. F. and Gadzhiev, A. M. (2005). Influence of (460 MHz) electromagnetic fields on the induced lipid peroxidation in the structures of visual analyzer and hypothalamus in experimental animals. *Voprosy Kurortologii, Fizioterapii, i Lechebno Fizicheskoi Kultury*: 17–20.

المصادر References

- Neha, k. and Girish,k.(2009).** “Biological Effects of Cell Tower Radiation on Human Body”: 16-19, New Delhi, India.
- Nigam, S. and Schewe, T. (2000).** Phospholipase A(2)s and lipid peroxidation. *Biochem. Biophys. Acta.*, (1-2):167-181.
- Nikolova, J. Czyz, A. Rolletschek, P. Blysaczuk, J. Fuchs, G Jovtchev, J. Schuderer, N. Kuster, A.M. Wobus, (2005)** Electromagnetic fields affect transcript levels of apoptosis-related genes in embryonic stem cell-derived neural progenitor cells, *FASEB J.* 19: (1686 – 1688)
- Nisarg ,R. Desai, K. K; Kesari, and Ashok, A. (2009).** Pathophysiology of cell phone radiation: oxidative stress and carcinogenesis with focus on male reproductive system reproductive biology and endocrinology.
- Nishiyama H.I.M and Kato , N.(2014)** Relay-by-smartphone: realizing multihopdevice-to-device communications. *IEEE Com Mag* ; 52:56–65.
- Norman N; Cochra S.; Bass D,(1984)** Roe D. Effects of age sex and diagnostic X-ray on chromosome damage. *Int J Radiat Biol*;46:317-21
- Norppa , H. (2004).** Cytogenetic biomarkers. *IARC Sci Publ*, 157:179-205
- Obea,G , P; Pfeiffer a, J.R.K.; Savage b, C.; Johannes a, W.; Goedecke a, P.; Jeppesen c A.T.; Natarajan d, W.; Martínez-López,e,f, G.A.; Folle e, M.E. and Dretse (2002)** Chromosomal aberrations: formation, *identification and distribution Mutation Research*, 504: 17–36.
- Odaci, E;; Unal, D;; Mercantepe T;; Topal, Z; Hanci, H; Turedi, S, and et al.(2015)** Pathologicaleffects of prenatal exposure to a 900 MHz electromagnetic field on the 21-day-old male rat kidney. *Biotech Histochem* ;90 :93–101.
- Oftedal, G.; Wilen, J.; Sandstrom, M. and Mild, K. (2000).** Symptoms experiences in connection with mobile phone use. *J. Occupational Medicine*. 50(4): . 237-45.
- Oktay, M.F., Dasdag, S. (2006).** Electromagnetic Biology and Medicine, 25: 13-21.
- Oral, M.; Guney, F.; Ozguner, N.; Karahan, T.; Mungan, S.; Comlekci, G. and Cesur,(2006)** Endometrial apoptosis induced by a 900-MHz mobile phone: preventive effects of vitamins E and C, *Adv. Ther.*, 23 : 973- 956.
- Ozguner F, Altinbas ,A; Ozaydin M,; Dogan, A,; Vural, H,; Kisioglu, AN,; Cesur, G. and Yildirim NG (2005).** Mobile phone-induced myocardial oxidative stress: protection by a novel antioxidant agent caffeic acid. phenethyl ester. *Toxicol Ind Health* 21 :223-230

المصادر References

- Ozmen I.; Naziroglu M.; Alici HA, Sahin F.; Cengiz M, and Eren I.(2007).** Spinal morphineadministration reduces the fatty acid contents in spinal cord and brain byincreasing oxidative stress. *Neurochem Res*;32:19–25.
- Ozturk .A; Baltaci, A.K.; Mogulkoc R and Oztekin, E.(2003)** Zinc prevention Of electromagnetically induced damage to rat testicle and kidney tissues. *BiolTrace Elem Res* ;96:247–54 .
- Paredi ,P.; Kharitonov, S.A.; Hanazawa, T. and Barnes P.J. (2001)** Laryngoscope, 111(1): 159-162.
- Phillips JL; Singh NP and Lai H (2009).** Electromagnetic fields and DNA damage. *Pathophysiology*,16: 79–88.
- Prakash, S. and Joshi, Y.K. (2004).**Assessment of micronutrient antioxidants. Total antioxidant capacity and lipid peroxidation level in liver cirrhosis. *Asia. Pac. J. Clin. Nutr.*, 13: 110.
- Qing-Zeng Qian,1,* Xiang-K.C.; ,2 Fu-Hai S.,1 and Qian Wang (2016)** Effects of ionizing radiation on micronucleus formation and chromosomal aberrations in Chinese radiation workers *Radiat Prot Dosimetry*; 168(2): 197–203
- Qliu, M.D. ; Jcao, M.D. ; Z.Q. Wang, ; Ysbai, Y. ; Huang, Q. L Wzzhao, J. ; Jiang, L. ; Wstang , B. and Fyfan, M.D. (2009).** Dose estimation by chromosome aberration analysis and micronucleus assay in victims accidently exposed to Co 60 radiation. *Cancer Res*,44: 216-213
- Ragy, M.M. (2015).**Effect of exposure and withdrawal of 900-MHz-electromagnetic waves on brain, kidney and liver oxidative stress and some biochemical parameters in male rats. *Electromagn Biol Med*;34(4):279-84.
- Ramadan, L. A.; Shouman, S. A.; Sayed-Ahmed M. M. and El-Habit, O. H. (2001):** Modulation of radiation-induced organs toxicity by cremophor-el in experimental animals. *Pharmacol. Res.*, 43(2):185- 91.
- Ramos, M.; Montoro, A.; Almonacid M.; Ferrer ,S.; Barquinero, J. F.; Tortosa, R.,; Verdu, G.; Rodriguez, P.; Barrios L. L., and Villaescusa J. I.(2010)** Radiation effects analysis in a group of interventional radiologists using biological and physical dosimetry methods. *Eur. J. Radiol.* 75(2), 259–264.
- Rana, R. K., Chou, C. T., Kanhere, S. S., Bulusu, N., & Hu, W. (2010,).** Ear-phone: an end-to-end participatory urban noise mapping system. In Proceedings of the 9th ACM/IEEE International Conference on Information Processing in Sensor Networks ACM:105-116

المصادر References

- Redmayne,M; Smith, E. & Abramson. M.J (2011).** Adolescent in-school cellphone habits: a census of rules, survey of their effectiveness, and fertility implications. *Reprod Toxicol* 32 :354-359.
- Remondini,D.; Nylund, R.; Reivinen, J, and et al.(2006)** Gene expression changes in human cells after exposure to mobile phone microwaves. *Proteomics* 4745:475-6
- Ribeiro D. A., and Angelieri F.(2008)** Cytogenetic biomonitoring of oral mucosa cells from adults exposed to dental X-rays. *Radiat. Med.* 26(6): 325–330 .
- Roberts,J.A.; Yaya, L.H & Manolis, C. (2014).** The invisible addiction: cell-phone activities and addiction among male and female college students. *J Behav Addict*, 3: 254-265
- Robison,A.R.;Pendleton, K.O.;Monson, B.K.; Murray, K.L and O'Neill,(2002)** Decreased DNA repair rates and protection from heat induced apoptosis mediated by electromagnetic field exposure, *Bioelectromagnetics*; 23:112-106 .
- Roe, M.T.; Messenger, J.C.; Weintraub, W.S.(2010).**“Treatments, trends, and out outcomes of acute of acute myocardial infarction and percutaneous coronary intervention. *J. Am. Coll. Cardiol.* 56(4):254 – 63.
- Rothkamm K, Krüger I, Thompson LH, Löbrich, M (2003) .**Pathways of DNA double-strand break repair during the mammalian cell cycle. *Mol Cell Biol*, 23:5715-5706.
- Rottkamp, C. A.;Nunomura, A.; Raina. A. K.; Sayre, L. M.; Perry. G. and Smith, M. A. (2001).** Oxidative stress , antioxidants, and Alzheimers disease .*J. Alzheimer Disease and Associated Disorders*, 14:62-66.
- Rozgaj R.;Suba V, and Simic D.(2002)** The frequency of dicentrics and acentrics and the incidence of rouge cells in radiation workers. *Mutagenesis*;17:135-9.
- Ruiz-Gómez MJ, Martínez-Morillo M 2009.** Electromagnetic fields and the induction of DNA strand breaks. *Electromagn Biol Med*, 28: 201-214.
- Saikhedkar N, Bhatnagar M, Jain A, et al.** Effects of mobile phone radiation (900 MHz radiofrequency) on structure and functions of rat brain[J]. *Neurol Res* , 2014, 36 :1072–9.
- Salford, L. G.; Brun, A. E.; Eberhardt, J. L.; Malmgren, L.and Persson, B. R. R. (2003).** Nerve cell damage in mammalian brain after exposure to microwaves from GSM mobile phones. *Environmental Health Perspectives*. 111(7):. 881-883.
- Sannino, A.; Di; Costanzo, G.; Brescia, F.; Sarti, M.; Zeni, O.; Juutilainen, J; and Scarfi MR: (2009).** Human fibroblasts and 900 MHz radiofrequency radiation: evaluation of DNA damage after exposure and coexposure to 3-chloro-4-(dichloromethyl)-5-hydroxy- 2(5 h furanone (MX). *Radiat Res*, 171(6):743-751.

المصادر References

- SCENIHR:Scientific Committee on Emerging and Newly Identified Health Risks., (2007)**
Possible Effects of Electromagnetic Fields (EMF) on Human Health , 11.
- Schindowski K,; Leutner S,; Muller WE, and et al.(2000)** Age related changes of apoptotic cell death in human lymphocytes[J]. *Neurobiol Aging* , 21 :661–70.
- Schüz J, Elliott P, Auvinen A, et al. (2010.08.01).** An International prospective cohort study of mobile phone users and health (Cosmos): Design considerations and enrolment. *Cancer Epidemiology*. 10.1016.
- Shahryar, H.A.; Lotfi, A.R.; Bahojb, M. and Karami, A.R.(2008).** Effects of electromagnetic fields of cellular phone on cortisol and testosterone hormones rate in syrian hamsters (*Mesocricetus auratus*). *J. International Journal of Zoology Research*. 4: pp. 230-233.
- Shih, C.; Wu, Y. and Lin, W. (2002).** Antihyperglycaemic and antioxidant properties of *anoectochilusformosanus* in diabetic rats. *J. Clin. and Experimental Pharmacol. and Physiol.*, 29 : 684-688.
- Simko, M.; (2007)** Cell type specific redox status is responsible for diverse electromagnetic field effect[J]. *Curr Med Chem* , 14 :1141–52.
- Singh S, and Kapoor, N. (2004).** Health implications of electromagnetic fields, mechanisms of action and research needs. *Advances in Biology*,: 1-24
- Sokolovic, D,; Djindjic, B,; Nikolic, J,; Bjelakovic, G,; Pavlovic, D,; Kocic, G; Krstic, D,; Cvetkovic, T,; and Pavlovic, V,;** (2008) Melatonin reduces oxidative stress induced by chronic exposure of microwave radiation from mobile phones in rat brain. *J Radiat Res (Tokyo)*, 49(6): 586-579
- Stass, J.R.,; Woodward, C.R., Timmel, P.J.,; Hore, K.A.,; McLauchlan, A. (2000)**
Chemical Physics Letters , 329: 22-15..
- Stronati, L,; Testa, A,; Villani, P,; and Marino, C, (2004).** Absence of genotoxicity in human blood cells Exposed to 5 magnetic fields as assessed by comet assay, chromosome aberration, micronucleus and sister chromatid exchange analyses. *Bio electromagnetics*. 25(1):41-48.
- Takahashi, K,; Kaneko, I,; Date, M, and Fukada E.(1986).** Effect of pulsing electromagnetic fields on DNA synthesis in mammalian cells in culture. *Cellular and Molecular Life Sciences* 42 (2): 185-186
- Tian F, Nakahara T, Yoshida M, Honda N, Hirose H, Miyakoshi J. (2002).** Exposure to power frequency magnetic fields suppresses X-ray-induced apoptosis transiently in Ku80-deficient xrs5cells. *Biocemical and Biophysical Research Communications*

المصادر References

- 292,(2)361-355.
- Tolliver, D. and Robbins, L. (1991).** Techniques in karyology: the bone marrow extraction method. Association for Bio. *Lab Education*,12:69-73.
- Tumkaya L, Kalkan Y, Bas O & Yilmaz A 2013** Mobile phone radiation during pubertal development has no effect on testicular histology in rats. *Toxicol Ind Health*.
- Ulubay, M.; Yahyazadeh ,A.; Deniz, OG;; Kivrak, EG;; Altunkaynak, BZ;; Erdem, G, and et al. (2015).** Effects of prenatal 900 MHz electromagnetic field exposures on the histology of rat kidney. *Int J Radiat Biol*;91:35–41.
- UNSC Report of the Effect of Atomic Radiation General Assembly Document, 24th Session, (1969).** Annex C. Radiation induced chromosome aberrations in human cells. (13): 98–155 New York
- Valberg, PA,; van Deventer, TE,; Repacholi, M.H.(2007)** Workgroup report: basestations and wireless networks-radiofrequency (RF) exposures and healthconsequences. *Environ Health Perspect*;115: 416–24.
- Valko, M.; Leibritz, D. ; Moncol, J.; Cronin, M.; Mazur, M. and Telser, J. (2007).** Free radicals and anyloxidants in normal physiological functions and Human disease. *Int. J. Biochem. Cell Biol.* , 39(1):44-84
- Vangelova, C.;Deyanov, M. and Israel; (2006).**Cardiovascular Risk in Operators Under Radiofrequency Electromagnetic Radiation, *Int.J.Hyg.Environ.Health* 209 (2) .8-133.
- Verschaeve L:(2009)** Genetic damage in subjects exposed to radiofrequency radiation. *Mutat Res*, 681(2-3):259-270.
- Vijayalaxmi, B.Z.; Leal, M.; Szilagy, T.J.; Prihoda,; M.L. and Meltz,(2000).**Primary DNA damage in human blood lymphocytes exposed in vitro to 2450MHz radiofrequency radiation, *Radiat. Res.* 153 : 486-479.
- Volkow, N. D.; Tomasi, D.; Wang, G. J. ; Vaska, P. ; Fowler, J. S.; Telang, F.; Alexoff, D.; Logan, J.and Wong, C . (2011).** Effects of cell phone radiofrequency signal exposure on brain glucose metabolism. *J. Journal of the American Medical Association* 305: 808– 813.
- Wdowaik, A; Wdowaik, L. and Wiktor, H.; (2007).** Evaluation of the effect of using mobile phone on male fertility . *Ann Agric Environ Med* ; 14: 169-172.
- Weijl, N.; Elseendoorm, T. J.; Lentjes, E. G.; Hopman, C. D. and Osanto, S. (2004).** Supplementation with antioxidant micronutrients and chemotherapy- induced toxicity in cancer patients treated with Cisplatin-based chemotherapy: a randomised, double-blind, placebo-controlled study. *Eur J. Cancer.*,

المصادر References

- 40(11): 1713-1723.
- Winker, R.; Ivancsits, S.; Pilger, A.; Adlkofer, F.; and Rüdiger H.W (2005).** Chromosomal damage in human diploid fibroblasts by intermittent exposure to extremely low-frequency electromagnetic fields. *Mutat Res*; 585:43-49
- Wojcik, A.; Gregoire, E.; Hayata, I, Roy L, Sommer S, Stephane G, et al. (2004).** Cytogenetic damage in lymphocytes for the purpose of dose reconstruction: a review of three recent radiation accidents. *Cytogenet Genome Res*;104:200–05.
- Wolf FI; Torsello, A.; Tedesco, B.; Fasanella, S.; Boninsegna, A, D'Ascenzo, M.; Grassi, C.; Azzera, GB;; and Cittadini, A; (2005).** 50-Hz extremely low frequency electromagnetic fields enhance cell proliferation and DNA damage: Possible involvement of a redox mechanism *Biochim Biophys Acta*, 174: 120–129.
- World Health Organization (WHO). (2000).** Guidelines for Community Noise World Health Organization Geneva.
- Yakymenko, I.; Sidorik, E.; Kyrylenko, S.; and Chekhun, V;(2011).** Long term exposure to microwave radiation provokes cancer growth : Evidences from radars and mobile communication systems. *Exp Oncol*; 33:70-62:
- Yan ,JG; Agresti, M.; Bruce, T.; Yan, YH; Granlund, A; and Matloub, HS. (2007).** Effects of cellular phone emissions on sperm motility in rats. *Fertil Steril*; 88: 957-964
- Yang, Z.J., Ye, W. S. ; cui, G. H.; Guo, Y. And Xue, S. P. (2004)** Combined administration of low-dose gossypol acetic acid with desogestrel mini-dose ethinylestradiol *testosterone. J. Agree* ;36 :570-567.
- Yao, K.; Wu, W.; Yu, Y.; Zeng, Q.; He, J.; Lu, D.; and Wang, K; (2008).** Effect of superposed electromagnetic noise on DNA damage of lens epithelial cells induced by microwave radiation. *Invest Ophthalmol Vis Sci*, 49: 2009-2015.
- Yurekli, A.I.; Ozkan, M.; Kalkan, T.; Saybasili, H; Tuncel, H.; Atukeren, P.; Gümüstanas, E., Seker S. and (2006).** Electromagnetic Biology and Medicine.; 25: 177-188
- Zalata, A.; El-Samanoudy, AZ.; Shaalan, D.; El-Baiomy, Y; and Mostafa, T; (2015)** In vitro effect of cell 794 phone radiation on motility, DNA fragmentation and clusterin gene expression in human sperm. *Int J Fertil Steril* : 129-136.
- Zhao, TY.; Zou, SP.; Knapp, PE;: (2007).** Exposure to cell phone radiation up-regulates apoptosis genes in primary cultures of neurons and astrocytes. *Neurosci Lett*,

المصادر References

412(1) :34-38.

Zhou C, Li Z, Diao H, Yu Y, Zhu W, , Yang J,2006. DNA damage evaluated by gammaH2AX foci formation by a selective group of chemical/physical stressors. *Mutat Res.*604:8-18.

Zmyslony, J.; Palus, J. ;Jajte, E. ;Dziubaltowska, and E. Rajkowska.(2000). DNA damage in rat lymphocytes treated in vitro with iron cations and exposed to 7 mt magnetic fields (static or 50 Hz , *Mutat. Res* 453:96-89.

Abstract

The present study was conducted to investigate the effect of long exposure to mobile radiation on antioxidant the Level of DNA damage and rate chromosomal abberation rats.The present study was carried out in college of Karbala Labs in Faculty of pharmacy from November 2017 to April 2018.The study involved sixty healthy male white Albino rat, the average weight (190-240)g , and(10-12) week.The rats were random divided to the four groups , and contain for each the group on (15) rat. Three groups were exposed to mobile radiation for three perids (2-3-6) months .The first group (T1) was exposed to irradiation of the mobile phone with frequency (900) MH for two hours and for three periods (2-3-6), months the second group (T2) was exposed to mobile phone radiation for (4)hours and for three period (2-3-6) months. The third group (T3) was exposed to mobile phone radiation for eight hours and three periods of time (6-3-2) months and the four group was control group not exposed to mobile phone radiation for (2-3-6) month. Blood samples were collected from the four groups after the end of the trial period (2-3-6) months the physiological parametrs were studied : The measurement of the concentration of levels of mononaldehyde (MDA), the level of nitric oxide (NO) and the level of reduced Glotathione (GSH) and levels of Catalytic(CAT) and superoxide dismutase (SOD) in the serum. The genetic study the level of DNA decomposition and chromosomal deformation rate of bone marrow cells was measured. The results of the present study were as follows:

1-Significant increase($p\leq 0.05$)in the concentrations of MDA and NO and significant decrease ($P <0.05$) in the concentrations of GSH, CAT and SOD in the serum for groups exposed to mobile phone radiation and for

(2-3-6) months and a period of (8-4-2) hours respectively compared to the control group for each group.

2- DNA damage was measured by score comet assay DNA,% Tail, Tail length, and Tail Moment the results showed that the highest effect was for the last group T3 of the mentioned standards.

3-The mitotic index was estimated for three groups exposed to mobile radiation. The results showed no a significant increase($p \geq 0.05$) for the first group T1, while significant increase ($p \leq 0.05$)for the T3 and T2 groups compared with control group.The results of the study showed chromosomal abnormalities in the bone marrow cells, which resulted in the emergence of chromosomes of the ring and chromosomes deleted and broken and chromosomes of the center and decentralized of the masses exposed to the radiology of the phone showed a significant increase ($p \leq 0.05$) of the chromosomes mentioned above . The current study concludes that long exposure to mobile radiation causes physiological changes and cellular and molecular genetic changes in white rat males.

Republic of Iraq
Ministry of Higher Education and Scientific Research
University of Karbala
College of Education for Pure Sciences
Department of Biology



Study of effect of mobile phone exposure on some cytogenetic and physiological parameters in Albino rat

By
Wasan Takleaf Jassim
B. Sc. Biology / 2012

A Thesis submitted to the College of Education Pure
Science of Karbala University as a partial fulfillment of the
requirements for the degree of Master in Biology – Zoology

Supervised By
Assist Professor Dr
Yasmine khudair kalaf

1440

2019